

NOSITEL
VYZNAMENÁNÍ
ZA BRANNOU
VÝCHOVU
I. A II. STUPNĚ



ŘADA PRO KONSTRUKTÉRY

ČASOPIS PRO ELEKTRONIKU
A AMATÉRSKÉ VYSÍLÁNÍ
ROČNÍK XXXVIII/1989 • • ČÍSLO 4

V TOMTO SEŠITĚ

TESTING '89 121

ROZHLASOVÉ PŘIJÍMAČE DO AUTA

Definice měřených parametrů	122
Způsoby měření parametrů	125
Doporučené rozměry pro autopřijímače	130
Obvodové řešení autopřijímačů	131
Integrované obvody pro AM	133
Konstrukce přijímačů AM	
Přijímač pro DV, SV a KV	137
Přijímač pro SV a DV	140
Jakostní přijímač pro KV, SV a DV	142
Ladění a nastavování přijímačů	144
Přijímače signálů FM	147
Součástky pro přijímače KV	147
Mf zesilovače pro FM	148
Automatické výkločování poruch	149
Dekodér dopravního rozhlasu	151
Stereofonní dekodér	152
Přepínáče	153
Nf zesilovače	154
Ovládání přijímače	155
Automatické ladění	157
Nf předzesilovače	158
Napájení přijímačů	158
Odrošení automobilu	159
Inzerce	159

AMATÉRSKÉ RÁDIA ŘADA B

Vydává ÚV Svazarmu ve vydavatelství NAŠE VOJSKO, Vladislavova 26, 135 66 Praha 1, tel. 26 06 51-7. Séf-redaktor ing. Jan Klaba, Redakční radu řídí ing. J. T. Hyán. Redaktor L. Kalousek, OK1FAČ. Redakce Jungmannova 24, 113 66 Praha 1, tel. 26 06 51-7, šéfredaktor linka 354, redaktor linka 353, sekretářka linka 355. Ročně vydeje 6 čísel. Cena výtisku 5 Kčs, pololetní předplatné 15 Kčs. Rozšířuje PNS, v jednotkách ozbrojených sil vydavatelství NAŠE VOJSKO, administrace Vladislavova 26, Praha 1. Rozšířuje PNS. Informace o předplatném podá a objednávky přijímá každá administrace PNS, pošta, doručovatel a předplatitelská střediska. Objednávky do zahraničí vyřizuje PNS - ústřední expedice a dovoz tisku Praha 6, administrace vývozu tisku, Kovpáková 26, 160 00 Praha 6. Tiskárna NAŠE VOJSKO, n. p., závod 08, 160 05 Praha 6, Vlastina ulice č. 889/23.

Za původnost a správnost příspěvku odpovídají autor. Návštěvy v redakci a telefonické dotazy po 14. hodině. Číslo indexu 46 044.

Toto číslo má výjít podle plánu 3. 8. 1989.
Vydavatelství NAŠE VOJSKO.

TESTING '89

V posledních letech je stále obtížnější sledovat vývojové trendy jak v konstrukci přístrojů, tak v používání nových materiálů a technologií, ve způsobech výroby a v otázkách spolehlivosti atd. Díky celosvětovým úsporným opatřením není také tak snadné jako dříve sehnat potřebné katalogy výrobků, objednat si zahraniční časopisy atd. Proto mají u nás stále větší ohlas akce, pořádané předními zahraničními firmami, které prezentují své výrobky u příležitosti nejrůznějších akcí, mezi něž patří např. veletrhy, sympózia, výstavy apod.

K témuž akcím patří již několik let sympózium a výstava progresivních elektronických testovacích a měřicích systémů, které pod názvem TESTING pořádá každý rok na jaře (letos 17. dubna) rakouská obchodní společnost ELSINCO (Electronic Systems, Instruments, Computers Vertriebsgesellschaft mbH) z Vídne. Pro naši technickou veřejnost je zajímavá (a vždy byla) tím, že hlavním tématem sympózia je zvýšení produktivity a zlepšení kvality měření nasazením automatických měřicích systémů.

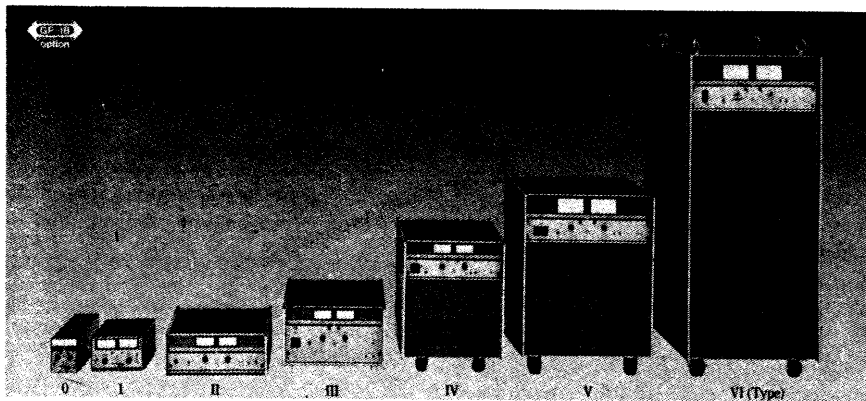
Elsinco zastupuje v Evropě několik zámořských firem – z Japonska především firmy Kikusui a Anritsu, z USA firmu Audio Precision. Letos byly na výstavce, která doprovázela sympózium, vystaveny mezi jinými výrobky, které jsou uvedeny na 3. straně obálky; ide o výrobky obou jmenovaných japonských firem – pro naše zákazníky jsou v současné době japonské výrobky zajímavé i z komerčního hlediska – jsou cenově výhodné vzhledem ke změně vzájemného kurzu US dolarů a japonských jenů. Přitom z hlediska jakosti jsou japonské výrobky srovnatelné s výrobky předních světových specializovaných výrobců – devízou firmy Elsinco pak je, jak řekl její ředitel, dodávat velmi jakostní výrobky za „ferové“ ceny. Navíc je stále zřetelnější snaha japonských firem uchytit se na evropském trhu (i v socialistických státech), čehož dokladem je, kromě jiného, např. to, že firma Kikusui otevřela 1. 3. 1989 v Amsterdamu marketingové středisko, jehož součástí je i sklad náhradních dílů a přístrojů, takže se podařilo podstatně zkrátit veškeré dodací lhůty.

Protože především firma Anritsu nebyla dosud u nás příliš známá, uvádíme několik základních údajů, které ji jednoznačně přirazuji k velkým světovým výrobcům v oboru elektroniky: datum založení – 17. 3. 1931, počet zaměstnanců – 2850, kapitál – 7,7 milionů jenů (asi kolem 50 milionů US dolarů), ředitelství firmy je v Tokiu, továrna v Atsugi (rozloha kolem 105 000 m²), firma dodává výrobky do 130 zemí světa, od roku 1983 se zvětšil její roční obrat z asi 60 bilionů

jenů téměř o třetinu (na 90 bilionů). Výrobní program je velmi obsáhlý, firma vyrábí telefonní automaty na mince, telefony na magnetické karty, miniaturní relé, hybridní integrované obvody, monitorovací systémy pro zásobníky plynu, přenosové systémy optodigitální, kontrolní systémy pro vodní zdroje a drenáže, informační systémy pro provoz na silnicích, zařízení pro přenos stojících obrazů, testovací systémy jakosti přenosových linek, pro námořní účely radar, lodní terminály, zařízení SSB a DSB, radiostanice VHF/UHF FM pro provoz na souši, radiostanice SSB, komunikační přijímače, monitorovací přijímače, přístroje pro komunikaci po optických kabelech, přístroje pro pulsně-kódovou komunikaci, osobní počítače, analyzátor, generátory signálů, kmitočtové syntezátory, čítače atd., periferie pro počítače, zařízení pro automatizaci průmyslové výroby (spektrometry, elektronické váhy, elektronické mikrometry, laserové měřítko, kontroléry, diagnostické měřítko pro stroje s rotujícími částmi, systémy k měření vnějších poloměrů atd.). Součástí výroby je i kalibrační laboratoř, dokonale vybavená měřicími standardy, která má současně za úkol kromě kontroly správnosti parametrů vyvijet nové a efektivní měřicí metody (popř. přístroje) a spolupracovat s národními vývojovými institucemi, s průmyslovými laboratořemi a institucemi Akademie při tvorbě standardů a měřicích metod co největší přesnosti.

Vraťme se však k sympósiu. Program přednášek byl velmi bohatý: Měření v široké oblasti kmitočtu, elektromagnetická slúčitelnost – spektrální analyzátor Anritsu, Dokonalá technologie měření přenosu na optických vláknach, Přesná měření v oblasti video – nový digitální generátor a analyzátor videosignálu Anritsu, Simulace umělých výpadků sítě a kolisání sítě pomocí střídavých zdrojů firmy Kikusui, Automatické měření s digitálními osciloskopy Kikusui. Přednášky byly rozděleny do tří dnů a celý cyklus byl „vyprodán“.

A konečně k přístrojům, jejichž fotografie jsou na třetí straně obálky. Přesto, že od listopadu 1987 platí pro vývoz japonských měřicích přístrojů a zařízení určitá omezení (především pokud jde o kmitočtový rozsah), byl pro vývoz uvolněn osciloskop COM7201E (200 MHz) a COM7101E (100 MHz), což je plně programovatelný (interface IMS-2/GPIB) digitální osciloskop, zahrnující integrovaný číslicový voltměr a čítač; přístroj je čtyřkanálový se šírkou pásm (real time, real time) 200 MHz u všech čtyř kanálů, vzorkování je 20 Ms/s. Osciloskop umožňuje digitalizování opakujících se signálů do 100 MHz. Díky interpolaci sinus/



Typy stejnosměrných napájecích zdrojů
Kikusui

impulzy mohou být zaznamenány i jednotlivé impulsy až do 8 MHz. Přístroj byl testován a schválen k použití v Elektrotechnickém zkušebním ústavu v Praze (EZÚ) a je na něj poskytována tříletá záruční doba. Digitální voltmeter osciloskopu měří stejnosměrná, střídavá a mezivrcholová napětí, čítací měří přesné měřené signály do 200 MHz. Vertikální citlivost dvou hlavních kanálů je 1 mV/dílek. Vstupní impedanci lze volit ovládacím prvkem na čelním panelu (1 MΩ nebo 50 ohmů). Osciloskop má paměť 1 K pro každý kanál plus čtyři paměti 1 K. Díky použitímu interface IMS-2/GPIB lze přístroj používat při automatizovaných měření ve spojení se zapisovači, signálními multiplexery apod., což umožňuje např. přímo připojit až 16 měřicích sond (tj. 16 měřicích míst) ke kanálům 1 a 2.

Digitální videogenerátor MG6301 umožňuje generovat až více než 100 signálů, digitální signálová data jsou oddělena na Y, C a SYNC, všechny signály lze volit na přední straně přístroje, lze jej používat pro

systémy NTSC a PAL, snadno lze přístroj včlenit do automatizovaného pracoviště, především při použití analyzátoru signálu MS6301, který samočinně identifikuje tvar signálu, měří až 40 různých parametrů včetně lineárního zkreslení, nelineárního zkreslení, poměru signál/šum, časových relaci apod. Přístroj umožňuje též samočinně porovnat měřené signály s nastavenými „standardy“ jak co do tvaru, tak co do velikosti, možnost zaznamenávat výsledky měření je dána použitím interface IMS-2/GPIB (24količkový konektor). Sestava generátor-analyzátor poskytuje vyčerpávající informace o stavu jakéhokoli videosystému, lze ji i monitorovat vysílané televizní signály. Stejně dobré poslouží při vývoji a konstrukci i při výrobě spotřebních videomagnetofonů.

Přes 50 % celkového obratu firmy Kikusui tvoří příjem za napájecí zdroje. Sortiment, který firma nabízí, obsahuje zdroje jak stejnosměrného, tak střídavého napětí (od kmitočtu 5 Hz do kmitočtu 500 Hz), klasické, spinané, pro proudy až do 500 A, které lze

k získání ještě většího výkonu řadit paralelně. Na obr. 1 je přehled typů stejnosměrných napájecích zdrojů.

Zajímavým přístrojem, velmi univerzálním a užitečným, je poslední z přístrojů na 3. straně obálky, měří výkonu Anritsu typu ML4803. Přístroj umožňuje měřit ve W/dBm, v dB a ČSV. Má samočinné nastavování nuly, samočinnou korekci citlivosti podle použitých senzorů, různé paměťové funkce, indikaci čtyřmístnou, rozsahy -20, -10, 0 +10 a +20 dBm (100 μW až 100 mV), popř. 1 nW až 10 μW, kalibrační oscilátor má kmitočet 50 MHz. K přístroji lze připojit až 17 různých senzorů, amorfních nebo diodových, jimiž lze dosáhnout měřicího rozsahu od 100 kHz do 140 GHz.

TESTING '89 skončil. Byl, stejně jako další akce, školou moderní techniky, bez níž se naše technické kádry obejdou jen stěží. Proto cím více takových akcí, tím lépe. Na závěr snad je jediné – díky za vzorné uspořádání patří agentuře Made in ... (Publicity).

ROZHLASOVÉ PŘIJÍMAČE DO AUTA

Ing. Jaroslav Vilhelm

Toto číslo AR řady B se zabývá autopřijímači z hlediska jakostních parametrů, normalizovaných rozměrů, měření parametrů, pasivní bezpečnosti, dále dopravním rozhlasem, způsoby odrušení a návrhem obvodů pro autopřijímače.

Jakostní parametry autopřijímačů

Autopřijímač je podle ČSN 36 7303 definován jako rozhlasový přijímač pro příjem dlouhých, středních, krátkých a velmi krátkých vln, určený k trvalému vestavění do motorového vozidla, který je napájen z autobaterie. Z hlediska jakostních parametrů a vybavení se autopřijímače rozdělují do tří jakostních skupin:

Skupina 1. Autopřijímače ve stereofonním provedení. Musí mít nejméně čtyři vlnové rozsahy včetně VKV, vypínatelné ADK, tláčkovanou předvolbu, tónový korektor, připojku pro magnetofon a reproduktoru soustavy. Mohou mít vestavěný stereofonní kazetový přehrávač a mohou být vybaveny i dalšími novinkami, které zlepšují a zjednoduší obsluhu.

Skupina 2. Autopřijímače s klasickým vybavením. Mají minimálně dva vlnové rozsahy. Pokud mají rozsah VKV, musí mít i ADK. Tónový korektor není podmínkou.

Skupina 3. Autopřijímače s podobnou konstrukcí jako ve skupině 2, mají však jen základní vybavení.

Jsou stanoveny závazné vlastnosti, které autopřijímač dané skupiny musí splňovat a doporučené další vlastnosti, určené dohodou mezi výrobcem a zákazníkem. Přehled závazných a doporučených vlastností je v tab. 1.

Kromě jakostních požadavků uvedených v tab. 1 musí autopřijímač splňovat řadu dalších požadavků, jako je např. klimatická a mechanická odolnost, bezpečnost, vyza-

rování, rozsah napájecích napětí, spolehlivost apod.

Klimatická odolnost. Autopřijímač musí odolávat klimatickým vlivům, které na něj působí při provozu, dopravě a skladování. Autopřijímač musí zabezpečit příjem v rozsahu teplot -5 až +50 °C při relativní vlhkosti vzduchu 85 % při 20 °C.

Mechanická odolnost. Autopřijímač musí vyhovovat mechanickým vlivům.

Otresy – Přijímače do hmotnosti 30 kg musí vydržet 50 pádů z výšky 5 cm na stůl z tvrdého dřeva.

Pády – Autopřijímače do hmotnosti 20 kg včetně obalu musí vydržet 6 pádů z výšky 40 cm na tvrdý podklad (beton) postupně na všechny stěny obalu bez toho, že by se uvolnila kterákoli součástka, poškodila skříňka a uvolnily elektrické nebo mechanické části, mající vliv na správnou činnost.

Správná činnost přijímače. Přijímač musí vyhovovat určenému použití bez rušivých jevů. Posuzuje se bezhlubný chod ovládacích prvků, drnčení, pavuzky reproduktoru a spolehlivost funkce. Při poslechu v jakékoli poloze regulačních prvků nesmí být slyšitelné mechanické kmitání součástek přijímače. Ladění musí mít lehký a plynulý chod bez zřetelného zadrhávání, pohyb ukazatele ladění musí být plynulý, nesmí zadrhávat a nesmí být u něho viditelné boční náklony.

Vyzařování. Autopřijímače musí vyhovovat ustanovením ČSN 33 4200 (Ochrana rádiového příjmu před rušením) a ČSN 33 4230 (Odrušení rádiiových přijímačů).
Spolehlivost a trvanlivost. Autopřijímače musí z hlediska spolehlivosti a trvanlivosti vyhovovat ČSN 36 7001, příloha 4. Ovládací prvky vystavené mechanickému opotřebení

při obsluze musí vyhovovat mechanickému namáhání, které odpovídá 10 000násobnému opakování pracovního pohybu.

Napájecí napětí. Autopřijímače musí spolehlivě pracovat při napájení z autobaterie v rozmezí -10 až +20 % jmenovitého napětí. Normalizované jmenovité napětí je 12 V a 6 V, provozní napětí je 14 V a 7 V.

Bezpečnost autopřijímačů. Po bezpečnostní straně z hlediska elektrické odolnosti a vybavení musí autopřijímače odpovídat požadavkům ČSN 36 7000. Z hlediska pasivní bezpečnosti motorových vozidel musí autopřijímače vyhovovat předpisu EHK č. 21 (jednotná ustanovení pro schvalování vozidel z hlediska jejich vnitřního vybavení), bodům 5.1.4 a 5.1.5. V bodě 5.1.4 je uvedeno, že knotísky, koncovky táhel apod., zhotovené z pevného materiálu, které přečinívají o 3,2 až 9,5 mm přístrojovou desku, musí mít příčný průřez nejméně 2 cm², měřeno ve vzdálenosti 2,5 mm od nejdále výčnijícího bodu a musí mít okraje zaoblené (poloměr minimálně 2,5 mm). V bodě 5.1.5 je uvedeno, že pokud tyto části výčinívají o více než 9,5 mm nad povrch přístrojové desky, musí být konstruována a vyrobená tak, aby se mohly buď zatlačit působením vodorovné podélné síly 378 N směřující zpředu do přístrojové desky a nemusí přitom výčinívat nad její povrch více než 9,5 mm a nebo se musí oddělit; v posledním případě zbyvající části nesmí mít po deformaci žádné nebezpečné výběžky; příčný průřez ve vzdálenosti minimálně 6,5 mm od nejvíce výčnijícího bodu musí mít minimální plochu 6,5 cm².

Definice měřených parametrů

Pro snazší pochopení termínů uvedených v předešloží statí si uvedeme jejich definice a v následující statí i způsoby měření těchto parametrů.

Jmenovitý parametr – je takový parametr, jehož velikost je nezbytnou podmínkou pro

Tab. 1a. Vlastnosti autopřijímačů – závazné jakostní požadavky

	Skupina			Poznámka
	1	2	3	
Část FM				
Kmitočtové rozsahy	4			
Stálost naladění kHz	30	50	–	s ADK bez ADK
	70	90	–	
Citlivost [μ V] ($s + \dot{s}$) $/\dot{s}$ = 20 dB, mono/stereo	1,5/8	3	–	$Z_{vst} = 75 \Omega$
Citlivost [μ V] pro nasycený stav	3	10	–	$Z_{vst} = 75 \Omega$
Selektivita S_{300} dB	50	34	–	
Interferenční poměr pro zrcadlový signál [dB]	66	50	–	
Interferenční poměr pro mezifrekvenční signál [dB]	70	50	–	
Amplitudová kmitočtová charakteristika přes celý přijímač Hz	40 až 14 000	63 až 12 500	–	
Nelineární % zkreslení	1/1,5	3	–	
	40/36,5 dB	30,5 dB	–	
	v pásmu 250 až 6300 Hz mono/stereo	3/5	5	
		30,5/26 dB	26 dB	
Přeslechový útlum signálu dB	1 kHz	30	–	
	v pásmu 250 až 6300 Hz	26	–	
Potlačení zbytků pilotního kmitočtu 19/38 kHz dB	40/50	–	–	
Potlačení AM na rozsazích FM dB	50	40	–	
Minimální výstupní výkon W	2×6	4	–	
Největší užitečný vstupní signál mV	250	150	–	
Užitečná citlivost [μ V], ($s + \dot{s}$) $/\dot{s}$ = 46 dB	10/70	25	–	$Z_{vst} = 75 \Omega$
Automatické doladění ADK kHz	±100	±100	–	
Část AM				
Stálost naladění DV, SV/KV dB	2/4	2/6	3/8	
Citlivost [μ V], ($s + \dot{s}$) $/\dot{s}$ = 20 dB	DV	50	80	160
	SV	20	50	100
	KV	20	50	100
Selektivita S_9 dB	DV	50	46	36
	SV	–	40	–
	KV	44	34	28
Interferenční poměr pro zrcadlový signál dB	DV 0,25 MHz	70	60	50
	SV 1 MHz	60	50	42
	KV 11,8 MHz	30	20	14
Interferenční poměr pro mezifrekvenční signál [dB]	DV 0,25 MHz	60	50	40
	SV 0,55 MHz	50	40	30
Amplitudová kmitočtová charakteristika přes celý přijímač Hz	50 až 4000	50 až 2500	100 až 2000	SV 1 MHz
Nelineární zkreslení v přenášeném pásmu %	2	3	4	$m = 80 \%$
	34 dB	30,5 dB	28 dB	
Největší užitečný vstupní signál mV	1000	500	500	SV 1 MHz
Automatické vyrovnání citlivosti dB	70	56	50	SV 1 MHz

Tab. 1b. Vlastnosti autopřijímačů – doporučené jakostní požadavky

	Skupina		
	1	2	3
Část FM			
Nastavování, souhlas se stupnicí [%]	±3,6	±4,6	±5,0
Potlačení postranních maxim na rozsahu VKV [dB], charakteristika ladění	6	4	-
Část AM			
DV	±2	-	-
Nastavování, souhlas se stupnicí [%]	SV	±2	±2,5
KV	±3,5	±3,5	-
Mrtvý chod [kHz]	SV 1 MHz	2	3
DV	200	500	1000
Užitečná citlivost [μ V], ($s + \dot{s}$) / s = 36 dB	SV	130	320
KV	130	320	650

měření jiných parametrů. Tak např. pro měření kmitočtové charakteristiky a nelineárního zkreslení je jmenovitým parametrem výstupní výkon.

Měření z hlediska elektrického napětí – měření, jehož výsledek je vyjádřen jako napětí nebo poměr napětí přiváděných na zátěž.

Měření přes celý přijímač – měření parametrů přijímače, při nichž se měřící signál přivádí na anténu nebo anténní konektor.

Citlivost přijímače – minimální napětí nebo intenzita pole vstupního signálu, která zajišťuje při daných podmínkách požadovaný výstupní výkon.

Reálná citlivost – citlivost, při níž je zajištěn příjem vysílačů se zadánou minimální úrovni šumu.

Maximální citlivost – citlivost, při níž je zabezpečen příjem vysílačů majících úroveň šumu srovnatelnou s úrovni užitečného signálu.

Citlivost pro nasycený stav – citlivost při příjemu FM, představovaná úrovni vstupního signálu při standardní modulaci, při níž se zmenší úroveň výstupního signálu o 3 dB, když se plynule zmenšuje úroveň vstupního signálu.

Základní citlivost – citlivost omezená šumem jako minimální úroveň vstupního signálu při standardní modulaci, dávající jmenovitý výkon při poměru signál + šum k šumu ($s + \dot{s}$) rovném 26 dB při FM a 20 dB při AM.

Užitečná citlivost – citlivost pro poměr $s + \dot{s}$ = 40 dB pro FM a 36 dB pro AM.

Standardní modulace – je modulace nosného kmitočtu kmitočtem 1 kHz s hloubkou modulace 30 % při AM. Při FM je při mono zdvih 15 kHz (OIIR), popř. 22,5 kHz (CCIR), při stereo je zdvih 40 kHz.

Selektivita – parametr charakterizující schopnost přijímače oslabovat vliv rušivých signálů na různých přijímaných kanálech.

Parazitní přijímací kanál – signál (o kmitočtu, který je odlišný od naladěného kmitočtu), jehož vstupní napětí způsobuje zkreslení přijímaného signálu nebo změnu výstupního napětí při nepřítomnosti užitečného signálu nebo nemodulovaného užitečného signálu.

Sousední kanál – parazitní přijímový kanál, který má nejmenší možné odladění poměrně k užitečnému signálu při daném systému rozhlasového vysílání.

Doplňkové přijímací kanály – parazitní přijímací kanály, na kterých může vstupní napětí

se základním signálem nebo s harmonickými místního oscilátoru vytvářet ve směšovací přijímače mezifrekvenční napětí.

Zrcadlový kanál – doplnkový přijímací kanál, lišící se od naladěného kmitočtu přijímacího o dvojnásobek mezifrekvenčního kmitočtu.

Křížové zkreslení – zkreslení vlivem rušícího signálu, kdy užitečný signál je modulován složkami modulace rušícího signálu.

Pásmo působení křížového rušení – kmitočtové pásmo, v němž se v maximální míře uplatní vliv křížového zkreslení.

Boční naladění – kmitočty vyšší a nižší než je kmitočet přesného naladění, při nichž vzhledem k detekci na boku S-křivky výstupní napěti dosahne maxima.

Přeslech mezi stereofonními kanály – parametr určující míru pronikání signálu z jednoho stereofonního kanálu do druhého.

Interferenční poměr – udává poměr mezi žádaným a nežádoucím signálem.

Automatické dodávání kmitočtu – systém, zabezpečující s určitou přesností uchování naladěného kmitočtu přijímače při vlivu činitelů, schopných změnit kmitočet místního oscilátoru.

Pásmo zachytávání automatického dodávání – kmitočtové pásmo, pro které platí, že vstupní napětí na kterémkoli kmitočtu tohoto pásmazpůsobuje vlivem činnosti dodávání kmitočtu přeladění kmitočtu místního oscilátoru přijímače.

Pásmo udržení automatického dodávání – kmitočtové pásmo, uvnitř kterého změna kmitočtu vstupního signálu způsobuje v důsledku činnosti automatického dodávání kmitočtu potřebnou změnu kmitočtu místního oscilátoru.

Automatické vyrovnání citlivosti – systém, který zabezpečuje při velkých změnách úrovni vstupního signálu malou změnu vý-

stupního napětí přijímače při zachování tvaru obálky napětí přiváděného na detektor.

Souhlas se stupnicí – rozdíl mezi kmitočtem přijímaného signálu a kmitočtem, určeným podle stupnice přijímače.

Pohodlnost ladění – poměr délky posuvu bodu na ladicím knoflíku přijímače ke změně laděného kmitočtu, která při tom nastane.

Výle ladicího mechanismu – maximální posuv bodu na ladicím knoflíku přijímače, při němž se nezmění naladěný kmitočet přijímače. Někde je tento parametr uváděn jako mrtvý chod.

Činitel zaclonění – charakterizuje schopnost přijímače FM přijímat silný signál při slabším rušícím signálu, který má stejný nosný kmitočet. Činitel zaclonění je definován jako polovina poměru v dB a udává, kolikrát se musí zvětšit užitečný signál na výstupu přijímače, aby se odstup signálu od rušení na výstupu zvětšil z 1 na 30 dB.

Stabilita naladění – ukazuje, o kolik se změní naladěný kmitočet přijímače v důsledku vlivu některého destabilizačního činitelů.

Nízkofrekvenční signál – signál s kmitočty od 0 do 100 kHz.

Signál podzvukových kmitočtů – nf signál v rozsahu od 0 do 20 Hz.

Signál zvukových kmitočtů – nf signál v kmitočtovém rozsahu od 20 Hz do 20 kHz.

Vysokofrekvenční signál – signál s nosnými kmitočty od 100 kHz do 30 MHz.

Signál VKV – signál s kmitočty od 30 MHz do 300 MHz.

Rozsah přenášených kmitočtů – kmitočtový rozsah signálu na výstupu přístroje od nejnižšího do nejvyššího nf kmitočtu, v němž je zaručena určená odchylka kmitočtové charakteristiky.

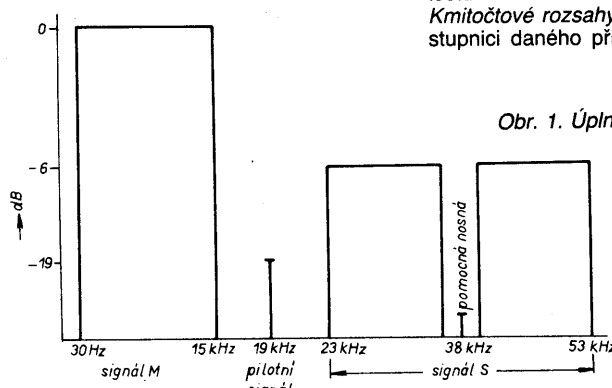
Komplexní stereofonní signál s pilotním signálem – celkový signál, kterým je kmitočtově modulován vysílač při stereofonním přenosu. Je tvoren:

- a) signálem M rovným polovině součtu signálu pravého a levého kanálu,
- b) signálem pilotního kmitočtu 19 kHz (\pm Hz), který činí 8 až 10 % špičkového zdvihu vysílače a který v přijímači slouží k obnovení pomocného signálu s fází odpovídající fází pomocné nosné na straně vysílače,
- c) signálem rovným polovině rozdílu signálu levého a pravého kanálu, amplitudově na-modulovaném na pomocné nosné s kmitočtem 38 kHz (\pm 4 Hz), který je potlačen tak, aby zbytek pomocné nosné nevyvolával větší zdvih než 1 % špičkového zdvihu vysílače, přičemž vyšší harmonické kmitočty pomocné nosné a jejich postranních pásem nesmí celkově vyvolat větší kmitočtový zdvih než 0,2 % špičkového zdvihu vysílače.

Na obr. 1 je maximální podíl jednotlivých spektrálních složek na špičkovém zdvihu vysílače.

Uplný stereofonní signál s pilotním signálem – měřicí signál VKV kmitočtově modulovaný komplexním stereofonním signálem při 100% soufázové modulaci v levém a pravém stereofonním kanále kmitočtem, který tvoří 10 % z celkového zdvihu nosného kmitočtu.

Kmitočtové rozsahy – rozsahy uvedené na stupnici daného přijímače. Pro rozhlasové



Obr. 1. Úplný stereofonní signál

přijímače jsou určeny následující kmitočtové rozsahy:
dlouhé vlny – 150 až 285 kHz, tj. 2000 až 1050 m,
střední vlny – 525 až 1605 kHz, tj. 572 až 185 m,
krátké vlny – 5,95 až 26,1 MHz, tj. 49 až 11 m,
VKV I – 66 až 73 MHz,
VKV II – 87,5 až 108 MHz.

Amplitudová kmitočtová charakteristika – kmitočtová charakteristika snímaná na výstupu zařízení, která je omezena kmitočty, na nichž se zmenší výstupní napětí o 3 dB oproti referenčnímu kmitočtu 1 kHz. Kmitočtová charakteristika při FM je uvažována bez kompenzace výšek zdůrazněných vysílačem. Deemfáze v přijímačích způsobuje na vyšších kmitočtech pokles o 6 dB na oktavu.

Nelineární zkreslení – zkreslení, které vzniká v nelineární soustavě, nejzávažnější jsou zkreslení harmonické, intermodulační a zkreslení křížovou modulací. Harmonické zkreslení je způsobeno vyššími harmonickými základním kmitočtem. Intermodulační zkreslení je zkreslení výstupního signálu způsobeného vznikem kombinačních složek na výstupu zařízení, když na jeho vstupu působí dva nebo několik signálů s určitými amplitudami a kmitočty. Křížová modulace je nežádoucí transformace modulace rušivého signálu na nosný kmitočet užitečného signálu.

Potlačení zbytků pilotního signálu – poměr užitečného signálu k signálu 19 kHz a 38 kHz.

Potlačení AM na rozsazích FM – schopnost přijímače potlačit signál AM a intermodulační složky, pokud se na vstup přijímače přivede současně amplitudově i kmitočtově modulovaný signál.

Relativní úroveň signálu – poměr výkonu v pikowattech, napětí v mikrovolttech, intenzity pole v mikrovolttech na metr nebo zvukového tlaku v pascalech k výchozí (nulové) úrovni, která je rovna 1 pW, 1 µV, 1 µV/m a $2,03 \cdot 10^{-5}$ Pa a je vyjádřena v decibelech. **Intenzita pole vstupního signálu** – intenzita homogenního pole v prostoru, v němž je zkoušený přijímač.

Meze změny úrovně vstupního signálu – rozsah změn úrovně vstupního signálu s hloubkou modulace minimálně 0,8 při amplitudové modulaci a minimálně 1,0 při kmitočtově modulovaném signálu, při němž činitel nelineárního zkreslení výstupního signálu je maximálně 10 %.

Maximální (minimální) úroveň vstupního signálu – horní (dolní) mez změny úrovně vstupního signálu, přiváděného na přijímač. **Hloubka modulace kmitočtově modulovaného signálu** – poměr kmitočtového zdvihu k maximálnímu kmitočtovému zdvihu, použitý pro daný systém rozhlasového vysílání. Maximální hloubka modulace = 1 odpovídá ± 50 kHz pro nosné kmitočty v rozsahu 65,8 až 73 MHz a ± 75 kHz v rozsahu 87,5 až 108 MHz.

Kmitočtový zdvih – změna kmitočtu při kmitočtové modulaci. Maximální kmitočtový zdvih je změna kmitočtu odpovídající nejvyšší úrovni modulující veličiny vůči kmitočtu nosnému signálu bez modulace.

Odstup signálu od šumu – poměr efektivní hodnoty výstupního napětí přijímače obsahujícího jen nf složky odpovídající kmitočtům modulačního napětí k efektivní hodnotě výstupního napětí při nemodulovaném vstupním signálu (mimo složku brumu, ultrazvukových kmitočtů a zbytků pilotních signálů při měření multiplexními signály).

Standardní (měřicí) výstupní výkon – výkon doporučený při měření rady parametrů; je 50 mW pro přijímače s jmenovitým výkonem nad 150 mW a 5 mW pro přijímače s výstupním výkonem menším než 150 mW. Při elek-

troakustických měřeních je standardní výstupní výkon 100 mW.

Jmenovitý výstupní výkon – výkon nastavovaný při měření činitele nelineárního zkreslení a řadě jiných parametrů, zajišťujících současnou činnost všech kanálů po dobu 10 minut při teplotě okolo 15 až 35 °C. Kvalita reprodukce se určuje při jmenovitém nf signálu nebo při 100% modulaci.

Maximální užitečný výstupní výkon – výkon, při němž se zvětšuje činitel nelineárního zkreslení na zadanou velikost (1,5 nebo 10 %).

Normální (etalonový) výstupní výkon – výkon při hloubce modulace 0,3, rovnající se 0,1 jmenovitého výkonu nebo 0,1 přípustné minimální velikosti maximálního výkonu.

Úroveň vzniku omezení – úroveň vstupního signálu, při němž se zmenší výstupní napětí o 3 dB při jmenovitém vstupním napětí.

Náhradní anténa – obvod, který umožňuje získat požadované napětí a proud při přivádění napětí, které je součinem intenzity pole a výšky reálné antény.

Automobilový anténní systém – je zařízení určené k přenosu přijímaného signálu na vstup autopřijímače. Je tvořeno přijímací anténou, držáky antény, propojovacím kabelem a konektory.

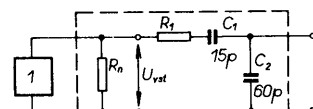
Způsoby měření parametrů přijímače

Při měření jednotlivých parametrů se vychází ze všeobecných podmínek měření: měří se při teplotě okolního vzduchu 20 ± 5 °C, při relativní vlhkosti vzduchu 60 ± 15 % a při atmosférickém tlaku 86 až 106 kPa. Pokud se v místě měření vyskytuje rušivý signál, je nutné při měření malých vstupních napětí měřit ve stíněné místnosti, která zmenší úroveň rušivého signálu o 20 dB pod úroveň nejmenšího měřicího signálu na vstupu přijímače, nebo o 10 dB vzhledem k měřené úrovni signálu nebo šumu na výstupu přijímače. Měřit se musí při jmenovitém napětí zdroje s maximální odchytkou ± 2 %. Při měření parametrů autopřijímače je třeba používat autobaterii nebo stabilizovaný zdroj s vnitřním odporem rovným vnitřnímu odporu autobaterie. Pokud tomu tak není, je nutné do série se zdrojem zapojit rezistor, jehož odpor bývá pro daný přijímač uveden v technických podmínkách nebo se volí pro hloubku modulace vstupního signálu 30 % a pro výstupní výkon rovný 0,3 výkonu jmenovitého.

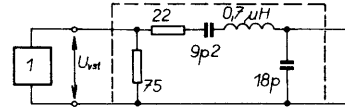
Při měření autopřijímačů napájených z olověných akumulátorů se uvažuje jmenovité napětí 2,4 V na článek. Snížené napětí je 1,8 V na článek a zvýšené je 2,6 V na článek. Pro měření, pokud není uvedeno v TP jinak, se používají předešlými kmitočty: 16, 31, 51, 63, 125, 250, 500, 1000, 2000, 4000, 8000 a 16 000 Hz/kHz/MHz.

V rozsahu krátkých vln se připojuje volit kmitočty 6,1, 7,2, 9,6, 11,8, 13,7, 15,3, 17,8, 21,6, 25,8 MHz, v rozsazích VKV jsou to kmitočty: 66, 69, 73, 88, 94, 98, 100, 108 MHz. Základní měřicí kmitočty jsou 69 a 98 MHz.

Na obr. 2 je zapojení náhradní antény pro



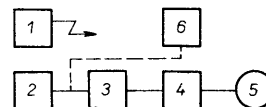
Obr. 2. Náhradní anténa autopřijímačů pro DV, SV a KV; 1 – vf signál generátor, R_n – rezistor, jehož odpor je roven odporu přizpůsobené zátěže generátoru, R_1 – rezistor, jehož odpor se určí z podmíny $R_1 + 0,5R_n = 80 \Omega$



Obr. 3. Náhradní anténa autopřijímače pro VKV; 1 – vf signální generátor

měření parametrů autopřijímačů v rozsahu DV, SV a KV, na obr. 3 je náhradní anténa pro měření autopřijímačů v rozsahu VKV.

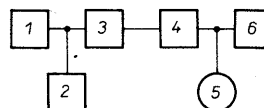
Měření rozsahu přijímaných kmitočtů – použijeme zapojení podle obr. 4. Indikátor nala-



Obr. 4. Měření rozsahu přijímaných kmitočtů; 1 – generátor pole, 2 – vf signální generátor, 3 – náhradní anténa, 4 – přijímač, 5 – elektronický voltmetr, 6 – čítač kmitočtu

dění přijímače postupně nastavíme do krajních poloh stupnice každého kmitočtového rozsahu. Čítacem kmitočtu se určí kmitočet generátoru odpovídající přesnému měření. Pokud je v přijímači digitální stupnice, určíme rozsah přijímaných kmitočtů podle digitální stupnice.

Měření souhlasu se stupnicí – zapojení pro měření je na obr. 4. Měřicí kmitočty se volí tak, aby poloha indikátoru na zadání přijímače odpovídala značce na stupnici nebo údaji digitální stupnice. Čítacem kmitočtu se měří přesný kmitočet generátoru, který odpovídá kmitočtu na zadání přijímače. Výsledkem měření je rozdíl mezi kmitočty generátoru a kmitočty na stupnici.



Obr. 5. Kontrola činnosti ADK; 1 – vf signální generátor, 2 – čítač kmitočtu, 3 – náhradní anténa, 4 – přijímač, 5 – elektronický voltmetr, 6 – měřicí nelineárního zkreslení

Kontrola činnosti automatického dodávání kmitočtu – měří se v zapojení podle obr. 5. Na kmitočtu přesného na zadání přijímače se změří činitel nelineárního zkreslení. Zapneme automatické dodávání kmitočtu a rozladíme generátor pod a nad kmitočet přesného na zadání, určíme mezní kmitočty pásma udržení f_z a f'_z , na nichž je činitel nelineárního zkreslení K_g 2 až 3x větší než při přesném na zadání (maximálně však 10 %), nebo se pozoruje skokovitá změna výstupního napětí. Pro určení mezních kmitočtů pásma zachycení ADK je třeba změnit kmitočet generátoru z kmitočtu přesného na zadání přijímače na kmitočet, který je zjevně mimo pásmo udržení systému ADK, přiblížujeme se ke kmitočtu přesného na zadání ze strany nižších a vysších kmitočtů a určujeme mezní kmitočty f_z a f'_z pásmu udržení systému ADK, při nichž je činitel nelineárního zkreslení K_g větší nebo se pozoruje skokovitá změna výstupního napětí.

Je možné použít i metodu, při níž při rozladění od přesného kmitočtu vyladění na obě dvě strany o daný kmitočet (viz tab. 1) musí po zapnutí ADK přijímač „stanici“ dodlatit a výstupní výkon musí být 0,8 výstupního výkonu při přesném na zadání.

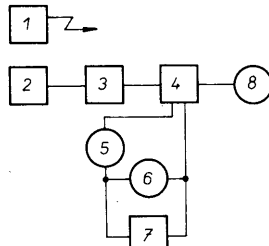
Měření stability naladění – pro měření se použije zapojení podle obr. 4. Stabilita naladění se kontroluje při vlivu těchto destabilizačních činitelů:

- a) vlastní ohřev (před měřením musí být přijímač 4 hodiny ve vypnutém stavu). Po prvé se měří po 2 minutách a poté po 5 minutách po zapnutí po dobu do 60 min;
- b) změny úrovně vstupního signálu – měří se po ohřevu přijímače po dobu 1 hodiny. Signál se zvětší z úrovně reálné citlivosti nad úroveň 100 dB (μ V) a nebo 120 dB (μ V) v rozsahu KV a 100 dB (pW) v rozsahu VKV;
- c) změny napětí zdroje proudu – první měření je při jmenovitém napětí zdroje proudu během ohřevu v trvání jedné hodiny na zadanou teplotu,
- d) změna teploty okolí – přijímač umístíme do teplotní komory nebo termostatu. Prvně se měří při běžné teplotě po vlastním ohřevu přijímače během jedné hodiny. Potom měříme teplotu podle zadání. Čítačem kmitočtu se zjistí kmitočet generátoru. Potom se přijímač podrobí vlivu jednoho z uvedených destabilizačních činitelů. Kmitočet generátoru měníme tak, aby se dosáhlo přesného naladění a zaznamená se nový kmitočet generátoru. Výsledek měření je rozdíl kmitočtu generátoru při prvním a dalších měřeních.

Měření pohodlnosti ladění – zapojení pro měření je na obr. 4. Označí se určitý bod na ladícím knoflíku přijímače. Potom se otáčí knoflíkem tak, aby se daný bod posunul o 10 mm po kružnici a generátor se naladil na nový kmitočet, který si zapíšeme. Totéž se udělá i na druhou stranu. Při měření musíme vyloučit vliv mrtvého chodu. Výsledkem měření je poměr 20 mm k rozdílu kmitočtů dvou naladění v mm/kHz.

Měření vůle ladícího mechanismu, mrtvého chodu – zapojení podle obr. 5. Přijímač se přesně naladí, změří se kmitočet vstupního signálu (přednostně na SV), knoflíkem ladění otočíme o jednu otáčku na jednu stranu a zpět do výchozí polohy a změříme první rozdíl kmitočtu naladění; potom otočíme knoflíkem na druhou stranu a zpět a změříme rozdíl kmitočtu naladění. Mrtvý chod je geometrický průměr hodnot rozdílu kmitočtů naladění v kHz.

Měření elektrického příkonu – zapojení podle obr. 6. Měří se při vstupním napětí 2 V;



Obr. 6. Měření elektrického příkonu; 1 – generátor pole, 2 – vf signální generátor, 3 – náhradní anténa, 4 – přijímač, 5 – ampérmetr, 6 – ss voltmetr, 7 – zdroj proudu, 8 – elektronický voltmetr

regulátor hlasitosti se postupně nastavuje do poloh odpovídajících minimálnímu vstupnímu výkonu (klidový proud), 0,4 jmenovitému vstupnímu výkonu a jmenovitému vstupnímu výkonu. Měří se v rozsahu VKV nebo SV. Měří se napětí a proud nebo výkon wattmetrem v napájecím obvodu přijímače. Výsledkem je změřený výkon a proud.

Měření reálné citlivosti přes vstup pro vnější anténu – měří se jak na rozsazích DV, SV a KV, tak i na VKV podle zapojení na obr. 7. Nejprve přepneme přepínač S do polohy a,

přijímač naladíme na měřicí kmitočet. Utlum děliče bude nulový. Vypneme modulaci, přepínač S přepneme do polohy b a voltmetriem změříme šumové napětí. Přepínač vrátíme do polohy a, zapneme modulaci a děličem ji nastavíme podle voltmetu tak, aby odpovídala šumovému napětí. Odstup signálu od šumu je v tomto případě roven útlumu děliče. Potřebný odstup signálu od šumu se získá příslušnou změnou vstupní úrovni signálu a polohy regulátoru hlasitosti pro zachování výstupního napětí odpovídajícího požadovaným podmínkám měření. Výsledkem měření na VKV je výkon generátoru na přizpůsobené zátěži v dB nad 1 pW nebo 1 fW nebo napětí na vstupu při výstupním napětí odpovídající normálním podmínkám pro normovaný odstup signálu od šumu.

Na rozsazích DV, SV a KV je výsledkem měření výstupní napětí generátoru v μ V nebo dB nad 1 μ V při standardním výkonu a zadaném poměru signál/šum.

Metoda měření maximální citlivosti – měří se při standardním výstupním výkonu. Regulátor hlasitosti se nastaví na maximum. Na VKV se měří v zapojení podle obr. 7 a na ostatních vlnových rozsazích podle obr. 7 a 8. Určíme minimální vstupní napětí anebo minimální intenzitu pole, která zajišťuje standardní výkon. Přitom zaznamenáme odstup signálu od šumu na výstupu přijímače. Pokud je odstup signálu od šumu menší než 3 dB, pak se maximální citlivost určí při takové poloze regulátoru hlasitosti, kdy odstup signál/šum je roven 3 dB. Výsledkem měření je minimální vstupní napětí nebo intenzita pole, která zaručuje normální výstupní výkon, vyjádřené v μ V nebo dB nad 1 pW (fW) nebo 1 μ V nebo dB nad 1 μ V/m.

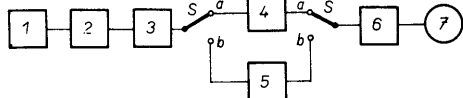
Metoda měření odstupu signálu od šumu – podmínky měření dány TP pro daný výrobek. Měří se v zapojení podle obr. 9. Při měření stereofonních přijímačů se na vstup přivádí úplný stereofonní signál. Při vypnutí modulace zůstává modulace pomocnou nosnou nebo pilotním kmitočtem. Výsledkem měření je údaj děliče.

Měření selektivity pro sousední kanál – při měření na VKV lze měřit jak v monofonním, tak i stereofonním provozu při normované hloubce modulace (mono VKV I zdvih 15 kHz, VKV II zdvih 22,5 kHz, při stereo 40 kHz). Měření se doporučuje opakovat při vstupním signálu 40 dB (pW) při vypnutém a zapnutém ADK. Měří se v zapojení podle obr. 10. Měří se tak, že se nastaví při vypnutém rušícím signálu normální výstupní výkon. Potom se vypne modulace užitečného signálu a zapne rušící signál s hloubkou modulace $m = 0,3$ a modulačním kmitočtem 1 kHz a změří se jeho úroveň pro výstupní výkon menší o 30 dB, než je výkon normální. Měří se při jednom nebo několika odladěních rušivého signálu. Výsledkem měření je poměr rušícího napětí k napětí užitečného signálu v dB.

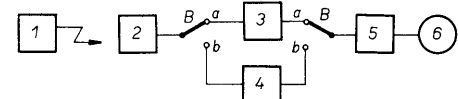
Měření selektivity sousedních kanálů při rozladění ± 5 ; ± 9 a ± 18 kHz – měří se v jednom bodě každého rozsahu na kmitočtu uvedeném v TP výrobku v zapojení podle obr. 11. Rozdíl kmitočtů užitečného a rušícího signálu musí odpovídat měřeným kanálům.

Nejprve se vypne modulace generátoru 2, zapne generátor 3, který je amplitudově modulován kmitočtem 1 kHz, s hloubkou modulace $m = 0,3$ a měří se jeho výstupní napětí před dosažením výkonu, který je o 20 dB (30 dB) menší než je standardní výkon. Přitom je nutné kontrolovat vliv rušícího signálu na výstupní výkon užitečného signálu: „stáhneme“ modulaci rušivého signálu a modulujeme užitečný signál. Pokud rušivý signál ovlivňuje výstupní výkon užitečného signálu, výstupní výkon nastavíme regulátorem hlasitosti na normální výstupní výkon. Výsledkem měření je poměr rušícího a užitečného signálu vyjádřený v dB.

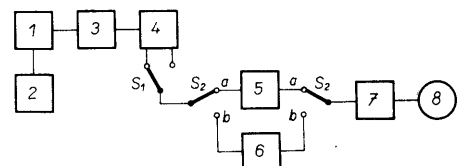
Měření selektivity pro mezfrekvenci, zrcadlový a další doplňkové kanály při VKV – vztahový signál je rovný reálné citlivosti a zvětšuje se až do úrovně 1 V nebo do maximálního vstupního napětí daného výrobku. Měří se v zapojení podle obr. 12. Při tomto měření se nastaví potřebné vstupní napětí signálu, maximálně však 1 V, při pře-



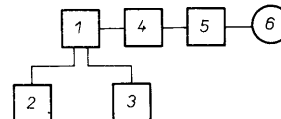
Obr. 7. Měření reálné citlivosti; 1 – signální generátor, 2 – náhradní anténa, 3 – přijímač, 4 – třetinooktaový filtr pro kmitočet 1 kHz, 5 – filtr se šírkou pásmá 300 Hz až 15 kHz, 6 – dělič, 7 – elektronický voltmetr, S – přepínač



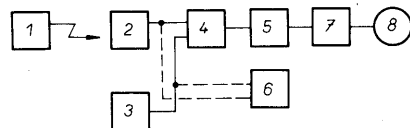
Obr. 8. Měření reálné citlivosti generátorem pole; 1 – generátor pole, 2 – přijímač, 3 – úzkopásmová propust pro referenční signál, 4 – pásmová propust pro 300 Hz až 15 kHz, 5 – dělič, 6 – elektronický voltmetr



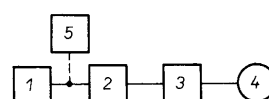
Obr. 9. Měření odstupu signálu od šumu; 1 – signální generátor, 2 – stereofonní modulátor, 3 – náhrada antény, 4 – přijímač, 5 – třetinooktaový filtr pro 1000 Hz, 6 – pásmová propust 200 Hz až 15 kHz, 7 – dělič, 8 – elektronický voltmetr



Obr. 10. Měření selektivity pro sousední kanál; 1 – náhrada antény přizpůsobovacími rezistory, 2, 3 – vf signální generátory, 4 – přijímač, 5 – třetinooktaový filtr pro 1 kHz, 6 – elektronický voltmetr



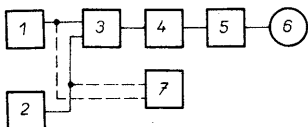
Obr. 11. Měření selektivity sousedních kanálů při rozladění ± 5 , ± 9 a ± 18 kHz; 1 – generátor pole, 2 – vf signální generátor užitečného signálu, 3 – vf generátor rušícího signálu, 4 – náhradní anténa, 5 – přijímač, 6 – čítač kmitočtu, 7 – pásmový propust pro kmitočty 900 až 1100 Hz, 8 – elektronický voltmetr



Obr. 12. Měření selektivity pro mf, „zrcadlový a doplňkové kanály na VKV; 1 – signální generátor, 2 – náhradní anténa, 3 – přijímač, 4 – elektronický voltmetr, 5 – čítač kmitočtu (jednosignálová metoda)

laďování generátoru v pásmu 41,5 až 250 MHz si zapisujeme přijímané kanály odpovídající mezinovým, zrcadlovým kmitočtům a kmitočtům doplňkových přijímacích kanálů. Povinně se měří kanály s kmitočty $f_s + 1,5f_{mt}$, $f_s + 0,5f_{mt}$, $1,5f_s$ a f_{mt} , kde f_s je kmitočet signálu a f_{mt} je mezinový kmitočet. Po naladění na každý přijímací kanál se změní úroveň vstupního signálu tak, aby na výstupu přijímače byl jmenovitý výkon, přičemž si vždy poznamenáme kmitočet a úroveň vstupního signálu daného kanálu. Výsledkem měření je poměr napětí rušicího a užitečného signálu vyjádřený v dB.

Pro měření je možné použít i tzv. dvousignálovou metodu podle obr. 13, při níž se nejdříve vypne modulace generátora užitečného signálu, zapne generátor rušicího signálu a jeho nemodulované vstupní napětí se nastaví tak, aby bylo větší než je předepsané napětí. Generátor se postupně nastavuje na mf, zrcadlové a druhé doplňkové přijímací kanály. Při rozladění o ± 2 kHz poměrně ke kmitočtu měřeného kanálu se na výstupu filtru nastaví maximální napětí, které vzniká v důsledku rázů. Napětí rušicího signálu se nastaví tak, aby výstupní výkon při jeho vlivu byl o 30 dB menší než je při přivedení modulovaného užitečného signálu. Stejně jako v předchozím měření je nutné kontrolovat vliv rušivého signálu na užitečný signál. Výsledkem měření je poměr napětí rušicího a užitečného signálu v dB na daném přijímacím kanálu.



Obr. 13. Měření selektivity pro mf, „zrcadla“ a doplňkové kanály na VKV dvousignálovou metodou; 1, 2 – signální generátory, 3 – náhrada antény, 4 – přijímač, 5 – třetinooktaový filtr pro 1 kHz, 6 – elektronický voltmetr, 7 – čítač kmitočtu

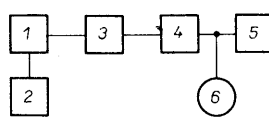
Měření selektivity pro mf, zrcadlový a jiné doplňkové přijímací kanály na DV, SV a KV – měří se v zapojení podle obr. 11. Vypneme modulaci generátoru 2, zapneme generátor 3 a úroveň modulovaného rušicího napětí nastavíme větší než je určena mez. Generátor 3 nastavujeme postupně na mf, zrcadlový a jiné doplňkové přijímací kanály. Největší pozornost věnujeme přijímacím kanálům s kmitočty $2f_s + 3f_{mt}$; $2f_s + f_{mt}$; $3f_s + 4f_{mt}$; $3f_s + 2f_{mt}$; $4f_s + 5f_{mt}$; $4f_s + 3f_{mt}$; $5f_s + 6f_{mt}$; $n5f_s + 4f_{mt}$, kde f_s je kmitočet signálu, f_{mt} je mezinový kmitočet. Při rozladění o ± 2 kHz od kmitočtu měřeného kanálu nastavíme maximální napětí na výstupu filtru, vznikající v důsledku rázů. Úroveň rušicího signálu nastavíme tak, aby výstupní výkon způsobený rušením byl stejný jako při modulovaném užitečném signálu. Při měření je nutné kontrolovat vliv rušivého signálu na výstupní výkon užitečného signálu. Pro tento účel kmitočet rušicího signálu změníme o 3 až 4 kHz, dokud nezmizí rázy a zapneme modulaci užitečného signálu. Pokud rušivý signál ovlivňuje výstupní výkon užitečného signálu, výstupní výkon nastavíme regulátorem hlasitosti na úroveň normálního výstupního výkonu. Výsledkem měření je poměr napětí rušicího a užitečného signálu vyjádřený v dB.

Měření křížové modulace – měří se v zapojení podle obr. 11. Zapojíme generátor 3, který je amplitudově modulován kmitočtem 1 kHz s hloubkou modulace $m = 0,3$, jeho výstupní úroveň nastavíme na 100 dB ($1 \mu\text{V}$) nebo na 120 dB ($1 \mu\text{V}/\text{m}$) a vypneme modulaci generátoru užitečného signálu 2. Kmitočet nosné měníme na obě dvě strany relativního kmitočtu přesného naladění a hledáme kmitočet

maximálního vlivu rušení: od 9 do 50 kHz na DV, od 9 do 200 kHz na SV a od 9 do 500 kHz na KV. Úroveň napětí rušicího signálu měníme tak, abychom dostali výstupní výkon o 20 dB menší než je výstupní výkon, dosažený při modulovaném užitečném signálu. Na určení síry kmitočtového pásma, v němž se projevuje křížová modulace, zvětšujeme rozladění kmitočtů rušení tak dlouho, než se pro udržení konstantního výstupního výkonu úroveň křížové modulace nezvětší o 6 dB a při dalším rozladění se nebude zmenšovat. Výsledkem měření je vstupní rušivé napětí v mV nebo mV/m a pásmo ovlivňované křížové modulací v kHz.

Měření křížové modulace na VKV – měří se v zapojení podle obr. 13. Zapneme generátor rušicího signálu 2, který je kmitočtově modulován kmitočtem 1 kHz s hloubkou modulace 0,8 a výstupní úroveň nastavíme na 60 dB/(pW). Vypneme modulaci generátoru užitečného signálu 1. Kmitočet nosné rušicího signálu měníme na obě dvě strany od kmitočtu přesného naladění o 1 až 2,5 MHz a vyhledáme kmitočet s maximálním vlivem rušicího signálu. Pro kontrolu, že přenos rušení je způsoben křížovým rušením, je nutné vypnout nosnou užitečný signál. Signál rušení se přitom zmenší minimálně o 3 dB. Zapneme nosnou užitečný signál a úroveň napětí rušicího signálu změníme tak, aby výstupní výkon byl o 20 dB menší než je při modulovaném užitečném signálu. Potom měníme kmitočet generátoru 2, dokud se výstupní výkon nezmenší o 6 dB a při dalším rozladění se nezvětší. Výsledkem měření je minimální vstupní napětí rušicího signálu získané při jeho rozladění na obě dvě strany od kmitočtu přesného naladění; při tom se zapíšou oba kmitočty rozladění; pásmo vlivu křížového rušení se určí jako součet absolutních hodnot rozladění a je vymezené kmitočty, na nichž se výstupní výkon křížového rušení zmenší o 6 dB.

Metoda měření potlačení amplitudové modulace na VKV – vstupní signál je $2U_{jm}$; 40 dB/(pW). Měří se v zapojení podle obr. 14. Analýzátorem spektra změříme výstupní napětí signálu s kmitočtem 1 kHz (U_1). Ponechá se kmitočtová modulace, nosný kmitoč-



Obr. 14. Měření potlačení modulace AM na VKV; 1 – vf signální generátor, 2 – nf signální generátor, 3 – náhrada antény, 4 – přijímač, 5 – analýzátor spektra, 6 – elektronický voltmetr

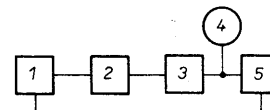
čet generátoru 1 dodatečně modulujeme amplitudově kmitočtem 400 Hz s hloubkou modulace 0,3 a měříme výstupní napětí na kmitočtech 400 Hz (U_2) a intermodulační složky 600 Hz (U_4) a 1400 Hz (U_5). Potlačení amplitudové modulace P_{am} v dB se vypočítá ze vztahu

$$P_{am} = 20 \log \sqrt{U_2^2 + U_3^2 + U_4^2 + U_5^2}$$

Měření kmitočtové charakteristiky přijímače – měří se v zapojení podle obr. 15. Při externím modulačním napětí je třeba zapojit obvod preemfáze nebo korigovat změřenou kmitočtovou charakteristikou.

Podmínky měření při AM jsou jmenovité – nosné kmitočty jsou 200 kHz a 1 MHz při úrovni vstupního signálu 80 dB/(1 μV) nebo 80 dB/(1 $\mu\text{V}/\text{m}$). Regulátor hlasitosti nastavíme do polohy odpovídající jmenovitému výstupnímu výkonu.

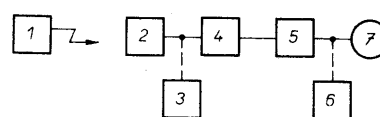
Kmitočtová charakteristika se může změřit elektronickým voltmetretem, při tom si za-



Obr. 15. Měření kmitočtové charakteristiky přijímače; 1 – vf generátor, 2 – náhradní anténa, 3 – přijímač, 4 – elektronický voltmetr, 5 – zapisovač amplitudové kmitočtové charakteristiky

znamenáváme pro každý modulační kmitočet úroveň výstupního napěti. Odchylky kmitočtové charakteristiky v daném kmitočtovém rozsahu nebo rozsah efektivně reproducovaných kmitočtů při zadaných odchylkách se mohou určit podle kmitočtové charakteristiky. Rozsah přenášených (reprodukovaných) kmitočtů musí ležet v oblasti, v níž je odchylka kmitočtové charakteristiky rovná zadané velikosti. Výsledkem měření je závislost modulačního kmitočtu na výstupním napěti, rozptyl kmitočtové charakteristiky pro daný kmitočtový rozsah, rozsah přenášených kmitočtů, nebo horní mezni kmitočet daného rozsahu.

Měření mezních úrovní vstupního signálu – měří se na jednom kmitočtu signálu z řady doporučených kmitočtů při střední poloze regulátoru výsek a hloubek podle zapojení na obr. 16. Úroveň vstupního signálu nejdříve zvětšujeme a pak zmenšujeme, při čemž

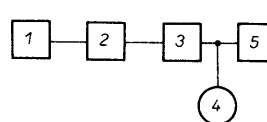


Obr. 16. Měření mezních úrovní vstupního signálu na AM; 1 – vf generátor pole, 2 – vf generátor, 3 – čítač kmitočtu, 4 – náhradní anténa, 5 – přijímač, 6 – měřič nelineárního zkreslení nebo analyzátor, 7 – elektronický voltmetr

udržujeme výstupní napětí tak, aby odpovídalo maximálnímu jmenovitému výstupnímu výkonu a měříme činitel harmonického zkreslení na výstupu přijímače. Při minimální úrovni vstupního signálu nesmí být výstupní výkon menší než jmenovitý. Měřit můžeme přes kterýkoli vstup přijímače. Při maximální úrovni vstupního signálu se dovoluje dodat přijímač na kmitočet signálu. Výsledkem měření je určení minimální a maximální úrovni vstupního signálu v μV nebo mV nebo dB (1 μV nebo mV/m), při nichž je nelineární zkreslení menší nebo rovné 1,5 % (nebo 10 % podle třídy jakosti).

Měření činitele nelineárního zkreslení – měří se při hloubce modulace $m = 80\%$, vstupní signál 80 dB (1 μV) nebo 80 dB (1 $\mu\text{V}/\text{m}$), měřicí kmitočty jsou 200 kHz a 1 MHz. Měří se v zapojení podle obr. 16. Na každém zadáném modulačním kmitočtu se měřičem zkreslení zjistí činitel harmonického zkreslení na výstupu přijímače.

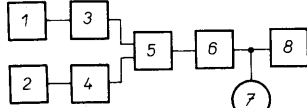
Měření činitele harmonického zkreslení – měří se v zapojení podle obr. 17. Regulátorem hlasitosti udržujeme výstupní výkon na



Obr. 17. Měření činitele harmonického zkreslení na VKV; 1 – vf generátor, 2 – náhradní anténa, 3 – přijímač, 4 – elektronický voltmetr, 5 – měřič nelineárního zkreslení nebo analyzátor spektra

jmenovité úrovni, na každém zadaném modulačním kmitočtu se měří zkreslení a zjistí činitel harmonického zkreslení. Doporučuje se měření zopakovat v stereofonním režimu při soufázové a protifázové modulaci v obou kanálech. Výsledkem měření je činitel harmonického zkreslení na zadaných měřicích kmitočtech. Pokud je činitel harmonického zkreslení menší než 1 %, použijeme následující měření.

Měření malého nelineárního zkreslení – měří se při hloubce modulace v frekvenci generátoru $m_1 = m_2 = 0,5$. Měříme v zapojení podle obr. 18. Kmitočty f_{m1} a f_{m2} generátorů 3 a 4 nastavíme tak, aby rozdílový kmitočet byl roven kmitočtu nařadění přijímače. Je



Obr. 18. Měření malého činitele nelineárního zkreslení; 1, 2 – nf signální generátory, 3, 4 – vf signální generátory, 5 – směšovač signálu, 6 – přijímač, 7 – elektronický voltmetr, 8 – analyzátor spektra

treba si uvědomit, že při libovolné volbě kmitočtů generátorů může v přijímači vzniknout „písání“. Kmitočty generátorů, při nichž nevznikne „písání“ v jednotlivých rozsazích jsou: $f_{m1} = 311$ MHz a $f_{m2} = 380$ MHz nebo $f_{m1} = 231$ MHz a $f_{m2} = 300$ MHz z rozsahu od 66 do 79 MHz. Na rozsahu od 88 MHz jsou to kmitočty $f_{m1} = 256$ MHz, $f_{m2} = 350$ MHz nebo $f_{m1} = 206$ MHz, $f_{m2} = 300$ MHz. Na výstupu směšovače musí být napětí 40 dB/(pW). Modulační kmitočet f_{m1} generátoru 1 nastavíme na kmitočet požadovaný při měření činitele harmonického zkreslení a kmitočet f_{m2} generátoru 2 nastavíme tak, aby byl roven součtu f_{m1} a rozladění f_{m2} . Rozladění volime minimální avšak takové, aby zeslabení kmitočtu analyzátem spektra při tomto rozladění bylo 50 až 60 dB. Analyzátem spekta změříme napětí složek s kmitočty f_{m1} , f_{m2} , $f_{m1} + f_{m2}$, $2f_{m1} + f_{m2}$, $3f_{m1} + f_{m2}$, $4f_{m1} + f_{m2}$. Při nařadění analyzátem spekta je nutné se v každém případě přesvědčit o správnosti nařadění tak, že postupně vypínáme napětí každého z modulačních kmitočtů. Při správném nařadění se musí údaje analyzátoru spektra podstatně změnit. Výsledkem měření je činitel harmonického zkreslení druhého až pátého řádu, K_g až K_{g5} v %, na kmitočtu f_n , který zjistíme z rovnice:

$$K_{g2} = \frac{2U(f_{m1} + f_{m2})}{U_{fm1} + U_{fm2}} \cdot 100;$$

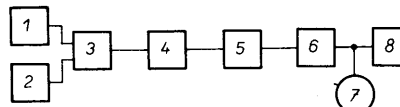
$$K_{g3} = \frac{8U(2f_{m1} + f_{m2})}{3(U_{fm1} + U_{fm2})} \cdot 100;$$

$$K_{g4} = \frac{4U(3f_{m1} + f_{m2})}{U_{fm1} + U_{fm2}} \cdot 100;$$

$$K_{g5} = \frac{32U(4f_{m1} + f_{m2})}{5(U_{fm1} + U_{fm2})} \cdot 100,$$

kde U_{fm1} ; U_{fm2} ; $U(f_{m1} + f_{m2})$; $U(2f_{m1} + f_{m2})$; $U(3f_{m1} + f_{m2})$; $U(4f_{m1} + f_{m2})$ jsou napětí signálů s kmitočty f_{m1} , f_{m2} , $f_{m1} + f_{m2}$, $2f_{m1} + f_{m2}$, $3f_{m1} + f_{m2}$, $4f_{m1} + f_{m2}$. Činitel harmonického zkreslení K_g v % na kmitočtu f_n bude

$$\sqrt{K_{g2}^2 + K_{g3}^2 + K_{g4}^2 + K_{g5}^2}.$$



Obr. 19. Měření činitele intermodulačního zkreslení; 1, 2 – nf signální generátory, 3 – směšovač signálu, 4 – vf generátor, 5 – náhradní anténa, 6 – přijímač, 7 – elektronický voltmetr, 8 – analyzátor spektra

Tuto metodu používáme tehdy, když očekáváme, že harmonické zkreslení měřeného přístroje je menší než $3K_g$ generátoru.

Měření činitele intermodulačního zkreslení – měří se v zapojení podle obr. 19. Měří se na jednom kmitočtu. Polohy regulátoru hlasitosti výšek a hloubek se nemění; nosná se moduluje nízkým nf kmitočtem f_1 s hloubkou modulace $m = 0,8$ při FM a $m = 0,64$ při AM. Současně se nosná moduluje vysokým nf kmitočtem f_2 s hloubkou modulace $m = 0,2$ při FM a $m = 0,16$ při AM. Měří se s konstantním kmitočtem f_1 generátoru 1, který je o třetinu oktavy vyšší než je dolní mezní kmitočet rozsahu přenášených kmitočtů. Kmitočet f_2 generátoru 2 volime v rozsahu kmitočtů od $6f_1$ do horního mezního kmitočtu přenášených signálů. Tento kmitočet je nutné uvést v TP daného výrobku. Analyzátem spekta se změří výstupní napětí na kmitočtech f_2 , $f_2 \pm f_1$ a $f_2 \pm 2f_1$. Činitele intermodulačního zkreslení druhého a třetího řádu v % vypočítáme z rovnice

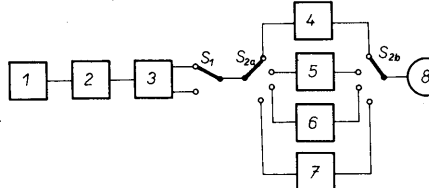
$$K_{im2} = \frac{U_{f_2-f_1} + U_{f_2+f_1}}{U_{f_2}} \cdot 100;$$

$$K_{im3} = \frac{U_{f_2-2f_1} + U_{f_2+2f_1}}{U_{f_2}} \cdot 100;$$

kde $U_{f_2-f_1}$, $U_{f_2+f_1}$ a $U_{f_2+2f_1}$ jsou napětí signálů s kmitočty vzniklými vzájemnou modulací a změřené na výstupu přijímače v mV. U_{f_2} je napětí vyššího modulačního nf kmitočtu. Výsledkem jsou činitelé intermodulačních zkreslení K_{im} v % na zadaných měřicích kmitočtech, vypočítají se z rovnice:

$$K_{im} = \sqrt{K_{im2}^2 + K_{im3}^2}.$$

Měření odstupu signál/brum – při FM nastavíme rovnou kmitočtovou charakteristiku. Při AM je úroveň vstupního signálu 80 dB (1 μ V) nebo 80 dB (1 μ V/m). Zapojení musí odpovídat obr. 20. Tam, kde je to možné, použijeme k napájení přijímače zdroj s kmitočtem



Obr. 20. Měření odstupu signálu od brumu; 1 – vf signální generátor, 2 – náhradní anténa, 3 – přijímač, 4 až 7 – třetinooktavové filtry, 8 – elektronický voltmetr

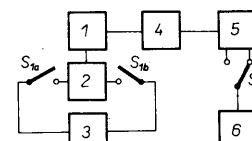
400 Hz. U stereofonních přijímačů přiváděme na vstup úplný stereofonní signál. Nejdříve vypneme modulaci. U stereofonních přijímačů po vypnutí modulace zůstává pomocná nosná. Na náhradní záťaze pomocí třetinooktavových filtrů nebo analyzátoru spektra změříme napětí U_{50} , U_{100} a U_{150} složek brumu s kmitočty 50, 100 a 150 Hz. Měřit můžeme i při maximálním zdůraznění hloubek, pokud má přijímač korektor hloubek. Výsledkem měření je poměr výstupního napětí při jmenovitém výkonu na referenčním kmitočtu k středně kvadratickému součtu složek brumu K_f v dB vypočítaný ze vzorce:

$$K_f = 20 \log \frac{U_{pjm}}{\sqrt{U_{50}^2 + U_{100}^2 + U_{150}^2}},$$

kde U_{pjm} je napětí při jmenovitém výkonu. Na AM se uvádí činitel A_f , který je roven

$$A_f = 20 \log \frac{\sqrt{U_{50}^2 + U_{100}^2 + U_{150}^2}}{U_{pjm}}.$$

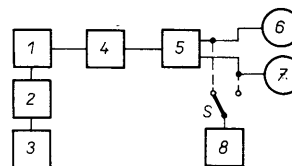
Měření maximálního výstupního výkonu – modulační kmitočet 1 kHz, při AM v zapojení podle obr. 16 a při FM podle obr. 17. Regulátorem hlasitosti zvětšujeme výstupní napětí do té doby, dokud činitel nelineárního zkreslení nebude 1,5 nebo 10 % (závislosti na třídě přijímače) a změříme výstupní napětí. Výsledkem měření je maximální výstupní výkon $P_{max} = U_{vyst}/R_z$, kde R_z je odpor zátěže.



Obr. 21. Měření přeslechů a nelineárních přeslechů; 1 – vf signální generátor, 2 – stereofonní modulátor, 3 – nf signální generátor, 4 – náhradní anténa, 5 – přijímač, 6 – analyzátor spektra nebo selektivní voltměr

Měření přeslechového útlumu mezi stereofonními kanály a úrovni nelineárního přeslechu – měří se v zapojení podle obr. 21. Nejprve vypneme modulaci v levém kanálu a na jeho výstupu analyzátem spektra změříme napětí na kmitočtu 1 kHz vyvolané působením druhého kanálu. Pro zjištění nelineárních přeslechů změříme napětí druhé (U_{2000}) a třetí (U_{3000}) harmonické modulační kmitočtu. Podobně měříme při vypnuté modulaci v pravém kanálu. Měření se opakuje na modulačních kmitočtech 250 Hz, 6300 Hz a 10 000 Hz. Měřit se může i na jiných kmitočtech od 250 do 12 500 Hz a při odladění o 25 kHz od měřicího vf kmitočtu, uvedeného v TP přijímače. Výsledkem měření je poměr výstupních napětí odpovídajících jmenovitému výstupnímu výkonu v jednom stereofonním kanálu a výstupním napětí v druhém stereofonním kanálu, udaný v dB. Úroveň nelineárního přeslechu na kmitočtu 1 kHz je poměr výstupního napětí při jmenovitém výstupním výkonu a druhé odmocnině součtu čtverců napětí U_{2000} a U_{3000} v dB.

Měření odchylky zisku stereofonních kanálů v rozsahu přenášených kmitočtů – měří se v zapojení podle obr. 22. Při konstantním vstupním napětí se postupně nastavují kmitočty 250 Hz, 6,3 kHz a 10 kHz a dále a měří se napětí na výstupech obou stereofonních kanálů. Výsledkem měření je poměr napětí na výstupu jednoho a druhého stereofonního kanálu v dB.



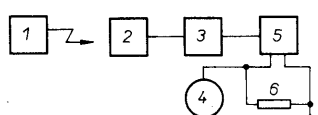
Obr. 22. Měření odchylky zisků stereofonních kanálů; 1 – vf signální generátor, 2 – stereofonní modulátor, 3 – nf signální generátor, 4 – náhradní anténa, 5 – přijímač, 6, 7 – elektronické voltmetry, 8 – analyzátor spektra

Měření úrovně kombinovaného rušení způsobeného interferencí zvukového kmitočtu a pomocných nosných kmitočtů – obvod preemfáze v modulátoru je zapnutý a měří se v zapojení podle obr. 22. Úroveň modulace ve stereofonních kanálech se zmenší o 20 dB. Modulační kmitočet se změní

z 1 kHz na 10 kHz. Analyzátorem spektra se změří napětí na kmitočtech 8 kHz – U_8 a 1 kHz – U_1 . Měření se opakují při modulačním kmitočtu 15 kHz. Výsledkem měření je poměr výstupního napětí při jmenovitém výkonu na kmitočtu 1 kHz a druhé odmocniny součtu čtvrtců napětí U_8 a U_1 v dB.

Měření výstupního výkonu charakterizujícího odolnost proti mikrofoničnosti – měří se na jednom kmitočtu z řady doporučených kmitočtů. Vstupní signály se nastaví na 100 dB (pW) při FM a na 100 dB nad 1 μ V nebo 1 μ V/m. Regulátor hlasitosti se nastaví do polohy odpovídající maximálnímu výkonu; činitel modulace $m = 0,3$. Regulátor hlobek a výšek nastavíme do polohy odpovídající maximálnímu zdůraznění nízkých kmitočtů. Při přetížení vstupu VKV nastavíme vstupní napětí na úroveň minimálně 40 dB (pW). Na FM měříme podle obr. 12 a na AM podle obr. 16. Nejprve vypneme modulaci a měníme naladění kmitočet na obě dvě strany od kmitočtu přesného naladění. Když se objeví mikrofonie, regulátor hlasitosti nastavíme do polohy, při níž přestane být mikrofonie slyšitelná. Tuto polohu regulátoru hlasitosti již neměníme, zapneme modulaci a generátor nastavíme na kmitočet přesného naladění přijímače; potom určíme výstupní výkon. Výsledkem měření je konstatování o absenci mikrofoničnosti nebo maximální výstupní výkon, při kterém se mikrofoničnost nevyskytuje.

Měření absence drnčení a nakmitávání – při FM je obvod preemfáze v modulátoru zapnutý. Měří se na jednom kmitočtu z řady doporučených kmitočtů. Regulátor hlasitosti, hlobek a výšek se nastaví do polohy maximální hlasitosti a nejšířšího pásma reprodukovacích kmitočtů. Vstupní signál se nastaví tak, aby zabezpečoval maximální výstupní výkon. Na FM se měří v zapojení podle obr. 12 a na AM podle obr. 23. Měníme kmitočet generátoru a sluchem kontrolujeme kvalitu zvuku přijímače ve všech kmitočtových rozsazích. Na středním kmitočtu rozsahu se současně mění modulační kmitočet v celém pásmu přenášených kmitočtů. Výsledkem měření jsou kmitočty naladění nebo modulační kmitočty, při nichž vznikají uvedené

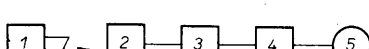


Obr. 23. Hodnocení drnčení a kmitání na AM; 1 – generátor pole, 2 – výstup generátoru, 3 – náhradní anténa, 4 – elektronický voltmetr, 5 – přijímač, 6 – zátěž

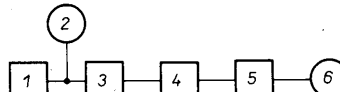
parazitní jevy. Parazitní jevy musí zmizet při zmenšení výstupního výkonu na polovinu jmenovitého výkonu.

Měření účinnosti automatického vyrovnaní citlivosti – přijímač naladíme na kmitočtu 1 MHz. Výstupní úroveň je 94 dB nad 1 μ V nebo 1 μ V/m. Měříme v zapojení podle obr. 24. Zmenšujeme napětí generátoru, pokud nedosáhneme výstupního napětí menšího o 10 dB vzhledem k původnímu výstupnímu napětí. Výsledkem měření je poměr vstupních napětí uvedený v dB.

Měření rozsahu přenášených kmitočtů nf zesilovače – regulátor hlasitosti se nastaví do polohy maximálního zisku a použijí se přizpůsobovací členy ČSN 36 7008. Měří se v zapojení podle obr. 25. Korektory hlo-



Obr. 24. Měření účinnosti AVC; 1 – generátor pole, 2 – výstup generátoru, 3 – náhradní anténa, 4 – přijímač, 5 – el. voltmetr



Obr. 25. Měření kmitočtového rozsahu nf zesilovače; 1 – generátor, 2, 6 – elektronický voltmetr, 3 – přizpůsobovací článek, 4 – měřený zesilovač, 5 – náhradní zátěž

bek a výšek nastavíme do polohy, kdy dostaneme lineární průběh kmitočtové charakteristiky. Na vstup měřeného kanálu nf zesilovače přivedeme napětí z generátoru, které odpovídá jmenovitému výstupnímu výkonu. Toto napětí udržujeme konstantní a měníme kmitočet signálu do té doby, než výstupní napětí nezvětší meze přípustných odchylek kmitočtové charakteristiky, které jsou uvedeny v TP pro daný výrobek. Podle průsečníku mezi přípustným tolerančním polem kmitočtové charakteristiky určíme horní (f_u) a dolní (f_d) mezní kmitočet rozsahu přenášených kmitočtů. Obvykle výstupní napětí při f_u a f_d bývá o 3 dB menší než při kmitočtu 1 kHz. Výsledkem měření je kmitočtový rozsah mezi f_d a f_u .

Měření citlivosti nf zesilovače – měří se v zapojení podle obr. 25. Na vstup měřeného kanálu se přivede vstupní signál z nf generátoru, který zajistí při naplně vytvořeném regulátoru hlasitosti výstupní výkon rovný jmenovitému výstupnímu výkonu. Výsledkem měření je napětí zdroje signálu, které zajišťuje jmenovitý výstupní výkon.

Měření meze regulace hlasitosti nf zesilovače – měří se v zapojení podle obr. 25. Měří se výstupní napětí zesilovače. Měníme polohu regulátoru hlasitosti v rozmezí plynulé regulace do té doby, dokud se výstupní napětí zesilovače nezačne měnit skokovitě. Výsledkem měření je meze regulace hlasitosti D_g v dB daná vztahem

$$D_g = 20 \log \frac{U_{\text{výst max}}}{U_{\text{výst min}}},$$

kde $U_{\text{výst max}}$ je výstupní napětí v poloze regulátoru odpovídající maximálnímu výkonu a $U_{\text{výst min}}$ je výstupní napětí při poloze regulátoru odpovídající výkonu před skokovou změnou.

Měření vlivu tónové clony (korekcí) při regulaci hlasitosti – měří se v zapojení podle obr. 25. Při konstantním vstupním napětí se regulátor tónových korekcí na kmitočtech 1 kHz, f_u a f_d nastaví výstupní napětí na jmenovité výstupní napětí. Před měřením se nastaví poloha korektoru hlobek a výšek na rovnou kmitočtovou charakteristiku a regulátor hlasitosti na maximální zisk odpovídající běžnému výstupnímu napětí a tomu odpovídající vstupní napětí. Potom nastavíme kmitočet generátoru na 1 kHz a regulátorem hlasitosti zmenšíme výstupní napětí na velikost danou VKV výrobku. Změří se výstupní napětí na kmitočtech f_d a f_u . Výsledkem měření je velikost Q tónové clony (korekcí) v dB na kmitočtech f_d a f_u , vypočítaná z rovnice:

$$Q = 20 \log \frac{U_{\text{výst2}}}{U} - \frac{U_{\text{výst1}}}{U_{1000}},$$

kde $U_{\text{výst2}}$ je výstupní napětí na kmitočtech f_d a f_u ; U je výstupní zmenšené napětí na kmitočtu 1 kHz; $U_{\text{výst1}}$ je výstupní napětí na kmitočtech f_d a f_u , dané kmitočtové charakteristiky a U_{1000} je výstupní napětí na kmitočtu 1 kHz, které je rovno napětí jmenovitému. Přednostně se má Q měřit pro výstupní výkon rovný standardnímu výkonu, tj. 50 mW.

Měření meze regulací tónové clony (korekcí) – regulátor hlasitosti se nastaví na maximální zisk, přizpůsobovací člen podle použitého měřicího vstupu a zapojení podle obr. 25.

Regulátor tónové clony (korekcí) se nastaví do polohy maximálního zdůraznění krajních kmitočtů nf pásma a změří se výstupní napětí při kmitočtech f_d a f_u . Potom se regulátor tónové clony přemístí do polohy maximálního potlačení krajních kmitočtů nf pásma a změříme výstupní napětí na kmitočtech f_d a f_u . Výsledkem měření jsou meze D_t regulace (tónové clony) při zdůraznění a potlačení na kmitočtech f_d a f_u , vypočítané z rovnice

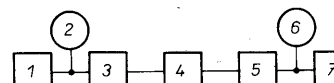
$$D_t = 20 \log \frac{U_{\text{výst}}}{U_{1000}},$$

kde $U_{\text{výst}}$ je výstupní napětí na kmitočtech f_d a f_u , při daných polohách regulátorů (tónové clony) a U_{1000} je výstupní napětí na kmitočtu 1 kHz při $P_{\text{výst}} = P_{\text{jmen}}$.

Měření maximálního výstupního výkonu – měří se v zapojení podle obr. 26. Na vstupu měřeného kanálu nf zesilovače nastavíme takové napěti, aby činitel nelineárního zkreslení výstupního signálu nebyl větší než je v TP daného výrobku a změříme výstupní napětí. Výsledkem měření je výstupní výkon $P_{\text{max}} = U_{\text{výst}}^2 / R_z$,

kde R_z je náhradní zatěžovací impedance. Měří se na kmitočtu 1 kHz, f_d a f_u .

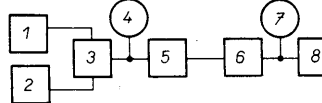
Měření činitele nelineárního zkreslení – měří se v zapojení podle obr. 26. Měření opakuje-



Obr. 26. Měření maximálního výstupu výkonu; 1 – generátor, 2, 6 – elektronické voltmetry, 3 – přizpůsobovací článek, 4 – měřený zesilovač, 5 – náhradní zátěž, 7 – analyzátor spektra nebo měří zkreslení

me při výstupním výkonu zmenšeném na 0,01 výkonu jmenovitého, ale ne menším než 100 mW. Na daných kmitočtech, uvedených v TP výrobku, se měříme zkreslení nebo analyzátorem spektra změří činitel nelineárního zkreslení nebo výstupní napětí jednotlivých harmonických měřicích signálu. Při použití analyzátoru spektra činitel harmonického zkreslení K_g , který je roven odmocnině podílu součtu čtvrtců napětí všech harmonických ku součtu čtvrtců základního a harmonických kmitočtů, násobené 100.

Měření činitele intermodulačního zkreslení – měří se podle obr. 27. Při vypnutém generátoru 2 se nastaví napětí zdroje signálu na vstupu zesilovače z generátoru 1 tak, aby odpovídala 0,8 jmenovité velikosti. Potom při



Obr. 27. Měření činitele intermodulačního zkreslení; 1, 2 – generátory, 3 – obvod pro sčítání signálů, 4, 7 – elektronické voltmetry, 5 – přizpůsobovací článek, 6 – měřený zesilovač, 8 – analyzátor spektra

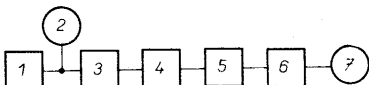
vypnutém napětí generátoru 1 se nastaví generátorem 2 napětí zdroje signálu na vstupu zesilovače na 0,2 jmenovité velikosti. Polohy regulátoru úrovně obou generátorů se nemění a na vstup zesilovače se přivádějí zadaná napětí o kmitočtech f_1 a f_2 . Kmitočet f_2 volíme v rozsahu od $6f_1$ do horního mezního kmitočtu přenášených signálů. Analyzátem spektra se změní výstupní napětí při těchto kombinačních kmitočtech: $f_2 + f_1$, $f_2 - f_1$, $f_2 - 2f_1$, $f_2 - 3f_1$, $f_2 - 3f_1 \dots$. Výsledkem měření je činitel intermodulačního zkreslení

K_{im} v [%] vypočítaný z rovnice

$$K_{im} = \frac{\sqrt{(U_{f_2+f_1} + U_{f_2-f_1})^2 + (U_{f_2+2f_1} + U_{f_2-2f_1})^2 + (U_{f_2+3f_1} + U_{f_2-3f_1})^2}}{U_{f_2}} \cdot 100,$$

kde U_{f_2} , $U_{f_2+f_1}$ atd. jsou výstupní napětí signálů kmitočtů f_2 , $f_2 + f_1$ atd. Kmitočet f_1 se doporučuje volit 71 Hz a f_2 5 kHz.

Měření odstupu signálu od šumu nf zesilovače – měří se v zapojení podle obr. 28. Na vstup měřeného kanálu zesilovače se z generátoru přivede jmenovité vstupní napětí, tj. napětí, které odpovídá citlivosti pro daný vstup. Regulátorem hlasitosti se na výstupu zesilovače nastaví napětí odpovídající jme-



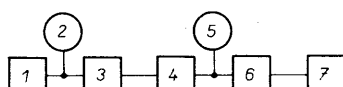
Obr. 28. Měření odstupu signálu od šumu; 1 – generátor, 2, 7 – elektronické voltmetry, 3 – přizpůsobovací článek, 4 – měřený zesilovač, 5 – náhradní zátěž, 6 – měřicí zesilovač

novitému výstupnímu výkonu. Dále od vstupu odpojíme generátor s přizpůsobovacím článkem a měřený vstup přenostíme náhradní zátěži a změříme šumové napětí na výstupu. Výsledkem je odstup N_s (v dB) signálu od šumu, vypočítaný z rovnice

$$N_s = 20 \log \frac{U_{vyst}}{U_s},$$

kde U_{vyst} je výstupní napětí při jmenovitém výkonu a U_s je šumové napětí. Měření opakujeme pro $0,01 P_{jm}$, minimálně však pro 100 mW.

Metoda měření odstupu signálu od brumu – měří se v zapojení podle obr. 29. Na vstup měřeného kanálu zesilovače se z generáto-



Obr. 29. Měření odstupu signálu od brumu; 1 – generátor, 2, 5 – elektronický voltmeter, 3 – přizpůsobovací článek, 4 – měřený zesilovač, 6 – náhradní zátěž, 7 – analyzátor spektra

ru přivede vstupní napětí odpovídající jmenovité citlivosti a regulátorem hlasitosti se na výstupu nastaví napětí úměrné jmenovitému výkonu. Poté se generátor odpojí od vstupu měřeného kanálu zesilovače a zapojí se přizpůsobovací článek. Změříme výstupní napětí na kmitočtech 50, 100 a 150 Hz analyzátorem spektra. Měření zopakujeme při maximálním zdůraznění hloubek. Výsledkem měření je odstup signálu od brumu N_t v dB, vypočítaný z rovnice

$$N_t = 20 \log \frac{U_{vyst}}{\sqrt{U_{50}^2 + U_{100}^2 + U_{150}^2}},$$

kde U_{vyst} je výstupní napětí pro jmenovité výkon a U_{50} , U_{100} a U_{150} napětí složek brumu při kmitočtech 50, 100 a 150 Hz.

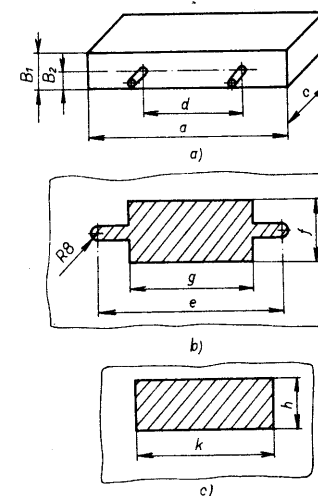
Měření přípustné úrovně vstupního napětí – měří se v zapojení podle obr. 28. Na vstup měřeného kanálu nf zesilovače se přivede z generátoru napětí úměrné jmenovitému výstupnímu výkonu a měří se činitel nelineárního zkreslení analyzátem spektra. Potom zvětšíme vstupní napětí a regulátorem hlasitosti nastavíme výstupní napětí, které odpovídá výstupnímu výkonu o 10 dB men-

při různých polohách ovládacích prvků. V případě potřeby je možné paralelně k osciloskopu připojit selektivní voltmetr. Výsledkem měření je údaj o nepřítomnosti nebo přítomnosti kmitání při jakémoli poloze ovládacích prvků.

Při měřeních se používají třetinooktálové filtry, jejichž kmitočtový průběh je v tab. 2. Filtry vzhledem ke strmosti je nutné řešit jako filtry LC. Někdy se pro měření používají i psofometrické filtry, jehož zapojení je na obr. 32. Z ukázek měření vidíme, že při vývoji přijímačů je nutný značný počet měření. Při kontrole parametrů však postačí měřit jen parametry uvedené v jakostní normě ČSN 36 7303.

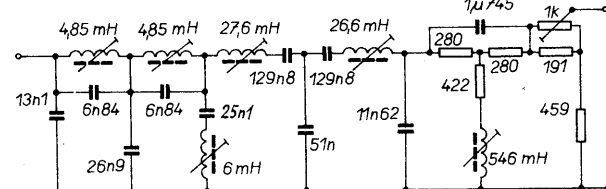
Doporučené rozměry pro autopřijímače

Aby bylo možné vestavět autopřijímač do palubní desky, byla v rámci RVHP přijata norma, v níž jsou uvedeny rozměry autopřijímače, otvory pro jeho vestavění pod panel a do panelu. Na obr. 33a a v tab. 3 jsou rozměry autopřijímače, na obr. 33b a v tab. 4 jsou rozměry otvoru v tvrdé části palubní desky pro upevnění autopřijímače na panel ze zadu a na obr. 42 a v tab. 5 jsou rozměry otvoru v tvrdé části panelu pro upevnění autopřijímače na panel zepředu.



Obr. 31. Měření absence kmitání; 1 – generátor, 2 – elektronický voltmeter, 3 – přizpůsobovací článek, 4 – měřený zesilovač, 5 – náhradní zátěž, 6 – reproduktory, 7, 8 – osciloskopy

Obr. 32. Zapojení psوفometrického filtru



Tab. 2. Kmitočtový průběh třetinooktálových filtrů

Filtr pro kmitočet		Kmitočet Hz									
50 Hz	-	12,5	40	45	48	50	53	56	64	200	400
100 Hz	12,5	25	80	90	95	100	106	112	125	400	800
150 Hz	18,5	37,5	109	133,6	141,6	150	158,9	168	189	300	1200
1000 Hz	125	250	800	900	950	1000	1060	1120	1250	4000	8000
Útlum	+60	+50	+13	-0,5	0		-0,5	-0,5	+13	+50	+60
				+6	+1		+1	+6			

K uvedeným útlumům v dB je nutné připočítat základní útlum filtru.

Tab. 3. Rozměry autopřijímačů [mm]

Provedení	a_{max}	B_{1max}	B_{2max}	C_{max}	d
miniaturní	108	40	neurč.	160	neurč.
normální	190	55	od 0,5 B_2	170	od 130
velké	215	70	od 0,6 B_2	200	od 140

Tab. 4. Rozměry otvoru v palubní desce [mm]

Provedení	e	f_{max}	g
normální	od 130	42	108
velké	od 140	50	-2

Tab. 5. Rozměry otvoru v palubní desce [mm]

Provedení	h_{min}	K_{min}
miniaturní	42	110
normální	57	192
velké	72	217

Obvodové řešení autopřijímačů

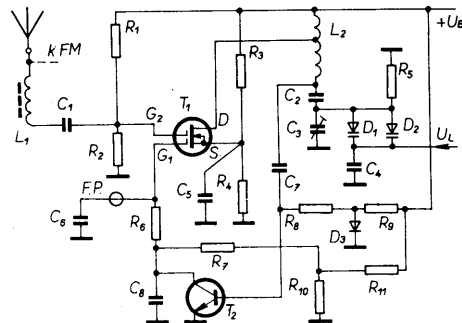
Při řešení obvodů autopřijímače vycházíme z blokového zapojení na obr. 34. Signál přijímaný autoanténu je podle zvoleného rozsahu zpracováván buď částí přijímače FM nebo při DV, SV, KV částí přijímače AM. Při příjmu na rozsazích VKV je signál z antény veden do vstupní jednotky VKV, v níž se smísí se signálem místního oscilátoru na mezfrekvenční signál, který je detekován detektorem FM a při monofonním příjmu veden do společného nf zosilovače. Při stereofonním příjmu je detekovaný signál FM veden do stereofonního dekodéru. Někdy bývá před stereofonním dekodérem zařazen obvod pro vyklíčování poruch a dekodér dopravního rozhlasu ARI. Na rozsazích AM je anténní signál přiveden přes vstupní obvod na vstup vf zosilovače nebo na směsovač AM, v němž se smísí se signálem oscilátoru a vytváří se mf signál, který je po zesílení a detekci veden přes prepříčka vstupu nf zosilovače do společného nf zosilovače.

Vzhledem k tomu, že autopřijímač je zařízení, u něhož se ve značné míře za jízdy mění úroveň vstupního signálu, je u něj třeba věnovat náležitou pozornost zpracování maximálního vstupního signálu, selektivitě a automatickému řízení zesílení ve vstupních obvodech. Proto je při návrhu autopřijímače zvláště pozornost věnována vstupním obvodům. Předpokládejme, že nejmenší vstupní úroveň v pásmech VKV je $1 \mu V$ a v pásmech AM $10 \mu V$ a nežádoucí signál má úroveň $10 V$ – zpracování takových signálů je značným technickým problémem. Rovněž i zpracování signálu o úrovni $10 V$ je technicky velmi obtížné. Úrovně kolem $10 V$ se vyskytují v blízkosti vysílačů s výkonem asi $2 MW$. Je až ku podivu, že napětí indukované na anténě, které v tomto případě může být větší než $10 V$, nepoškodi přijímač. Při této podmínce jsme oprávněni mluvit o nežádoucím příjmu křížové modulace a intermodulaci. Je pravdou, že dobrou selektivitu vstupních obvodů s lineárními prvky lze

oba případy nežádoucích příjmů podstatně omezit, ale při aplikaci varikapů v laděných obvodech díky nelineární ladící charakteristice varikapu se při velkých vf vstupních napěťích posouvá rezonance laděných obvodů směrem k nižším kmitočtům, což se projeví velkým nelineárním zkreslením signálu. Proto je nutné volit taková zapojení, v nichž nelze na obvod laděný varikapem přivést velké vf napětí. Toho lze například dosáhnout zapojením širokopásmového zesilovače s automatickou regulací zisku před vstupní obvodem, nebo použitím tranzistoru jako proměnného rezistoru na vstupu přijímače. Řízení zisku je odvozeno z vf signálu, odebíránoho za vstupními obvody, které se zesílí v jedno nebo dvoustupňovém vf širokopásmovém zesilovači, usměrnění detektorem a přiveden na řídící vstup řízeného zesilovače. I když toto zapojení je kompromisem při řešení uvedených problémů, má oproti tradičnímu klasickému zapojení výhodu v tom, že se jím dosáhne značně lepší odolnosti proti křížovým a intermodulačním signálům. Kvalita zapojení je závislá na vobě a výběru řízeného stupně s ohledem na uvedené požadavky v celém rozsahu řízení. Pro tyto aplikace je vhodný tranzistor KF910, a to jak pro VKV, tak i pro DV, SV a KV. Jeho regulační rozsah je asi $40 dB$.

Zapojení aperiodického zesilovače AM s obvodem AVC je na obr. 35 a zapojení s tranzistorem jako proměnným rezistorem na obr. 36. V zapojení na obr. 35 je vstupní signál přes oddělovací tlumivku L_1 a kondenzátor C_1 přiveden na $G_2 T_1$, jejíž předpětí je nastaveno rezistory R_1, R_2 . Na odboku laděného obvodu $L_2 C_2 C_3 D_1 D_2$ je připojen kollektor (elektroda D) T_1 . Kondenzátor C_2 odděluje stejnosměrné napětí kolektoru T_1 od varikapů D_1, D_2 . Kondenzátor C_4 je blokováno vf napěti na varikapech. Dělicí $R_3 R_4$ je nastaveno napětí na emitoru (elektroda S) T_1 tak, aby se T_1 při uzavření nezničil. Přes kondenzátor C_7 je část vf signálu přivedena do báze detektora T_2 . Základní ss napěti na bázi T_2 je nastaveno děličem $R_9 D_3$ a přivádí se přes R_8 na bázi T_2 . Detekované vf napěti je po filtraci kondenzátorem C_8 přes R_6 přivedeno na G_1 tranzistoru T_1 , která je blokována kondenzátorem kondenzátorem C_6 ; C_6 má na jednom přívodu navlečenou feritovou perlu FP. Základní napěti na G_1 tranzistoru T_1 je nastaveno děličem $R_{11} R_{10}$ a přes R_7 přivedeno i do kolektoru T_2 . Maximální mezikválové napěti signálu na varikapech může být $800 mV$.

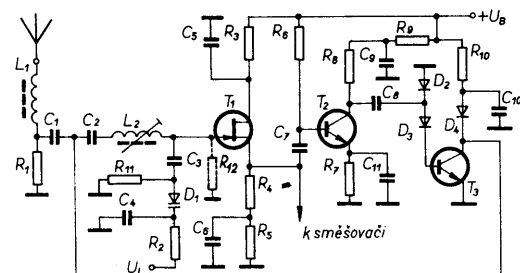
Na obr. 36 je zapojení vstupního obvodu s regulací zisku proměnným rezistorem. Signál z antény je přes oddělovací tlumivku L_1 a kondenzátory C_1, C_2 přiveden na laděný obvod $L_2 C_3 D_1$. Kondenzátor C_3 odděluje varikap D_1 stejnosměrně od cívky. Dále je signál veden do emitorového sledovače T_1 a dále pak ke směsovači. Tranzistor T_1 má velkou vstupní impedanci, takže není třeba na cívce L_2 dělat odboku ani vazební vinutí.



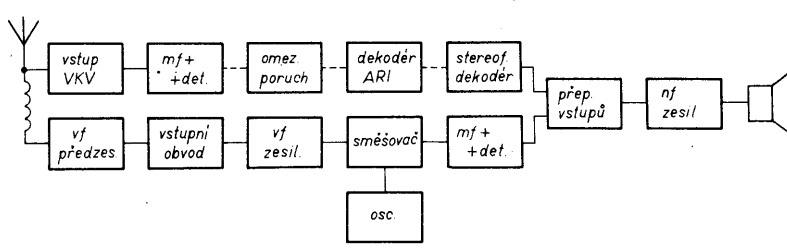
Obr. 35. Regulace zisku s MOSFET

Cást vf napěti je vedena přes C_7 do báze T_2 , z jehož kolektoru je zesílený signál přes C_8 veden do zdvojováče napěti, který jej usměrnil a řídí ss napětím proměnný rezistor T_3 . Základní napěti na kolektoru T_3 je nastaveno $R_{10} D_4$. Aby vf napěti nepronikalo do napájení, je mezi R_{10} a D_4 zapojen blokovací kondenzátor C_{10} .

Jak již bylo uvedeno, na selektivitu přijímače mají velký vliv vstupní obvody, tzn. jejich konstrukční provedení. Pro ladění vstupních obvodů se používají ladící kondenzátory, ladící cívky – variometry a varikapy. Použití ladících kondenzátorů v autopřijímači není v konstrukčního hlediska výhodné, neboť zaujmají poměrně značný prostor a jsou náchylné k mikrofoničnosti. Než se začaly používat varikapy (ve větší míře), hlavní ladícím prvkem byly variometry. Z hlediska zrcadlové selektivity to však nebylo hodné řešení pro autopřijímač vyšší jakostní skupiny. Důkazem pro toto tvrzení je tato úvaha (pro střední kmitočet SV, tj. $1 MHz$): dosahneme-li jakostí laděného obvodu $Q = 100$, pak šířka propustného pásma $B = 10 kHz$ a útlum zrcadlového signálu je asi $42,8 dB$. To je ovšem krajní teoretická možnost, avšak $B = 10 kHz$ je nevhodná pro tříbofový souběh, s nímž počítáme v rozsahu DV a SV. Zmenšíme-li jakost obvodu na ještě přípustnou mez, $Q = 60$ (s ohledem na tříbofový souběh), pak se útlum zrcadlového signálu zmenší na $38,4 dB$, takže přijímač nebude využovat ani druhé jakostní třídu podle tab. 1. Vytvoříme-li s variometrem dvojitý laděný pásmový obvod, zvětší se při kritické vazbě a kmitočtu $1 MHz$ šířka propouštěného pásma na $B = 23,5 kHz$ při $Q = 60$ a útlum zrcadlového signálu se zvětší na $76,8 dB$. Ještě pro $Q = 40$ je útlum zrcadlového signálu $63,3 dB$. Pro orientaci je v tab. 6 závislost útlumu zrcadlových signálů a šířky pásma B na jakosti jednoduchých a dvojitých symetricky laděných vstupních obvodů pro pásmo SV a KV a m kmitočet $455 kHz$. Krátkovlnné obvody můžeme zhovit ze subminiaturního mf filtru pro $10,7 MHz$ – hrníček JK 205 534306606 a jádro JK 205 534306307-N1;



Obr. 36. Regulace zisku s tranzistorem jako proměnným rezistorem



Obr. 34. Blokové zapojení autopřijímače

Tab. 6. Útlum zrcadlových signálů a šířka pásma v f vstupních obvodů v závislosti na Q_p pro mf kmitočet 455 kHz

$f_0 = 1 \text{ MHz}, f_{zr} = 1,910 \text{ MHz}$						
Q	30	40	50	60	70	80
$b_{zr1} \text{ dB}$	32,3	34,9	36,4	39,3	40,9	42,5
$B_1 \text{ kHz}$	33,3	25	20	16,6	14,2	12,5
$b_{zr2} \text{ dB}$	58,7	63,6	67,5	76,8	73,4	76,0
$B_2 \text{ kHz}$	47,1	35,3	28,2	23,5	20,2	17,6

f_0 je přijímaný kmitočet, f_{zr} je zrcadlový kmitočet, Q je jakost obvodu, b_{zr1} je útlum zrcadlového signálu u jednoduchého obvodu, b_{zr2} je útlum zrcadlového signálu u dvojitého laděného obvodu, B_1 je šířka pásma jednoduchého obvodu, B_2 je šířka pásma dvojitého obvodu.

pro vstupní obvody DV a SV používajeme hrnček JK 205 534306601 a jádro JK 205 534306602 z Prametu Šumperk.

Použijí-li se místo variometrů k ladění varikap, musíme počítat se zhoršením provozního činitele jakosti laděného obvodu, který je způsobeno konečnou velikostí sériového odporu r_s varikapu. Pro přeladění pásma VKV I a VKV II v jednom rozsahu bude možné použít dvojice varikapů KB205 a KB109. Výhodnější, vzhledem k větší počáteční kapacitě, jsou varikapy KB109. V rozsahu DV, SV a KV lze použít v současné době tři typy varikapů, KB113, KB313 a KB413. Parametry varikapu KB313 a KB413 jsou v tab. 7. Zhoršení vlastností

Tab. 7. Parametry varikapů pro AM

Typ	I_R při U_R nA	U_R V	C_D při U_R		r_s při C_D Ω	C_D pF
			pF	V		
KB113	50	32	230 až 280 13	1 30	4	200
KB313	50	12	440 až 530 17 až 29	1 8,5	2,5	485
KB413	50	32	345 až 410 10 až 20	1 30	2	345

Kapacity měřeny při 1 MHz a sériový odpor při 0,5 MHz.

laděného obvodu se projeví především při maximální ladící kapacitě varikapů, kdy se nejvíce transformuje sériový odpor varikapů do laděného obvodu. Provozní činitel laděného obvodu se vlivem sériového odporu

$$\text{varikapu } r_s \text{ zmenší na } Q_p = \frac{Q_0}{1 + Q_0 \omega_0 C_D r_s}$$

kde Q_p je provozní jakost laděného obvodu; Q_0 jakost nezatižené cívky; $\omega_0 = 2\pi f_0$ (f_0 je rezonanční kmitočet); C_D je kapacita varikapu a r_s sériový odpor varikapu. Je-li r_s větší než 1, pak obvykle má na SV a DV malý vliv, uplatní se však na KV, kde jeho vliv může eliminovat zmenšení kapacity sériového oddělovacího kondenzátoru. Ladící napětí se na varikap obvykle přivádí přes sériový oddělovací rezistor, který při nesprávné volbě odporu a nevhodném zapojení může zmenšovat provozní jakost laděného obvodu. Tento sériový rezistor R_s se do obvodu transformuje jako paralelní odpor

$$R'_p = R_s (1 + \frac{C_s}{C_D})^2,$$

kde C_s je kapacita sériového oddělovacího kondenzátoru. Vlivem R'_p se jakost

$$Q = \frac{Q_1 \omega_0 C R_p}{\omega_0 C R'_p + Q_1},$$

kde Q_1 je jakost obvodu při $R_s = \infty$ a C je činná kapacita obvodu.

Z toho vyplývá, že R_s je nutné volit co největší. Na druhé straně však přes R_s teče závěrný proud varikapu. I když uvažujeme, že závěrný proud varikapu bude konstantní, není možné zanedbat teplotní závislost proudu přes R_s . Proto je pro R_s vhodné používat rezistory s malým teplotním činitelem, např. s kovovou vrstvou. Rozladění obvodu může při nelineární napěťové závislosti diodového proudu mít za následek usměrnění signálu a tak vznik dodatečného proudu, který na R_s způsobí úbytek napětí, který podstatně změní ladící napětí. Jak již bylo uvedeno, velké napětí signálu způsobuje, že je signál na varikapu usměrněn a způsobí dodatečné rozladění. Proto musíme dbát na to, aby na varikapu nebylo větší efektivní napětí signálu než 200 mV. Obvyklý rozsah ladících napětí varikapů je 0 až 30 V (kromě KB313), u něhož $U_L = 0$ až 8,5 V. Autopřijímačů už je k dispozici z auto-baterie obvykle 12 V, takže pro ladící napětí 30 V je nutné použít měnič napětí. Tyto zdroje ladícího napětí musí mít dobré stabilizované výstupní napětí a minimální zvlnění. Zdrojem ladícího napětí bývá v autopřijímačích obvykle měnič napětí pracující na kmitočtu asi 30 kHz (pravoúhlý průběh). Výšší harmonické kmitočty těchto zdrojů mohou pronikat do vstupních obvodů přijímačů a tvoří s přijímanými signály akustické záznamy v rozsahu DV, SV a KV. Odstranění těchto záznamů vyžaduje důkladné elektrické a magnetické stínění měniče, čímž se komplikuje konstrukční řešení přijímače. Při použití varikapů s ladícím napětím 1 až 8 V uvedené problémy nevznikají.

Má-li přijímač více než jeden vlnový rozsah, je nutné k přepínání rozsahů použít mechanický nebo elektrický přepínač rozsahů. Z mechanických přepínačů to bývají obvykle tlačítkové přepínače Isostat nebo méně často přepínače otočné. Snaha o bezporuchové přepínání rozsahů vede k použití elektronického spínače s diodami nebo tranzistory. Pro rozsahy AM se jako nejvýhodnější ukázala dioda KA261, jejíž odpor v sepnutém stavu při proudu diodou 5 mA je v pásmu SV asi 2,5 až 3 Ω, v pásmu KV 1 až 1,5 Ω. Při návrhu laděných obvodů se musí s těmito odpory počítat, neboť stejně jako sériové odpory varikapů zmenšují jakost laděného obvodu. Při použití pásmové propusti lze splnit požadavky na přijímače první jakostní třídy z hlediska selektivity i potlačení zrcadlových kmitočtů na všech rozsazích. Tak např. v rozsahu KV na kmitočtu 11,8 MHz lze při provozní jakosti $Q_p = 53,5$ potlačit zrcadlové signály o 30 dB.

Pokud chceme ušetřit proud pro spínané obvody, použijeme v nich tranzistory KC238, které splňují stejně jako diody požadavky na spínání při vlnách.

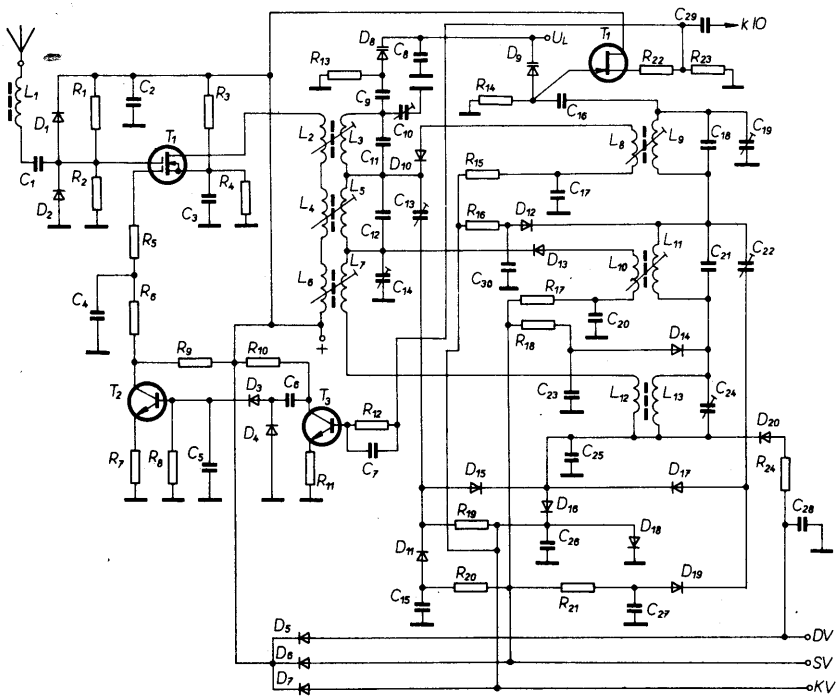
Jak již bylo uvedeno, aby při velkých vstupních signálech nevznikala na varikapech křízová modulace a neposouval se naladěný kmitočet, zapojuje se před vstupní obvod aperiodicky zesilovač s velkou vstupní impedancí a rozsahem regulace AVC alespoň 40 dB. Těmito podminkám vyhovuje MOSFET KF910, který má rozsah AVC asi

$f_0 = 11,8 \text{ MHz}, f_{zr} = 12,71 \text{ MHz}$						
Q	20	25	30	35	40	50
$b_{zr1} \text{ dB}$	9,4	11,4	12,9	14,3	15,4	17,4
$B_1 \text{ kHz}$	590	472	393	337	295	236
$b_{zr2} \text{ dB}$	12,9	16,7	19,9	22,6	24,9	28,8
$B_2 \text{ kHz}$	834	667	556	476	417	333

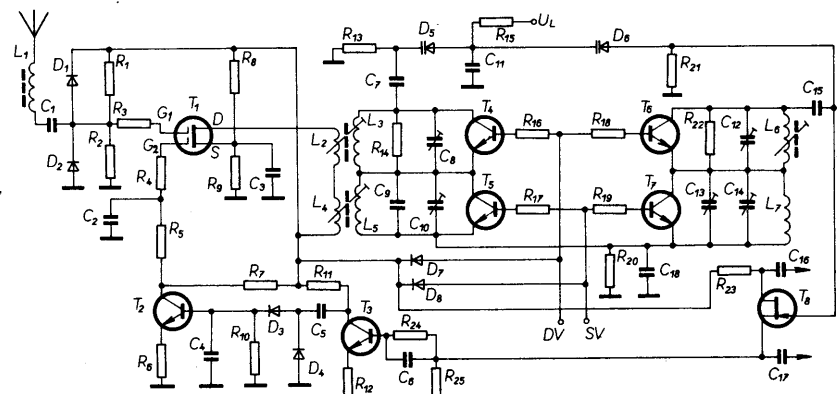
40 dB a „intermodulační“ odolnost asi 50 až 60 dB. K výstupu vstupního obvodu je obvykle připojen speciální IO s malou vstupní impedancí a symetrickým vstupem (A244D, TDA 1046 nebo A4100D). Vzhledem k jejich malé vstupní impedanci je však nutné impedančně přizpůsobit výstup vstupního obvodu (bud' vazebním vinutím nebo emitorovým sledovačem). Při použití vazebního vinutí se vstupní impedance IO transformuje do vstupního laděného obvodu a zhorší jeho provozní činitel jakosti Q_p . Proto se používá většinou emitorový sledovač s tranzistorem FET nebo MOSFET. K tomuto účelu je nejvhodnější FET BF245 (PLR, MLR), který může být zapojen i jako invertor s výstupním děličem napětí pro symetrický vstup IO. Použije-li se KF910, který má malou výstupní impedanci (asi 1 kΩ v rozsazích DV, SV a KV) musí být vstupní obvod připojen na odbočku cívky nebo přes vazební vinutí.

Na obr. 37 je vstupní obvod s pásmovou propustí pro DV, SV a KV, přepínáný diodami. Vstupní signál z autoantény je přes oddělovací tlumivku L_1 a kondenzátor C_1 přiveden na G_2 tranzistor aperiodického předzesilovače, jejíž předpřetí je nastaveno děličem $R_1 R_2$. Diody $D_1 D_2$ omezují velké vstupní signály. Aby se tranzistor T_1 nezníčil, má jeho emitor (elektroda S) pevné předpřetí rezistory $R_3 R_4$. V kolektoru (D) T_1 je zapojeno vazební vinutí primární části pásmové propusti. Při KV pracuje jako vazební vinutí L_2 , při SV vinutí $L_2 L_4$ a při DV vinutí $L_2 L_4 L_6$. Vazební vinutí je nutné, neboť výstupní odpor T_1 je asi 1 kΩ. Při KV se přes $R_{15}, L_8 D_{10}$ připoji primární část pásmové propusti L_3 a napětí z ní se přes vazební cívku L_6 přivede na sekundární část propusti L_9 , která je v uzemněna přes D_{12} a C_{30} . D_{12} se otevře napětím přes R_{16} . Stejněsměrně je obvod pro D_{10} uzavřen přes $L_5 L_7 L_1 D_{18} D_{16}$ a pro D_{12} přes $L_1 L_3 D_{16} D_{18}$. Při SV jsou cívky $L_2 L_4$, $L_3 L_5$ a $L_9 L_{11}$ zapojeny do série a v f signál je z primární části pásmové propusti navázán přes L_{10} na sekundární. Napětím přivedeným na R_{17} se připojí vazební vinutí $SV L_{10}$ přes D_{13} a studený konec L_{10} se v f uzemní přes C_{20} podobně jako při KV přes C_{17} . Protékající proudem se na $D_{16} D_{18}$ vytvoří úbytek asi 1,4 V, který uzavře nefunkční diody. Při SV se přes D_{11} a C_{15} uzemní dodávající kondenzátor C_{13} a přes $D_{15} C_{27}$ kondenzátor C_{22} . Při DV jsou cívky $L_2 L_4 L_6$, $L_3 L_5 L_7$, $L_9 L_{11} L_{13}$ zapojeny do série a v f napětí z primární části se přenáší na sekundární přes vazební cívku L_{12} . Varikapy jsou na primární část navázány přes C_9 a na sekundární přes C_{16} . R_{13} a R_{14} uzavírají ss obvod varikapu. Jejich odpor musí být co největší, aby se nezhoršovala provozní jakost laděného obvodu. Použijí-li se jako $D_8 D_9$ varikapy KB113, je nutné dát vždy dva paralelně, při KB413 postačí vždy jen jeden varikap.

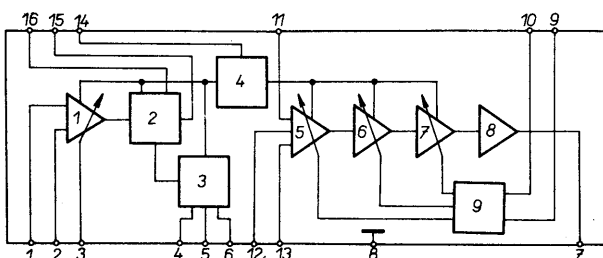
Ze sekundární části pásmové propusti je v f napětí vedeno do emitorového sledovače T_4 , který má v emitoru zapojen dělený emitorový rezistor $R_{22} R_{23}$. Ze spoje těchto dvou rezistorů je v f napětí vedeno jednak na vstup v f zesilovače v IO a jednak přes $C_7 R_{12}$ do v



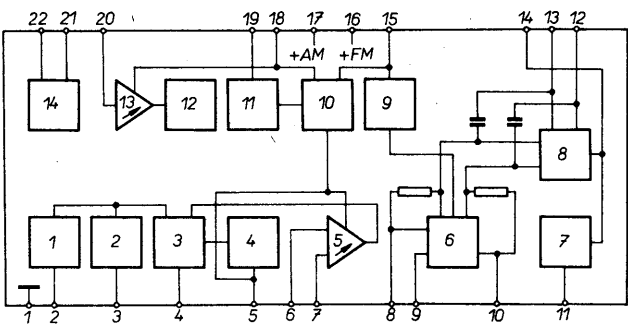
Obr. 37. Zapojení vstupní pásmové propusti pro tři rozsahy (přepínané diodami)



Obr. 38. Zapojení pásmové vstupní propusti pro dva rozsahy (přepínané diodami)



Obr. 39. Blokové schéma A244D, UL1203N



Obr. 40. Blokové schéma A4100D

zesilovače T₃, z jehož kolektoru se vf napětí vede na zdvojovač napětí. Usměrněným napětím je řízen T₂, do jehož kolektoru je přes R₅R₆ pripojena G₁ tranzistoru T₁. Tímto zapojením se řídí v zisk T₁ v rozsahu asi 40 dB. Jak je zřejmé z obr. 37, vazba na IO je nesymetrická, tzn., že jeden ze vstupů vf zesilovače v IO je třeba pro střídavé napětí uzemnit.

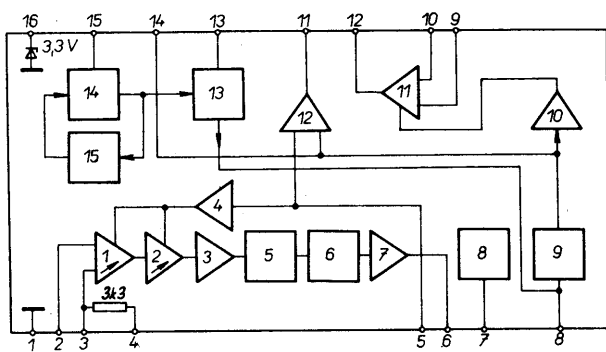
Na obr. 38 je zapojení vstupních obvodů s pásmovou propustí pro rozsah DV a SV. K přepínání rozsahů jsou použity jako spínací prvky tranzistory. VF signál je z autoantény přiveden přes oddělovací tlumivku L₁ a kondenzátor C₁, a rezistor R₃ na G₁ vf aperiodického předzesilovače T₁. Diodami D₁D₂ je omezen velký vstupní signál. Rezistor R₁, R₂ je nastaveno předpětí G₁ tranzistoru T₁, který pracuje jako regulovatelný zesilovač, u něhož je regulační napětí závislé na velikosti vf signálu, který je odebrán z emitoru T₈ přes C₆R₂₄, zesílen v T₃ a usměrněn zdvojovačem napětí D₃D₄. Usměrněným napětím je otvářen T₂, v jehož kolektoru je přes R₄R₅ pripojena G₂ tranzistoru T₁. V kolektoru (D) T₁ je zapojena vazební cívka L₂ pro SV a v sérii s ní vazební cívka L₄ primární části pásmové propusti. Při DV je sepnut T₄, který zkratuje cívku L₃, takže ve funkci zůstává cívka DV L₅, jejíž studený konec je pro střídavý proud uzemněn přes C₁₈. Tento kondenzátor zároveň zabezpečuje prudkovou střídavou vazbu na sekundární obvod L₇ (proudová vazba ve studeném konci vinutí). Současně s T₄ je sepnut i T₆, který zkratuje sekundární obvod L₆ pro SV. Při SV je naopak zkratována tranzistory T₅T₇ pásmová propust L₅L₇, takže ve funkci zůstává pásmová propust SV, L₂L₃L₆. Na primární vinutí pásmových propustí je přes C₇ pripojen variátor D₅ a na sekundární přes C₁₅ variátor D₆ a invertor napětí T₈, z jehož kolektoru se odebrává přes C₁₆ vf napětí na jeden vstup symetrického vf zesilovače v IO a z emitoru přes C₁₇ na jeho druhý vstup. Zároveň se z emitoru T₈ odebrává vf napětí pro obvod automatického vyrovnaní citlivosti (zisku).

Integrované obvody pro AM (FM)

Jak jsme již uvedli, za vstupními obvody bývá zapojeno speciální integrovaný obvod. V RVHP jsou pro tento účel vyráběny IO A244D, A4100D, TDA1046 a UL1220M, UL1203N, UL1204N.

Vnitřní blokové zapojení IO A244D, UL1203N je na obr. 39, IO A4100D na obr. 40, IO TDA1046, UL1204N na obr. 41 a IO UL1220N na obr. 42. IO A244D, UL1203N je sestaven z těchto funkčních bloků: 1 – řízený vysokofrekvenční zesilovač, 2 – směšovač, 3 – oscilátor, 4 – stabilizátor napájecího napětí, 5 a 6 a 7 – řízené mf zesilovače, 8 – neřízený mf zesilovač, 9 – zesilovač AVC a výstup pro indikátor síly pole.

Na obr. 40 je blokové schéma IO pro přijímač AM, FM s detektorem FM a obvo-



Obr. 41. Blokové schéma TDA1046, UL1204N

dem ADK. IO je tvoren témoto funkčními bloky: 1 – oscilátor AM se stabilizátorem oscilačního napětí, 2 – oddělovací stupeň oscilačního obvodu pro připojení digitální stupnice, 3 – směšovač AM, 4 – usměřovač napětí AVC, 5 – výstup předzesilovače AM, 6 – zesilovač FM a omezovač, 7 – obvod ADK, 8 – detektor FM, 9 – součetový obvod indikátoru sily pole při AM a FM, 10 – regulační zesilovač AVC při AM, 11 – třístupňová aktivní dolní propust s $f = 5$ kHz, 12 – detektor AM, 13 – regulovatelný mf zesilovač AM, 14 – stabilizátor napájecího napětí.

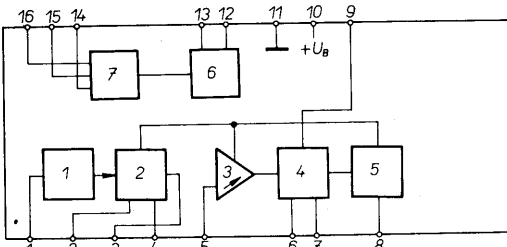
Na obr. 41 je zapojení IO TDA1046 (RSR) a UL1204N (PLR) s témoto funkčními bloky: 1, 2 – regulovatelný mf zesilovač, 3 – neregulovatelný mf zesilovač, 4 – regulační zesilovač pro mf zesilovač, 5 – detektor, 6 – dolní propust do 5 kHz, 7 – předzesilovač nf, 8 – stabilizátor napětí, 9 – detektor výstupní pro regulační zesilovače, 10 – regulační zesilovač pro výstup předzesilovače, 11 – výstup předzesilovače, 12 – zesilovač indikátoru sily pole, 13 – směšovač, 14 – oscilátor, 15 – stabilizátor amplitudy oscilačního napětí.

Na obr. 42 je blokové zapojení UL1220N (PLR), který představuje kombinovaný jednoduchý obvod pro AM a FM. V IO jsou funkční bloky: 1 – oscilátor AM, 2 – výstup předzesilovače a směšovače AM, 3 – regulovaný mf zesilovač AM, 4 – detektor AM, 5 – zesilovač AVC, 6 – detektor FM, 7 – mf zesilovač FM a omezovač.

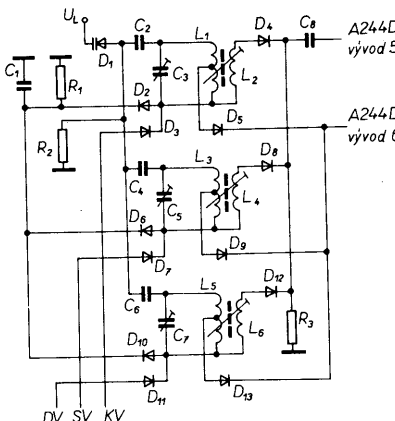
V tab. 8 jsou hlavní parametry uvedených integrovaných obvodů. Obvody můžeme rozdělit do skupin podle několika hledisek – oddělený výstup předzesilovače od směšovače mají IO TDA1046, UL1204N; neoddělený výstup předzesilovače mají IO A244D, UL1203N, A4100D a UL1220N. Dalším hlediskem je způsob připojení oscilačního obvodu a regulovatelného oscilačního obvodu. U IO A244D, UL1203N a UL1220N se obvod oscilačního obvodu připojuje vazebním vinutím, kdežto u A4100D, TDA1046 a UL1204 je oscilační obvod tak, že je možné použít laděný obvod bez odběček a vazebního vinutí a oscilační napětí reguluje IO. Tyto obvody jsou výhodné při použití varikapu jako ladícího prvku. Posledním hlediskem pro použití IO je hledisko nutnosti připojit detekční obvod. Detekční obvod je nutné připojit k A244D, UL1203N a k UL1220N. Ostatně uvedené obvody mají detektor vnitřní, který je doplněn dolní propustí do 5 kHz.

Jak jsme již uvedli, IO TDA1046 a UL1204N mají oddělený výstup předzesilovače, takže je možné zapojit mezi předzesilovač a směšovač laděný výstup obvodu. Toho se však v praxi málo využívá, neboť podstatně lepších výsledků pokud jde o selektivitu lze dosáhnout použitím pásmové laděné vstupní propusti.

U superhetu je pro příjem vysílačů třeba místní oscilační obvod, jehož signál spolu se vstupním signálem vytváří ve směšovači mezifrekvenční signál. Na obr. 43 až 46 je zapojení několika typů obvodu oscilačního obvodu bud pro tři nebo dvě rozhlasová pásma:

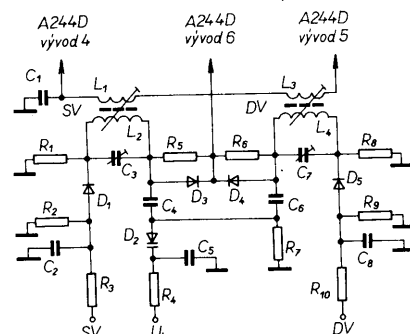


Obr. 42. Blokové schéma UL1220N



Obr. 43. Zapojení oscilačního obvodu pro tři vlnové rozsahy a A244D

obvody se přepínají diodami a jsou laděny varikapem. Jakost obvodů by měla být co nejvíce, aby oscilační obvod nevyvazoval. Z obrázku je zřejmé, že součástí oscilačního obvodu je cívka, doladovací kondenzátor, obvykle zapojený paralelně k cívce, souběžný (paddingový) kondenzátor, varikap a spínací diody. Podle zapojení oscilačního obvodu má cívka buď vazební vinutí a někdy i odbočku (obr. 43, 44), nebo je zhotovena jako jednoduchá (obr. 45, 46). Činitel jakosti cívky je rozhodujícím činitelem pro jakost celého laděného obvodu. Jakost obvodu zhorší jednak variaky a jednak diody použité pro spínání jednotlivých rozsahů. Zhoršení jakosti variaky není tak podstatné, protože do série s ním bývá zapojen obvykle souběžný kondenzátor, jehož jakost je dána použitým materiálem. Pro souběžný kondenzátor používáme obvykle kondenzátory keramické, fóliové nebo slídové. Volbou materiálu můžeme kompenzovat částečně teplotní činitel



Obr. 44. Oscilační obvod pro dva rozsahy a A244D

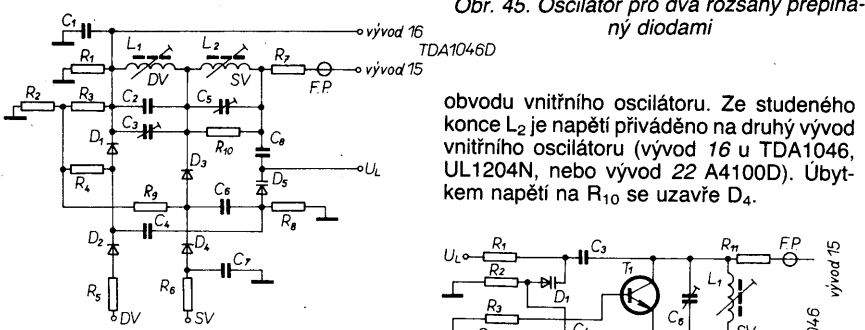
cívky a paralelního doladovacího kondenzátoru, případně i spínacích diod.

Spínací diody rozsahů mají stejný řez na jakost oscilačního obvodu jako na obvod vstupní a jejich sériový odporník se transformuje do oscilačního obvodu. Doladovací kondenzátor může být sestaven z pevného a z proměnného kondenzátoru (kapacitního trimru). Volbou materiálu doladovacího kondenzátoru lze kompenzovat teplotní součinitel laděného obvodu a to tak, aby kmitočet oscilačního obvodu co nejméně závisel na teplotě. Zejména u autopríjímačů, u nichž se předpokládá velký rozsah provozních teplot, je nutné této otázce věnovat náležitou pozornost. Abychom dosáhli co nejlepšího souběhu po celém rozsahu, musíme věnovat náležitou pozornost i volbě kapacity souběžového kondenzátoru.

Na obr. 43 je zapojení obvodu oscilačního DV, KV a SV vhodného pro připojení k IO A244D, UL1203N a UL1220N. Ve funkci je vždy jen jeden z laděných obvodů, příslušející oscilačnímu daného vlnového rozsahu. Vzhledem k tomu, že poměr přeladění je menší než u obvodů vstupních, postačí při použití KB113 jen jeden varikap. Při výpočtu souběhu je však nutné dosazovat do vzorce pro výpočet jen kapacitu varikapu použitého v oscilačním obvodu při daných ladících napětích, která odpovídají kmitočtům souběhu. Tyto kapacity je nutné zjistit z charakteristik. Při DV se napětím přivedeným na vývod DV sepnou D₁₁, D₁₀, které v přes C₁ uzemní studený konec cívky L₅-L₆ a úbytkem napětí na R₁ se uzavřou diody D₂-D₆ a tak odpojí obvody L₁ a L₃ od varikapu D₁. Stejným napětím se sepnou diody D₁₂ a D₁₃. Otevřenou diodou D₁₃ se odbočka cívky L₅ připojí na vývod 6 A244D a uzavřou se diody D₅-D₉. Vazební vinutí L₆ se k vývodu 5 A244D připojí přes diodu D₁₂ a kondenzátor C₈. Proudem přes R₃ se vytvoří na R₃ úbytek napětí, který uzavře diody D₄ a D₈ a tak odpojí vazební vinutí L₂ a L₄. Při přepnutí na rozsah SV protéká diodou D₇ proud do diod D₆-D₈ a D₉. Úbytkem napětí na R₁ se uzavřou diody D₂ a D₁₀ a přes diodu D₆ se výstupem R₃ přes cívku L₃. Z její odbočky se přes D₉ přivádí napětí na vývod 6 A244D a uzavírají se diody D₅ a D₁₃. Vazební vinutí L₄ se k IO připojí před D₈ a úbytkem napětí na R₃ se uzavřou D₄ a D₁₂. Na rozsahu KV se napětím na vývod KV přes D₃ sepnou diody D₂-D₄-D₅. Přes D₂ se uzemní cívka L₁ a L₂ přes C₁. Úbytkem napětí na R₁ se uzavřou D₆ a D₁₀. Přes D₅ se připojí napájecí napětí na vývod 6 IO a uzavřou se D₉-D₁₃. Přes D₄ se připojí zpětnovazební vinutí L₂ k IO a úbytkem na R₃ se uzavřou D₈ a D₁₂, takže obvody DV a SV jsou odpojeny od IO. Rezistorem R₂ se uza-

Tab. 8. Přehled hlavních parametrů IO pro mf zesilovač AM (FM)

Typ Parametr	A244D UL1203N	A4100D	TDA1046 UL1204N	ULA1220N
Napájecí napětí / V	4,5 až 15	4,5 až 15	8 až 18	4 až 16
f_{vst} MHz	0 až 50	0,1 až 30	0 až 30	0 až 30
f_{osc} MHz	0 až 50,5	0,5 až 30	0,5 až 31	0 až 30
f_{mf} MHz	0 až 2	0,2 až 0,7	0,2 až 1	0,2 až 1
Napájecí proud / Napájecí napětí / V	10,5/9	12/10	20/10	9/9
Rozsah AVC dB pro změnu $U_{\text{vyst}} = 6$ dB	65	70	85	60
U_{vst} mV pro $s + \dot{s}/s = 26$ dB	7	15	14	25
U_{vyst} mV pro $U_{\text{vst}} = 1$ mV a $m = 0,3$	100	60	300	80
Z_{vst} k Ω /pF sym. vstup nesym. vstup	4,5/1,5	2,2/1,5	4/5	3,3/3
Z_{vst} k Ω /pF	3/3	3,3	100	100
Z_{vst} k Ω /pF směšovače	250/4,5	3,3	3,3/3	3,3/3
Z_{vst} k Ω /pF mf	3/3	3,3	3,3	3,3/3
U_{vyst} ef. indik. sily pole pro maximální	600	2500	3000	3000
U_{osc} (na vývod) V	0,2 až 0,8 (5)	0,1 (2)	0,35 (16)	0,35 (16)



Obr. 45. Oscilátor pro dva rozsahy přepínaný diodami

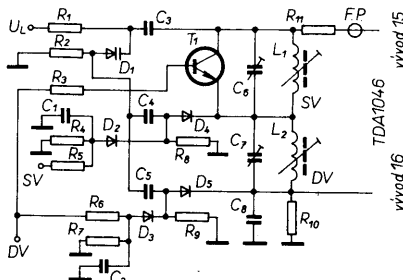
vírá stejnosměrný obvod varikapu D₁. Jeho odporník je nutné volit jako kompromis mezi maximálním zhoršením činiteli jakosti laděného obvodu a potřebnou velikostí úbytku napětí způsobeného protékajícím závěrným proudem varikapu, tzn., že z hlediska zhoršení činiteli jakosti obvodu by měl být co největší a z hlediska závěrného proudu varikapu co nejmenší, aby úbytek napětí na něm byl co nejmenší, prakticky nulový. Kondenzátory C₂–C₄–C₆ jsou souběžové kondenzátory a C₃–C₅–C₇ jsou dodávací kondenzátory. Vývod 4 A244D se v tomto zapojení uzemní v přes kondenzátor asi 100 nF.

Jiná varianta zapojení oscilačního obvodu vhodného pro A244D, UL1203N a UL1220N pro dvourozsažový přijímač (DV a SV) je na obr. 44. Při připojení napětí na vývod SV se přes dělič R₂–R₃ a D₁ v uzemní přes C₂ studený konec cívky L₂ a přes D₃ se připojí napájecí napětí na vývod 6 A244D. Vazební vinutí L₁ se na vývod 5 připojí přes vazební vinutí L₃ DV. Přes souběžový kondenzátor C₄ se cívka L₂ připojí k varikapu D₂, jehož závěrný proud teče přes R₇. Napětí na vývodu 6 IO se uzavře D₄ a přes R₆–R₄ se přes C₈ se v uzemní L₄. Živý konec se přes D₄ připojí k vývodu 6 IO a přes C₆ k varikapu. Zpětnovazební vinutí L₃ je opět v sérii se zpětnovazebním vinutím L₁, SV.

Na obr. 45 je zapojení obvodu oscilačního pro DV a SV, který je vhodný pro IO TDA1046, UL1204N a A4100D. Tyto IO mají vestavěný regulační obvod pro stabilizaci amplitudy napětí oscilačního obvodu, takže to je v pásmu konstantní a zajišťuje téměř konstantní citlivost v celém přijímaném pásmu. Při připojení napětí na vývod DV jsou cívky L₁ a L₂ zapojeny do série. Přes D₁ se souběžový kondenzátor C₄ připojí ke studenému konci cívky L₁ a úbytkem napětí na R₁ se uzavře D₃. Živý konec L₂ je přes C₈ připojen k varikapu D₅ a přes oddělovací rezistor R₇ a feritovou perlu FP, zabraňující nežádoucím výkmitům, na vývod 15 TDA1046, UL1204N, nebo vývod 2 IO A4100D. Vysokofrekvenčně je oscilační obvod uzemněn přes C₁ a studený konec cívky je připojen na vývod 16 u TDA1046, UL1204N nebo 22 u A4100D. Při SV se souběžový kondenzátor C₆ připojí do studeného konce cívky L₂ přes D₃ a úbytkem napětí na R₁ se uzavře D₁, takže L₁ pracuje v daném případě jako tlumivka.

Na obr. 46 je jiný typ oscilačního obvodu pro DV a SV, který lze použít u TDA1046, UL1204N a A4100D. Při SV napětí z vývodu SV se přes R₅ přivede napětí na D₂ a přes D₄ se souběžový kondenzátor C₄ připojí na studený konec cívky L₁. Živý konec L₁ je přes R₁₁ a FP veden na vývod 15 TDA1046, UL1204N, nebo na vývod 2 A4100D. Úbytkem napětí na R₁₀ se uzavře D₅ a odpojí obvod DV. Cívka L₂ pracuje v tomto případě jako tlumivka. Při sepnutí DV se napětí přes R₆ otevřou D₃ a D₅, přes D₅ se připojí souběžový kondenzátor C₅ do studeného konce L₂ a současně se sepne tranzistor T₁, který zkratuje obvod L₁–C₆, takže živý konec cívky L₂ je přímo připojen přes R₁₁ a FP do

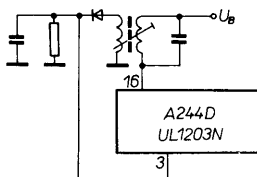
obvodu vnitřního oscilačního obvodu. Ze studeného konce L₂ je napětí přiváděno na druhý vývod vnitřního oscilačního obvodu (vývod 16 u TDA1046, UL1204N, nebo vývod 22 A4100D). Úbytkem napětí na R₁₀ se uzavře D₄.



Obr. 46. Oscilátor pro dva rozsahy přepínaný diodami a tranzistorem

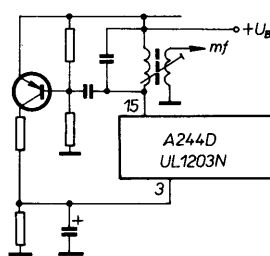
Vstupní signál je u IO z tab. 8 přiváděn do regulovaného výstupu směšovače a odtud do směšovače, kam je přiváděn i signál oscilačnímu obvodu, takže na výstupu směšovače je mf signál. U A244D, UL1203N je možné regulovat výstup směšovače třemi způsoby:

- do kolektoru směšovače (vývod 15 IO) se zapojí laděný obvod, jehož sekundární napětí se usměrní diodou a po filtraci přivede na vývod 3 IO. Zapojení tohoto obvodu je na obr. 47;



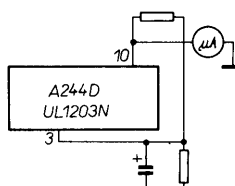
Obr. 47. Obvod AVC k regulaci zisku výstupu předzesilovače

- do kolektoru směšovače (vývod 15 IO), kam je připojen mf filtr, připojíme přes kondenzátor s malou kapacitou tranzistor p-n-p a jeho kolektor připojíme přes oddělovací rezistor na vývod 3 IO. Paralelní obvod RC na vývodu 3 určuje časovou konstantu regulace. Zapojení tohoto způsobu regulace je na obr. 48;



Obr. 48. Obvod AVC s tranzistorem

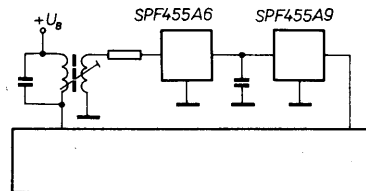
- při třetím způsobu regulace propojíme výstup indikátoru síly pole (vývod 10 IO) přes rezistor s vývodom 3 IO (obr. 49).



Obr. 49. Regulace zisku výstupu předzesilovače z výstupu pro indikátor síly pole

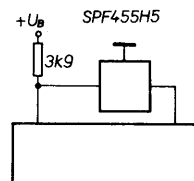
V posledních dvou případech je kolektor směšovače (vývod 16 IO) spojen přímo s napájecím napětím. U této IO je jako v předzesilovač použit diferenční zesilovač, takže vstupní obvod je možné připojit buď symetricky mezi vývody 1 a 2 IO nebo nesymetricky, a to tak, že jeden z těchto vývodů je uzemněn kondenzátorem. U A4100D, TDA1046, UL1204 a UL1220 je výstup IO na výstup směšovače připojen usměrňovač mf signálu, jehož výstup je veden na regulační vstup výstupu mf zesilovače. Časová konstanta regulačního obvodu je nastavována vnějším kondenzátorem, připojeným na vývod 5 u A4100D, na vývod 14 u TDA1046 a UL1204N a na vývod 8 u UL1220.

Jak již bylo uvedeno, na výstupu směšovače je k dispozici mf signál. Mezi výstup směšovače a vstup mf zesilovače je nutné zapojit filtr soustředěné selektivity, neboť jiná možnost u uvedených IO není. Na obr. 50 je příklad zapojení filtru soustředěné selektivity (FSS) s keramickými filtry SPF455A6 a SPF455A9 z NDR. Kromě nich



Obr. 50. Filtr soustředěné selektivity s dvěma keramickými filtry

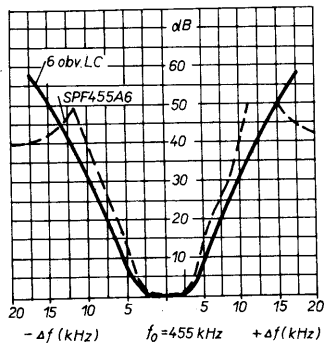
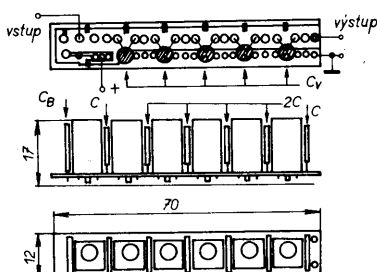
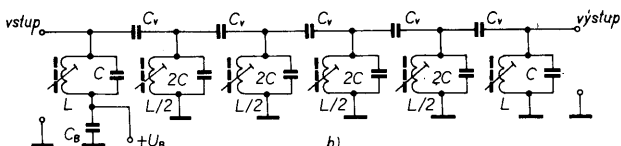
je možné v tomto zapojení použít i keramické filtry SPF455B6. Vzhledem k tomu, že impedance těchto filtrů je asi 3 kΩ a výstupní impedance směšovače 100 až 250 kΩ, je nutné mezi výstup směšovače a vstup FSS zapojit laděný obvod s vazebním vinutím s převodem asi 3 až 4:1. Výstup filtru může být připojen na vstup mf zesilovače. V NDR je v prodeji nový typ FSS SPF455H5, který je schopen nahradit předchozí FSS typu SPF při zachování nebo zlepšení všech parametrů. Zapojení tohoto filtru mezi výstup směšovače a vstup mf zesilovače je na obr. 51.



Obr. 51. Filtr soustředěné selektivity s jedním keramickým filtrem

Vidíme, že SPF455H5 je zapojen přímo na výstup směšovače. Toto zapojení není z hlediska dosažitelných parametrů optimální a je proto lepší použít zapojení z obr. 50, tj. nahradit filtry SPF455A6 a SPF455A9 filtrem SPF455H5. Pokud nejsou k dispozici keramické filtry, je možno je nahradit keramickým FSS podle obr. 52, sestaveným ze šesti laděných obvodů a pěti vazebních kondenzátorů. Při činiteli asi 60 lze s tímto filtrem dosáhnout přibližně shodných výsledků jako s keramickými filtry. Přizpůsobit filtr ke vstupu mf zesilovače lze odbočkou na poslední cívku asi v jedné desetičné závitě nebo kapacitně děličem s poměrem 1:10.

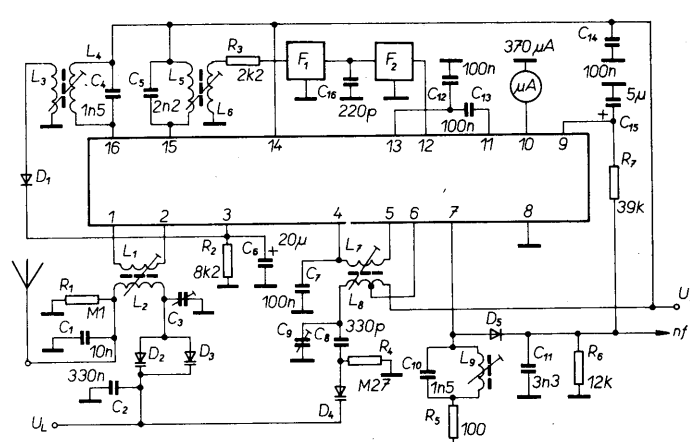
Výstup ze směšovače je u A244D, UL1203N na vývodu 15, u A4100D na vývodu 4, u TDA1046, UL1204N na vývodu 8 a u UL1220N na vývodu 3. Vstup mf zesilovače je u A244D, UL1203N na vývodu



Obr. 52. Zapojení šestiobvodového filtru LC soustředěné selektivity a jeho charakteristiky propustnosti; $C = 165 \text{ pF}$, $C_v = 5 \text{ pF}$, oba $\leq 5\%$, $2C = 330 \text{ pF}$, $L/2 = 370 \mu\text{H}$, $Q_0 \geq 68$, $B_3 \text{ dB} = 8,7 \text{ kHz}$, $B_{42} \text{ dB} = 17,4 \text{ kHz}$, $Z_{vst} = 57 \text{ k}\Omega$, základní útlum 14 dB , $L = 187$ závitů drátu o $\varnothing 0,056 \text{ mm CuU}$, $L/2 = 130$ závitů stejným drátem

12, u A4100D na vývodu 20, u TDA1046, UL1204N na vývodu 3 a u UL1220N na vývodu 5. Mf zesilovač je v uvedených IO buď čtyřstupňový nebo třístupňový, přičemž poslední stupeň mf zesilovače je neregulovaný a ostatní bývají regulovatelné, takže výstupní napětí mf zesilovače se mění jen v malých mezích. Vývod z mf zesilovače je u A244D, UL1203N na vývodu 7, kam připojujeme detekční obvod. Zapojení detektoru s diodou je na obr. 53 a s tranzistorem na obr. 54. Na obr. 53 je k výstupu mf zesilovače připojen laděný obvod L_1C_1 , jehož činitel provozní jakosti (má být 17) je upraven rezistorom R_1 . Diodou D_1 je detekován modulovaný signál AM. Detektor pracuje do rezistoru R_3 . Vf složka detekovaného signálu je odfiltrována kondenzátorem C_3 . Stejnosměrná složka detekovaného signálu se využívá pro obvod AVC a je přiváděna přes R_2 na výstup zesilovače AVC (vývod 9). Výstup zesilovače AVC řídí první tři stupně mf zesilovače a napájí indikátor síly pole na vývodu 10 IO. Kondenzátorem C_2 je určena časová konstanta obvodu AVC (R_2, C_2).

V zapojení na obr. 54 je modulovaný mf signál přes L_1 a L_2 přiveden na detektor s tranzistorem v zapojení se společným kolektorem. Pracovní bod detektoru je nastaven rezistorom R_1R_2 . Detekovaný signál je z emitoru T_1 veden jednak přes C_6 do dolní propusti s mezním kmitočtem 5 kHz a jednak stejnosměrná složka detekovaného signálu se přes R_3 vede na vstup zesilovače AVC. Časová konstanta obvodu AVC je určena



GA206

3xKB113

A244D,UL1203N

GA202

Obr. 56. Zapojení přijímače s A244D nebo UL1203N

článkem R_3, C_4 . Vf složka detekovaného napětí je filtrována kondenzátorem C_3 .

Dolní propust je zapojena jako aktivní filtr typu dvojitý T. Pracovní bod T_2 je nastaven rezistorom $R_6R_7R_{13}R_{11}$. Článek dvojitý T, $R_8R_{12}C_{10}, C_7C_8R_9$, je zapojen mezi bází a emitem T_2 . Vzhledem k použitému typu filtru je nutné do kolektoru T_2 zapojit kondenzátor C_9 , kterým jsou potlačovány kmitočty nad 5 kHz. Dolní propust potlačuje hvizdy vznikající interferencí blízkých vf signálů.

U UL1220N je detekční obvod připojen mezi vývody 6 a 7 a detekovaný nf signál je na vývodu 9. Detekční obvod má vyveden střední vývod. Z výstupu vnitřního detektora je odebráno ss napětí pro obvod AVC. Zapojení tohoto detekčního obvodu je na obr. 55.

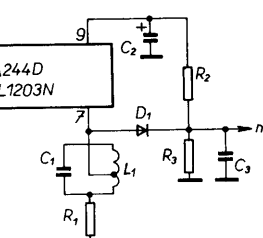
U A4100D, TDA1046 a UL1204N je detektor součástí IO a nepotřebuje žádný vnější laděný obvod. Za detektorem je v IO zapojena dolní propust s mezním kmitočtem asi 5 kHz. Z výstupu propusti je jednak ss slož-

kou detekovaného signálu řízen zesilovač AVC, z něhož je dále řízen mf a vf zesilovač a na jeden jeho výstup je připojen indikátor síly pole, a jednak je vyveden buď přes předzesilovač nebo přímo nf signál. U TDA1046, UL1204N je to na vývodu 6 a u A4100D na vývod 19. Kondenzátor určující časovou konstantu AVC je u TDA1046, UL1204N připojen na vývod 5 a u A4100D na vývod 18. Výstup pro indikátor síly pole je u TDA1046, UL1204N na vývodu 11 a u A4100D na vývodu 15.

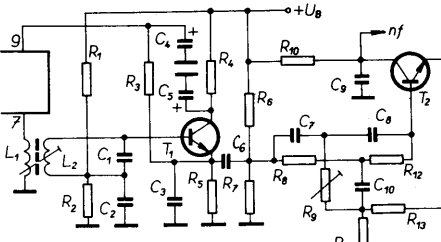
Dále si všimneme základních zapojení IO pro AM (uvedených v tab. 8), doporučených výrobcem. Na obr. 56 je základní zapojení A244D a UL1203N. Vstupní signál je přiveden na vstupní laděný obvod $L_2C_3D_2D_3$ do jeho studeného konce. Přes R_1 je uzavřen ss obvod varikapů D_2D_3 . Přes vazební symetrické vinutí L_1 je signál veden do vf zesilovače, který má vlastní obvod regulační AVC. Signál pro tento obvod AVC je odebrán z výstupu směšovače (vývod 16) a je veden na laděný obvod L_4C_4 , naladěný na mf kmitočet. Signál z vinutí L_3 je usměrněn diodou D_1 a přiveden na regulační vstup vf zesilovače (vývod 3). Rezistor R_2 spolu s C_6 určuje časovou konstantu obvodu AVC, která je zhruba stejná jako časová konstanta obvodu AVC pro mf zesilovač. Signál z vf zesilovače je veden do směšovače, kam je přiveden signál z místního oscilátoru ($L_7-L_8C_9C_6D_4R_4$), který je vyveden na vývody 4, 5 a 6. Kondenzátor C_9 je dolaďovací, C_8 souběžový a rezistor R_4 uzavírá ss obvod varikapu D_4 . Přes zpětnovazební vinutí L_7 je oscilátor navázán na laděný obvod oscilátoru. Vazební vinutí je vf uzemněno přes C_7 . Z výstupu směšovače (vývod 15) je mf signál veden přes laděný obvod L_5C_5 a vazební vinutí L_6 přes R_3 na FSS, sestavený z keramického filtru F_1 (SPF455A6 – modrý) a F_2 (SPF455A9 – červený). Rezistorom R_3 je impedančně přizpůsoben filtr soustředěné selektivity k vazebnímu vinutí. Kondenzátor C_{16} lze vyrovnat charakteristiku FSS.

Z F_2 je signál veden do čtyřstupňového mf zesilovače, jehož první tři stupně jsou regulovatelné. Z výstupu mf zesilovače (vývod 7) je signál veden na detektor $L_9C_{10}R_5D_5$. Po detekci vznikne nf signál a ss složka, která se využívá k řízení obvodu AVC. C_{11} filtry zbytky mf signálů. Časová konstanta obvodu AVC pro regulaci mf zesilovače je dáná R_7C_{15} . Na jednom z výstupů obvodu AVC je výstup pro indikátor síly pole (S-metr).

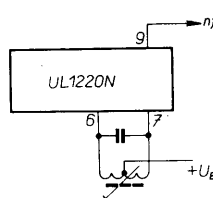
Na obr. 57 je zapojení přijímače AM kombinovaného s mf zesilovačem FM a detektorem FM s A4100D. Popišeme si jen funkci při AM. Obvody FM se budeme zabývat až při popisu přijímačů FM. Vstupní signál z antény je přes C_5 přiveden do studeného konce laděného obvodu $L_4C_{35}D_1$. Závěrný proud D_1 je veden přes R_1 . Vstupní signál je přes



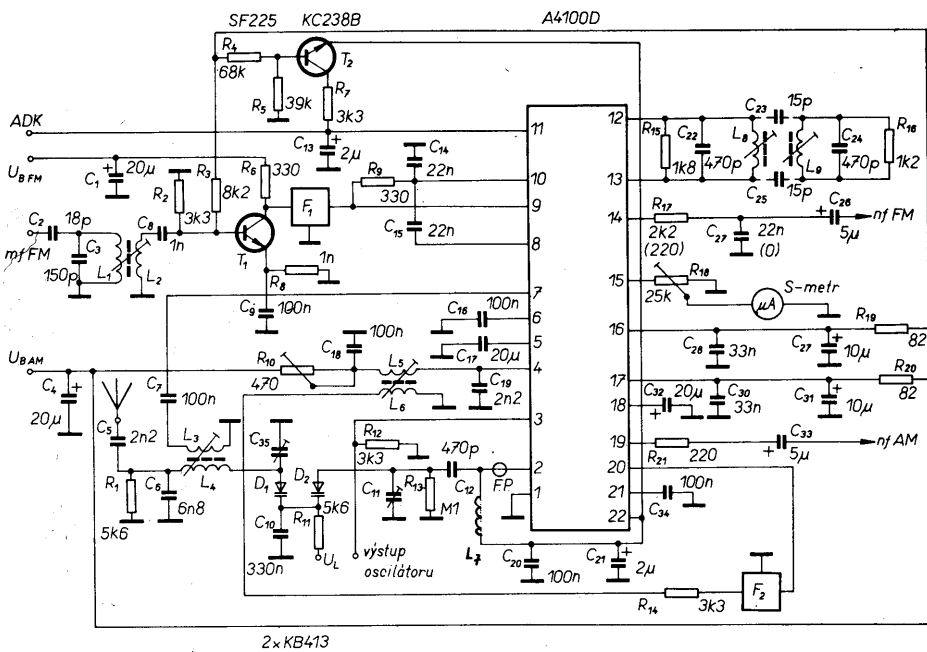
Obr. 53. Zapojení detektoru signálu s diodou



Obr. 54. Zapojení detektoru mf signálu s tranzistorem a dolní propustí



Obr. 55. Zapojení detektoru AM u UL1220N



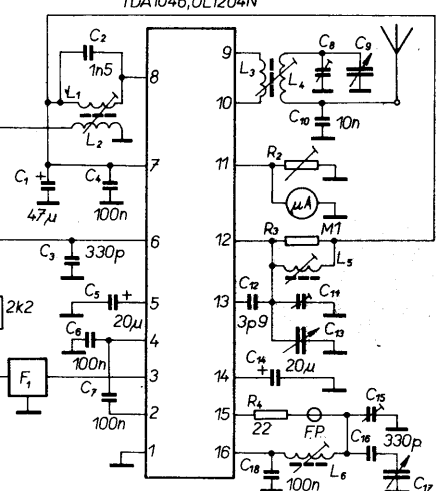
Obr. 57. Zapojení přijímače s A4100D

vazební vinutí L_3 a přes C_7 veden na jeden vstup (7) regulovatelného vf zesilovače. Jeho druhý vstup (6) je vf uzemněn přes C_{16} . Časová konstanta obvodu AVC vf zesilovače je určena kondenzátorem C_{17} . Z výstupu vf zesilovače je signál veden do směšovače, kam je přiváděn i signál místního oscilátoru. Oscilační obvod $L_7C_{12}C_{11}R_{13}D_2$ používá jednoduchou círku. Kondenzátor C_{11} je dodávací, C_{12} souběžný. Přes R_{13} je ss uzavřen obvod varikapu D_2 . Aby vf a oscilační signál nepronikal do ladícího napětí, je použit C_{10} . Feritová perla FP zabraňuje parazitním kmitům a lze ji nahradit rezistorem asi $56\ \Omega$. Druhý konec círky L_7 je připojen na vnitřní stabilizátor napětí. Z výstupu oscilátoru je přes sledovač vyveden signál oscilátoru na vývod 3 IO, lze jej použít pro digitální stupnice. Signál místního oscilátoru je veden do směšovače, kde po smíšení se signálem z vf zesilovače vzniká mf signál, který je jednak veden na vnitřní detektor AVC pro regulaci zisku vf zesilovače a jednak na laděný obvod L_5C_{19} . Rezistorem R_{10} lze v určitých mezích měnit bod nasazení regulace AVC pro vf zesilovač. Přes vazební vinutí L_6 je mf signál veden na filtr F_2 (SPF465H5) a dále do vstupu mf zesilovače. Rezistorem R_{14} je impedančně přizpůsoben laděný obvod $L_5L_6C_{19}$ k filtru F_2 . Mf zesilovač je třistupňový a regulovaný je jen první stupeň. Z výstupu je signál veden do detektoru s tranzistorem se společným kolektorem, který zajišťuje detekovaný signál s malým zkreslením. Za detektorem je zapojena třistupňová aktivní dolní propust s mezním kmitočtem asi $6,5\ kHz$, která nepožírá žádné vnější kondenzátory. Její výstupní odpor je asi $270\ \Omega$. Po demodulaci vzniklé stejnosměrné napětí je přivedeno do zesilovače AVC pro mf zesilovač a dále do slučovacího obvodu indikátoru síly pole. Časovou konstantu obvodu AVC lze měnit kondenzátorem C_{32} . Přes R_{21} a C_{33} je mf signál veden k mf zesilovači. Přijímač je při provozu AM napájen ze svorky U_{BAM} do vývodu 17 přes R_{20} .

Na obr. 58 je zapojení AM přijímače s TDA1046 a UL1204N. Vstupní signál z antény je přiveden do studeného konce vstupního laděného obvodu $L_4C_8C_9$. Přes vazební vinutí L_3 je signál veden na symetrický vstup V_f zesilovače. Z jeho výstupu je signál veden přes druhý vstupní obvod $R_3L_5C_{11}C_{13}$ a z něho přes vazební kondenzátor C_{12} na jeden vstup směšovače. Na jeho druhý vstup je přiveden signál z místního oscilátoru. Os-

cilační obvod $L_6C_{16}C_{17}C_{15}$ je živým koncem přes feritovou perlu FP a R_4 pripojen na vnitřní oscilátor; amplituda kmitů je regulačně na vnitřním regulačním obvodu. Druhý konec oscilačního obvodu je pripojen na vnitřní stabilizátor napětí 3,3 V. Z výstupu směšovače je mf signál uvnitř IO veden na detektor, který řídí regulační obvod vf zesiilovače a z tohoto regulačního zesiilovače je řízen zisk vf zesiilovače. Dále je z výstupu směšovače mf signál veden přes laděný obvod L_1C_2 a vazební vinutí L_2 na keramický filtr F₁ (SPF455H5) a odtud na vstup třistupňového mf zesiilovače, jehož první dva stupně mají regulaci zisku. Z výstupu mf zesiilovače je signál veden do diodového detektoru, dolní propusti s mezním kmitočtem asi 5 kHz a do nf předzesiilovače. Stejnospěrnou složkou detekovaného signálu na výstupu nf předzesiilovače je řízen jednak mf regulační zesiilovač, který řídí zisk prvních dvou stupňů mf zesiilovače, jednak do zesiilovače indikátoru síly pole. Zesiilovač indikátoru síly pole je také buzen z detektoru zapojeného na výstup směšovače. Indikátor síly pole je pripojen na vývod 11 IO. Kondenzátorem C₁₄ je určena časová konstanta AVC obvodu vf zesiilovače a kondenzátorem C₅ časová konstanta obvodu AVC mf zesiilovače. Nf signál se odeberá z vývodu 6 IO. Na vývod 7 IO je pripojen vnitřní stabilizátor napětí, kterým jsou napájeny všechny vnitřní obvody.

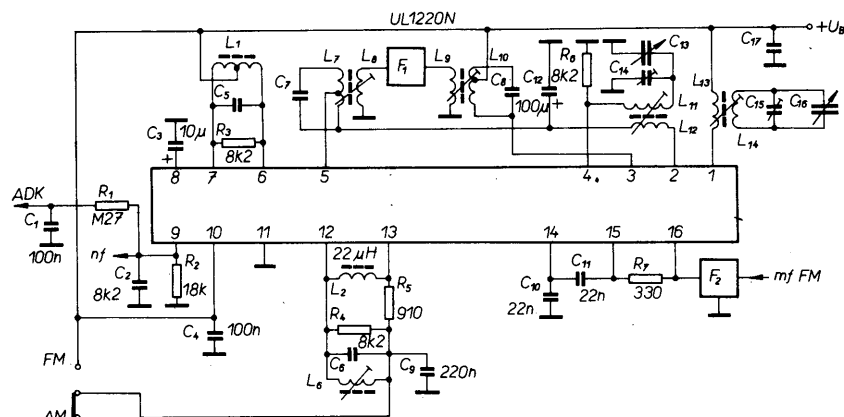
Na obr. 59 je zapojení přijímače AM s mf zesilovačem FM a detektorem FM. V následujícím popisu se budeme věnovat jen části AM, činnost části FM probereme v článku o přijímačích FM. Vstupní signál přijímaný feritovou anténnou $L_{11}C_{13}C_{14}$ je přes vazební vinutí L_{12} přiveden na vstup vf zesilovače a z jeho výstupu do směšovače. Zisk vf zesilovače je řízen z obvodu AVC, jehož časovou konstantu můžeme měnit kondenzátorem C_3 . Do směšovače je přiváděn signál z místního oscilátoru s oscilačním obvodem $L_{13}L_{14}C_{15}C_{16}C_{16}$. Cívka L_{13} je zpětnovazební vinutí. Z výstupu směšovače je mf signál veden na filtr $L_{10}C_8$ a přes vazební vinutí L_9 na keramický filtr F_1 a z něho přes vazební vinutí L_8 na obvod L_7C_7 . Z odbočky cívky L_7 je mf signál veden na vstup regulovaného mf zesilovače a z jeho výstupu na detektor s detekčním obvodem $L_1C_5R_3$. Stejnospřírušná složka detekovaného signálu je vedena na vstup zesilovače AVC, z jehož výstupu je řízen zisk vf zesilovače a mf zesilovače. Detekovaný nf signál je odebírány z vývodu 9 IO.



Obr. 58. Zapojení přijímače s TDA1046 nebo UL1204N

Přijímač pro DV, SV, KV

Na obr. 60 je zapojení třírozsahového přijímače AM pro DV, SV a KV s A244D. Vstupní signál z antény je přes oddělovací tlumík L₁ a kondenzátor C₁ přiveden na G₁, T₁, jejíž napětí je nastaveno rezistory R₁, R₂. Velké vstupní signály jsou omezeny diodami D₁, D₂. Aby se nemohlo zničit T₁, má jeho emitor (S) pevné napětí, dané děličem R₃R₄ a je v řezu uzemněn přes C₂. Do kolektoru je



Obr. 59. Zapojení přijímače s UL1220N

připojeno vazební vinutí primární strany pásmové propusti. Při sepnutí KV se uzemní vý cívka L_2 a kondenzátor C_{11} přes D_7D_8 a C_{23} a průchodem proudu přes $R_{16}R_{17}$ vznikne úbytek napětí, kterým se uzavřou D_9 a D_{10} , takže cívky L_3L_4 pracují jako tlumivky. Signál z L_2 je indukčně přenesen do primárního laděného obvodu pásmové propusti L_5 a přes D_{13} a vazební vinutí L_6 do sekundární části L_{11} laděného vstupního obvodu. Cívka L_{11} je přes $D_{16}C_{46}$ v fuzemněna. Vazba mezi

primární a sekundární stranou vstupního laděného obvodu je indukční, tzn., že cívka L_8 je součástí primárního vinutí, které je v fuzemně přes C_{54} a C_{23} . Kondenzátor C_{23} musí být co nejbližší cívce L_8 . Přes D_{17} je uzemněn trimr C_{15} . Primární vinutí vstupního obvodu je laděno varikapem D_{11} a sekundární varikapem D_{12} . Kondenzátory C_{12} a C_{14} oddělují anody varikapů od ss napěti a přes R_{18} a R_{22} teče závěrný proud D_{11} a D_{12} . Ladící napětí je přivedeno přes R_{23} . Aby v f

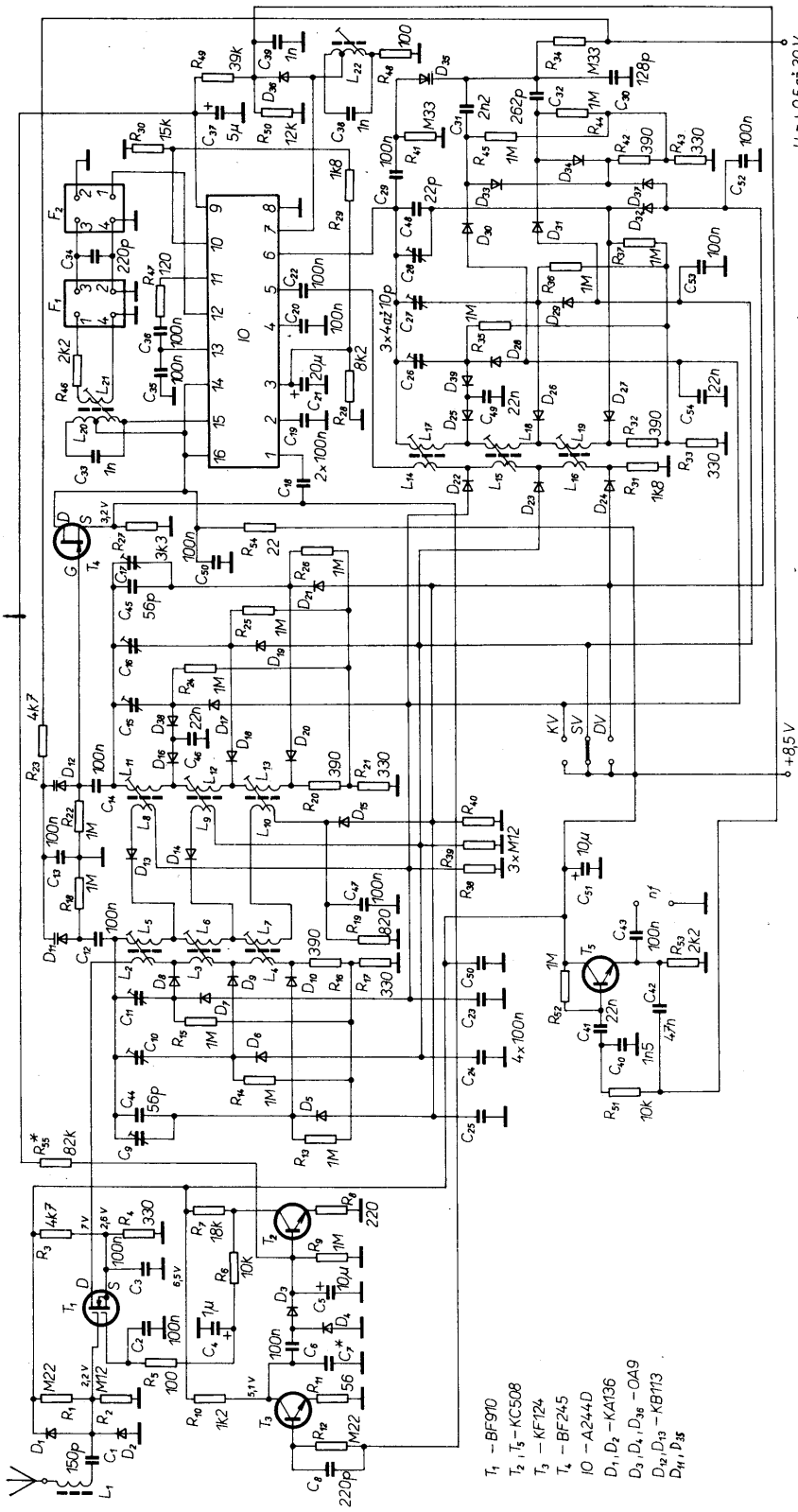
signál nepronikal do ladícího napěti, jsou katody D_{11} a D_{12} uzemněny přes C_{13} . $Z_{L_{11}D_{12}C_{15}}$ je přes C_{14} signál veden do báze T_4 .

Při přepnutí na rozsah SV povedou diody $D_6, D_9, D_{14}, D_{18}, D_{19}$. Diodou D_6 se přes C_{24} v fuzemně C_{10} a D_9 spolu s D_6 uzemní v fuzemně L_3 . Úbytek napěti na $R_{16}R_{17}$ se uzavřou D_8D_{10} , takže na rozsahu SV pracuje L_3 jako vazební vinutí v kolektoru T_1 , cívky L_2, L_4 slouží v tomto případě jako filtrační tlumivky. Signál z L_3 je indukčně přenesen na L_6 a přes D_{14} a vazební vinutí L_9 indukčně na L_{12} . Protože D_{13} je úbytek napěti na R_{19} uzavřena, jsou při SV L_{11} a L_{12} zapojeny do série. D_{16} je uzavřena úbytek napěti na $R_{20}R_{21}$ a proto i L_{11} a L_{12} jsou v sérii. Diódou D_{19} je v fuzemně C_{16} a přes D_{18} studený konec L_{12} .

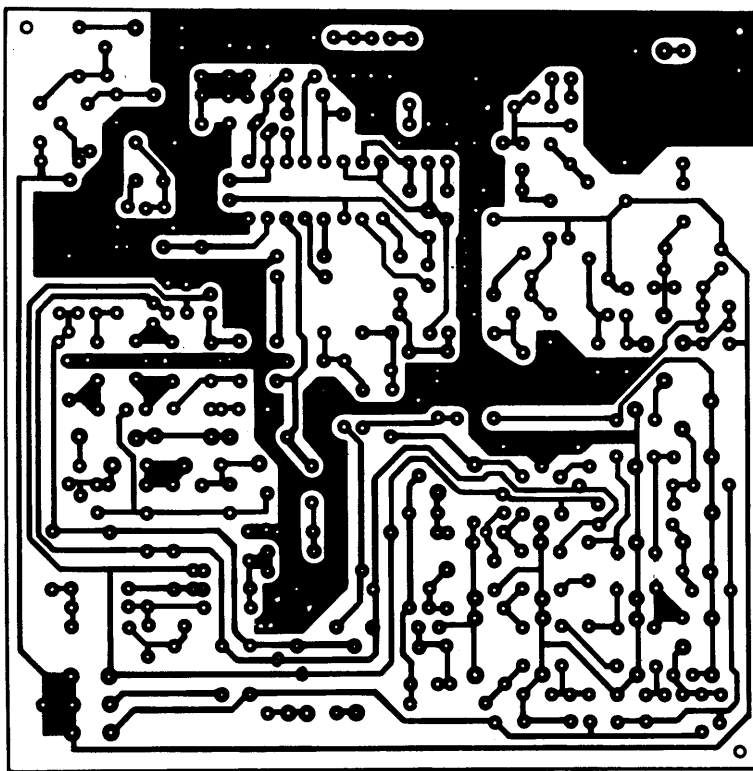
Při přepnutí na DV se otevřou $D_5, D_{10}, D_{15}, D_{20}, D_{21}$ a uzavřou se $D_8, D_9, D_{13}, D_{14}, D_{16}, D_{18}$, takže vazební vinutí do kolektoru T_1 jsou $L_2L_3L_4$, zapojené do série, jakož i $L_5L_6L_7$ a $L_{11}L_{12}L_{13}$. Protože diody $D_{13}D_{14}$ jsou uzavřeny, na DV jako vazební cívka mezi primárním a sekundárním vinutím vstupního filtru pracuje jen L_{10} . Vazební vinutí L_4 je v fuzemně přes D_5D_{10} , cívka L_{10} přes D_{15} a L_{13} přes $D_{20}D_{21}$ a kondenzátor C_{25} . Diódou D_5 je v fuzemně C_9 a diodou D_{21} kondenzátor C_{17} .

Aby se nemuselo použít vazební vinutí k impedančnímu přizpůsobení sekundární cívky a IO, je zapojen T_4 jako emitorový sledovač. Z jeho emitorového rezistoru R_{27} je odebrán jednak signál na v f zesilovač v IO a jednak signál k regulaci tranzistoru T_1 . Tento signál je nejprve zesílen v T_3 , z jehož kolektoru je přes C_6 veden na zdvojovací napěti D_3D_4 . Stejnosměrné napěti zdvojovací je filtrováno C_5 a řídí T_2 , do jehož kolektoru je přes R_6R_5 připojena G_2 tranzistoru T_1 . Casová konstanta tohoto obvodu AVC je určena R_6C_4 . Tím se dosáhlo toho, že se na varikapu dostane jen tak velké v f napěti, které varikap ještě neusměrní. Z R_{27} je signál přes C_{18} veden na jeden vstup v f zesilovače. Jeho druhý vstup je v fuzemně přes C_{19} . Zisk v f zesilovače se reguluje z výstupu indikátoru sily pole přes R_{29} , časová konstanta regulače je dána $R_{28}C_{21}$.

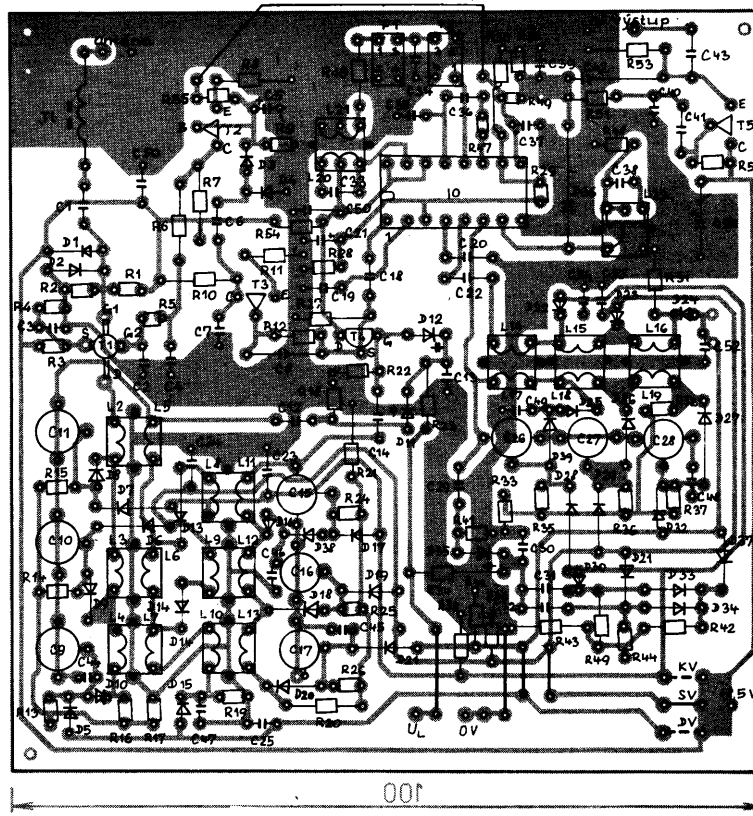
Z v f zesilovače je signál veden do směšovače, kam je přiváděn i signál z místního oscilátoru. Jeden vstup oscilátoru je v fuzemně přes C_{20} , na druhý vstup je přes C_{22} připojeno vazební vinutí. Při KV se sepnou diody $D_{22}D_{25}D_{39}D_{28}D_{30}D_{33}$ a ostatní diody $D_{23}D_{24}D_{26}D_{27}D_{29}D_{31}D_{32}$ a D_{34} budou uzavřeny. Přes D_{22} a C_{23} se v fuzemně zpětnovazební vinutí L_{14} a napětím na R_{31} se uzavřou $D_{23}D_{24}$, takže $L_{15}-L_{16}$ pracují jako tlumivky. Přes $D_{25}D_{39}D_{28}, C_{54}$ a C_{49} se v fuzemně L_{17} a přes D_{39} a C_{49} dodačovací kondenzátor C_{26} . Přes $D_{33}D_{30}$ se připojí souběhový kondenzátor C_{31} . Napětím na $R_{32}R_{33}$ se uzavřou $D_{26}D_{27}$ a napětím na $R_{42}R_{43}$ diody $D_{34}D_{31}$, čímž se odpojí C_{27} a C_{32} . Při SV se sepnou diody $D_{23}D_{26}D_{29}D_{31}D_{34}$ a budou uzavřeny diody $D_{22}D_{24}D_{25}D_{27}D_{28}D_{30}D_{32}$, takže budou odpojeny cívky $L_{16}L_{19}$ a kondenzátory $C_{26}C_{28}$ a C_{31} . Vazební vinutí $L_{14}L_{15}$ se zapojí do série a rovněž i vinutí $L_{17}L_{18}$. Při DV se sepnou diody $D_{24}D_{27}D_{32}$ a D_{37} a uzavřou se diody $D_{22}D_{23}D_{25}D_{28}D_{26}D_{30}D_{31}D_{33}D_{39}$ a D_{34} . Cívky $L_{14}-L_{15}-L_{16}$ se spojí do série, stejně tak cívky $L_{17}L_{18}L_{19}$. Přes D_{32}, C_{25} se uzemní C_{28} a C_{48} . Přes C_{25} a C_{52} je uzemněn i studený konec cívky L_{16} a L_{19} . Ze „živého“ konce cívky L_{17} je napájen vývod 6 IO. Varikap D_{35} je k obvodu připojen přes C_{29} a jeho závěrný proud protéká od zdroje ladícího napěti přes $D_{34}D_{35}aR_{41}$. Rezistory $R_{13}R_{14}R_{15}R_{24}R_{25}R_{26}$ $R_{35}R_{36}R_{37}R_{44}$ a R_{45} je kompenzován závěrný proud spinacích diod. Jeden výstup směšovače je připojen přímo na napájecí napěti IO (vývod 16), na druhý výstup směšovače je připojen mf laděný obvod $L_{20}C_{33}$. Z jeho vazebního vinutí L_{21} je mf signál veden přes



Obr. 60. Zapojení třírozsažového přijímače s A244D

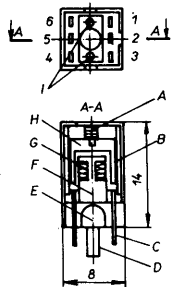


Obr. 61. Deska s plošnými spoji a rozmístění součástek přijímače z obr. 60 (deska X211)



Tab. 9. Parametry tříozsahového přijímače AM

Kmitočet MHz	0,176	0,290	0,52	1	1,62	6	12
U_L V	3,6	29	0,5	12,8	30	2	30
Citlivost pro $s + \hat{s} = 20$ dB μV	150	130	80	48	48	120	30
Výstupní napětí mV	50	55	40	45	45	20	35
Výstupní napětí pro $m = 0,8$, $U_{vst} = 1$ mV mV	152	149	136	140	138	125	125
Výstupní napětí pro $m = 0,3$, $U_{vst} = 2$ mV mV	52	56	51	52	52	52	52
Zkreslení % při $m = 0,3$, $m = 0,8$	5	6	5	6	5	5	6
Potlačení zrcadel dB	4,5	5	10	10	10	10	14
	66	65	60	58	48	17	15



Obr. 62. Zapojení cívek přijímače z obr. 60

R_{46} na filtry F_1 a F_2 , z výstupu F_2 je napájen vstup mf zesilovače. Propustná charakteristika (její vrchol) filtru F_1, F_2 je vyrovnaná kondenzátorem C_{34} . Vzhledem k tomu, že vstup mf zesilovače je symetrický, je nutné druhý vstup uzemnit přes C_{35}, C_{36} . Výstup mf zesilovače (vývod 7 IO) je veden na detekční obvod L_{22}, C_{38}, D_{36} . Na výstupu detektora D_{36} je jednak detekované vf napětí (nf) a jednak ss složka, která je po filtrace C_{39} vedena přes R_{49} na vstup zesilovače AVC, jehož časová konstanta je určena C_{37} . Z jednoho výstupu pro indikátor síly pole (vývod 10 IO) je přes R_{29} získán zisk vf zesilovače v IO. Z pracovního rezistoru R_{50} detektoru je nf signál veden do dolní propusti s tranzistorem T_5 . Z emitoru T_5 je nf signál přes C_{43} veden do nf zesilovače.

Deska s plošnými spoji přijímače (a rozložení součástek) je na obr. 61 a provedení cívek na obr. 62. Výsledky měření na vzorku přijímače jsou v tab. 9. Napětí na jednotlivých elektrodách tranzistorů jsou v tab. 10. Napětí na vývodech IO jsou: na 1, 2, 4, 5 – 2 V, na 3, 7, 8, 9, 10 – 0 V, na 11, 12, 13 – 1,6 V, na 14, 15 a 16 – +8,5 V.

Tab. 10. Stejnosměrná napětí na polovodičových součástkách v obr. 60

Pozice	G ₁	G ₂	D	S	E(S)	B(G)	K(D)
T ₁ V	2,2	8	7	2,6		0	0
T ₂ V					0	0,8	7
T ₃ V					3,2	0	8,5
T ₄ V					3,8	4,2	8,5
T ₅ V							

Napájecí napětí 8,5 V, spotřeba 70 mA. Ladící napětí 0,5 až 30 V.

Seznam součástek k obr. 60

Rezistory (TR 212)

R ₁ , R ₁₂	220 k Ω
R ₂ , R ₃₈ , R ₃₉ , R ₄₀	120 k Ω
R ₃ , R ₂₃	4,7 k Ω
R ₄ , R ₁₇ , R ₂₁ , R ₃₃ , R ₄₃	330 Ω
R ₅ , R ₄₈	100 Ω
R ₆ , R ₅₁	10 k Ω
R ₇	18 k Ω
R ₈	220 Ω
R ₉ , R ₁₃ , R ₁₄ , R ₁₅ , R ₁₈ , R ₂₂ , R ₂₄ , R ₂₅ , R ₂₆ , R ₃₅ , R ₃₆ , R ₃₇ , R ₄₄ , R ₄₅ , R ₅₂	1 M Ω
R ₁₀	1,2 k Ω
R ₁₁	56 Ω
R ₁₆ , R ₂₀ , R ₃₂ , R ₄₂	390 Ω
R ₁₉	820 Ω
R ₂₇	3,3 k Ω
R ₂₈	8,2 k Ω
R ₂₉ , R ₃₁	1,8 k Ω
R ₃₀	15 k Ω
R ₃₄ , R ₄₁	330 k Ω
R ₄₆ , R ₅₃	2,2 k Ω
R ₄₇	120 Ω
R ₄₉	39 k Ω
R ₅₀	12 k Ω
R ₅₄	22 Ω
R ₅₅	56 až 82 k Ω (výběr)

Kondenzátory

C ₁	TK 754, 150 pF
C ₂ , C ₃ , C ₆ , C ₁₂ , C ₁₃ , C ₁₄ , C ₁₈ , C ₁₉ , C ₂₀ , C ₂₂ , C ₂₃ , C ₂₄ , C ₂₅ , C ₂₉ , C ₃₅ , C ₃₆ , C ₄₃ , C ₄₇ , C ₅₀ , C ₅₂ , C ₅₃	TK 783, 100 nF
C ₄	TE 005, 1 µF
C ₅ , C ₅₁	TE 004, 10 µF
C ₇ *	TK 754, 10 až 100 pF
C ₈ , C ₃₄	TK 754, 220 pF
C ₂₁	TE 004, 20 µF
C ₃₀	TK 754, 120 + 10 pF
C ₃₁	TC 281, 2,2 nF
C ₃₂	TK 754, 220 + 47 pF
C ₃₃ , C ₃₈ , C ₃₉	TC 281, 1 nF
C ₃₇	TE 004, 5 µF
C ₄₀	TC 281, 1,5 nF
C ₄₁	TC 215, 22 nF
C ₄₂	TC 215, 47 nF
C ₄₄ , C ₄₅	TK 754, 56 pF
C ₄₆ , C ₄₉ , C ₅₄	TK 744, 22 nF
C ₄₈	TK 754, 22 pF
Filtrový	
F ₁	SPF455A6
F ₂	SPF455-9
Tranzistory	
T ₁	BF910 (KF910)
T ₂ , T ₅	KC238B (KC508)
T ₃	KF124
T ₄	BF245
Diody a integrovaný obvod	
D ₃ , D ₄ , D ₃₆	0A9 (GAZ51)
D ₁₁ , D ₁₂ , D ₃₅	KB113
D ₁ , D ₂	KA136
všechny ostatní	KA261
IO	A244D

Cívky přijímače z obr. 60

Zapojení cívek je na obr. 62. A je kostra 1PA 26043, B příložka 1PA 25201, C vývody 1PA 49409, D kryt 1PA 68707, E prostor pro kondenzátor, F feritové jádro 205 534 306 602 (pro DV, SV), popř. 205 534 306 607 (pro KV), G vinutí, H dodávací jádro 205 534 306 601 (pro DV, SV), popř. 205 534 306 606 (pro KV), I otvory pro průvody kondenzátoru;

L₁ – 10 µH, 34 z, drát o Ø 0,3 mm CuU na jádře M4 × 0,5 × 12,5 mm, hmota N02,
L₂ – začátek na 6, konec na 4, 4 z, Ø 0,1 mm CuU, Q₀ = 78 na 10 MHz,
L₃ – z na 1, k na 3, 12 z, Ø 0,15 CuU, L = 2,1 µH,
L₈ – z na 6, k na 4, 1 z, Ø 0,1 CuU, Q₀ = 78/10 MHz,
L₁₁ – z na 1, k na 3, 12 z, Ø 0,15 CuU, L = 2,1 µH,
L₃ – z na 6, k na 4, 4 z, Ø 0,1 CuU, Q₀ = 95/1 MHz,
L₆ – z na 1, k na 3, 124 z, Ø 0,056 CuU;
L = 318 µH,
L₉ – z na 4, k na 6, 3 z, Ø 0,1 CuU, Q₀ = 95/1 MHz,
L₁₂ – z na 3, k na 1, jako L₆,
L₄ – z na 4, k na 6, 8 z, Ø 0,056 CuU, Q₀ = 92/316 kHz,
L₇ – z na 1, k na 3, 355 z, Ø 0,056 CuU, L = 2,9 mH,
L₁₀ – z na 4, k na 6, stejná jako L₄,
L₁₃ – z na 3, k na 1, stejná jako L₇,
L₁₄ – z na 6, k na 4, 6 z, Ø 0,1 CuU, Q₀ = 78/10 MHz,
L₁₇ – z na 3, k na 1, 12 z, Ø 0,15 CuU, L = 2,1 µH,
L₁₅ – z na 4, k na 6, 10 z, Ø 0,1 CuU, Q₀ = 86/1 MHz,
L₁₈ – z na 1, k na 3, 97 z, Ø 0,056 CuU, L = 175 µH,
L₁₆ – z na 4, k na 6, 8 z, Ø 0,1 CuU, Q₀ = 86/1 MHz,
L₁₉ – z na 1, k na 3, 140 z, Ø 0,056 CuU, L = 368 µH,
L₂₀ – z na 6, obd. na 5, k na 4, 21 + 52 z, Ø 0,056 CuU, Q₀ = 98/1 MHz,
L₂₁ – z na 1, k na 3, 25 z, Ø 0,056 CuU, L = 122 µH,
L₂₂ – z na 3, o na 6, k na 1, 21 + 55 z, Ø 0,056 CuU, L = 122 µH.

Přijímač pro SV a DV

Na obr. 63 je zapojení dvourozsažového přijímače pro dlouhé a střední vlny. Vstupní signál je přes tlumivku Tl a C₁ veden na G₁ v předzesilovače T₁, zapojeného jako aperiodický zesilovač. Diodami D₁, D₂ je omezen velký vstupní signál. Pracovní bod T₁ je nastaven rezistory R₁, R₂. Aby se nemohl T₁ zničit, má jeho emitor (S) pevné napětí, dané děličem R₄, R₅ a je v předzesilovače. Pracovní bod T₁ je signál přiveden na vazební vinutí L₂ a při SV na primární vinutí laděné pásmové propusti L₁, C₅, C₄, D₃, D₄ a přes vazební vinutí L₃ a D₇ na sekundární vinuté pásmové propusti L₄, C₁₂, C₁₄, D₅, D₆. Při SV jsou sepnuty ve vstupní pásmové propusti diody D₇, D₈ a úbytkem napětí na D₁₁ jsou uzavřeny D₉, D₁₀, D₁₂, D₁₃. Přes D₈ a C₇ je v zemněna L₁ a přes D₇ a C₆ cívka L₄. Vazební vinutí L₃ je tak součástí sekundárního obvodu vstupní propusti s cívkou L₄. Při DV se zapojí do série s L₂ cívka L₆, s L₁ cívka L₅ a s L₄ cívky L₈ a L₇. Cívka L₇ je vazební vinutí pásmové propusti při DV, je součástí sekundárního vinutí L₈. Doladovací kondenzátory C₃, C₄ jsou připojeny k primárnímu vinutí pásmové propusti přes D₉, D₁₀, C₁₃, C₁₄ k sekundárnímu vinutí přes D₁₂. Spínací napětí je na D₉ přivedeno přes R₁₂, D₁₀ a na D₁₂ přes R₁₄, D₁₃. Přes C₈ je pásmová propusti v zemněna. Úbytkem napětí na D₁₁ se při DV uzavírají diody D₇, D₈. Na skundární vinutí je připojen přes C₄₁ emitorový sledovač s tranzistorem T₂, jehož pracovní bod je nastaven R₇, R₈ a R₁₈. Přes R₆, R₇, R₈ a R₁₆ teče závěrný proud varikapů D₃, D₄, D₅, D₆, které jsou v zemněny přes C₁₁. Zemitor (S) T₂ je v zemně přes C₁₆, R₁₇ přiveden do v předzesilovače T₄ obvodu AVC pro předzesilovače T₁.

Zesílené v předzesilovače T₄ je přes C₁₇ vedeno na D₂₀, D₂₁ (zdvojovač napětí) a s napětí vyfiltrované kondenzátorem C₁₉ je přivedeno na T₅, jehož kolektor je přes R₃, R₂₄ spojen s G₂ tranzistoru T₁, (regulace zisku T₁). Časová konstanta regulace je dána C₂₀, R₂₄. Zemitor (S) T₂ je v zemně daleje veden na vstup v předzesilovače (vývod 10 IO) přes C₁₅. Druhý vstup symetrického v předzesilovače je v zemně přes C₃₆. Vt signál je z výstupu v předzesilovače veden přes C₃₂ na vstup směšovače. Na druhý vstup směšovače je přiveden signál místního oscilátoru, připojeného mezi vývody 15 a 16. Oscilátor má obvod pro stabilizaci amplitudy napětí oscilátoru. Vzhledem k zapojení oscilátoru je možné použít jednoduchou cívku.

Při SV se sepnou diody D₁₉, D₁₆ a uzavřou se D₁₇, D₁₈. Souběžový kondenzátor C₂₃ se k varikapům připojí přes D₁₆ a D₁₉, obvod oscilátoru SV, L₉, C₂₅, se v zemně přes D₁₆, D₁₉, C₂₄. Druhý konec obvodu L₉, C₂₅ je přes R₃₄ připojen na vstup oscilátoru (vývod 15 IO) a přes C₄₃ na varikapu D₁₄, D₁₅. Ladící napětí je připojeno na D₁₄, D₁₅ přes R₂₅ a závěrný proud diod prochází přes R₄₄. Rezistor R₂₆, R₃₀ je kompenzován zbytkový proud spínacích diod.

Při DV se otevřou D₁₇, D₁₈ a T₁ a uzavřou se D₁₆, D₁₉. Diódou D₁₇ se souběžový kondenzátor C₂₂ připojí k obvodu DV L₁₀, C₂₆, C₂₇, který je v zemně přes C₂₈. T₁ zkratuje obvod SV, L₉, C₂₅, čímž je zabráněno v parazitním kmitání a „přeskakování“ oscilaci. Oscilátor je napájen z vnitřního stabilizátoru napětí, vývod 16 IO. Kondenzátorom C₂₉ je určena časová konstanta vnitřního obvodu AVC.

Z výstupu směšovače je mf signál veden na L₁₁, C₃₇ a přes vazební vinutí L₁₂ a R₃₇ na keramické filtry F₁, F₂ a přes C₃₁ na vstup mf předzesilovače. Kondenzátorom C₃₄ se vyrovnává průběh amplitudové charakteristiky v propustném pásmu. R₃₅ je zatěžovací odpor keramického filtru F₂. Zesílený mf signál je vnitřním detektorem detekován a přes nf propust a nf předzesilovač veden na další nf

propust L₁₄, C₃₈, C₃₉ a přes C₄₀ vyveden do nf předzesilovače. Kondenzátorom C₃₅ je nastavena časová konstanta obvodu AVC, určeného k regulaci zisku mf předzesilovače. Z rezistoru R₃₆ je možné odebrat napětí pro indikátor sily pole.

Deska s plošnými spoji a rozmístění součástek je na obr. 64, kde je i zapojení cívek.

Výsledky měření na vzorku přijímače jsou v tab. 11. Stejnosměrná napětí elektrod tranzistorů jsou v tab. 12. Integrovaný obvod má na vývodech tato napětí: na 1 – 0 V, na 2, 3 – 3 V, na 4 – 2 V, na 5 – 0,8 V, na 6 – 0,7 V, na 7, 8, 12 – 7,7 V, na 9, 10 – 1,9 V, na 13 – 4,1 V, na 14 – 0,12 V a na 15, 16 – 3,3 V.

Seznam součástek k obr. 63

Rezistory (TR 212)

R ₁ , R ₁₇	220 kΩ
R ₂	120 kΩ
R ₃	100 Ω
R ₄	4,7 kΩ
R ₅	330 Ω
R ₆ , R ₇ , R ₂₁ , R ₂₆ , R ₃₀ , R ₄₁	1 MΩ
R ₈	1 kΩ
R ₉ , R ₁₀ , R ₁₂ , R ₁₄ , R ₃₆	2,2 kΩ
R ₁₁ , R ₂₇ , R ₃₂ , R ₄₄	100 kΩ
R ₁₃ , R ₂₉ , R ₄₂	56 kΩ
R ₁₅	56 kΩ (výběr)
R ₁₆	15 kΩ
R ₁₈ , R ₂₈ , R ₃₁ , R ₃₅	3,3 kΩ
R ₁₉	56 Ω
R ₂₀ , R ₃₇ , R ₃₈	1,2 kΩ
R ₂₂	18 kΩ
R ₂₃	220 Ω
R ₂₄ , R ₄₅	10 kΩ
R ₂₅	47 kΩ
R ₃₃	1,8 kΩ
R ₃₄	22 Ω
R ₃₉	33 kΩ
R ₄₀	82 kΩ
R ₄₃	470 Ω

Kondenzátory

C ₁ , C ₂₂	TK754, 150 pF
C ₂ , C ₆ , C ₇ , C ₉ , C ₁₀ , C ₁₅ , C ₁₇ , C ₂₁ , C ₂₄ , C ₂₈ , C ₃₀ , C ₃₃	
C ₄₁ , C ₄₃ , C ₄₆	TK782, 100 nF
C ₄ , C ₁₃	TK754, 56 pF
C ₈ , C ₁₁	TK782, 150 nF
C ₁₆	TC281, 1 nF
C ₁₈	TK754, 10 pF (výběr)
C ₁₉	TE984, 10 µF
C ₂₀ , C ₄₀	TE988, 1 µF
C ₂₆ , C ₃₂	TK754, 120 pF
C ₂₃	TK754, 330 + 120 pF
C ₂₉ , C ₃₅ , C ₄₂	TE984, 20 µF
C ₃₁	TK783, 22 nF
C ₃₄	TK754, 220 pF
C ₃₆	TE984, 2 µF
C ₃₇	TC281, 1,5 nF
C ₃₈ , C ₃₉	TC235, 4,7 nF

kondenzátorové keramické trimry o Ø 7 mm, 4,5 až 15 pF

Tranzistory a IO

T ₁	KF910
T ₂	BF245
T ₃ až T ₇	KC508 (KC239B)
IO	TDA1046
Diody	

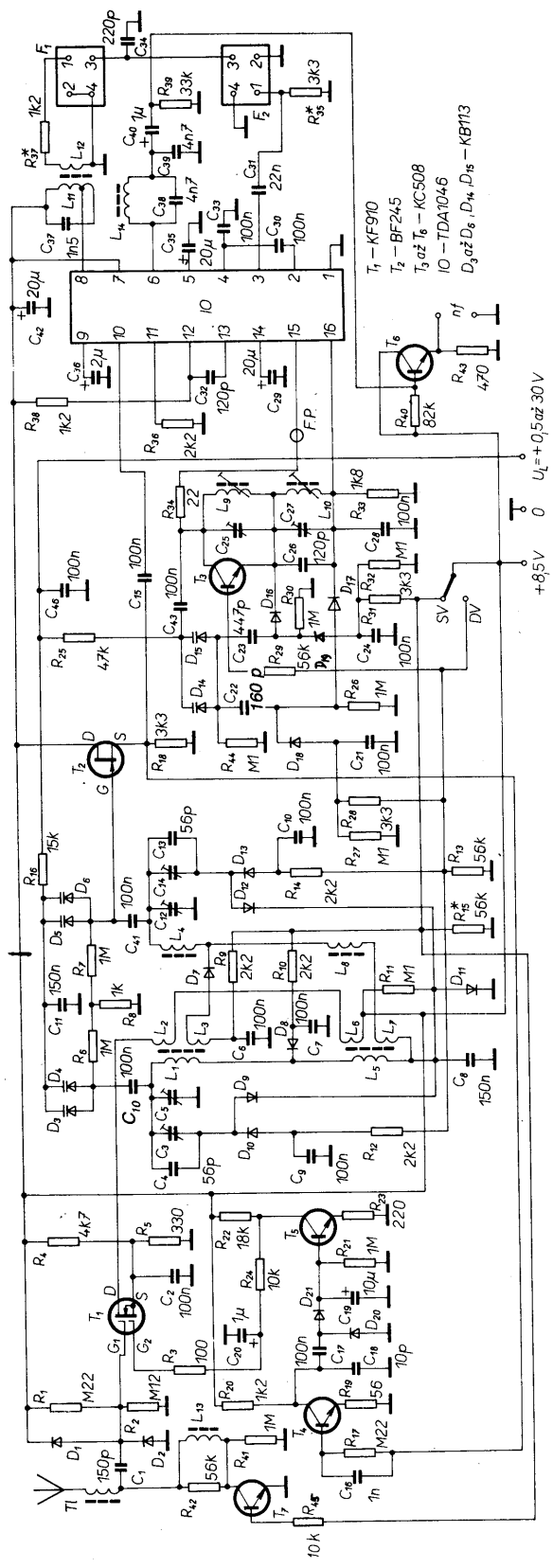
D ₃ , D ₄ , D ₅ , D ₆ , D ₁₄ , D ₁₅	KB113
všechny ostatní	KA136 (KA261)

Filtrový

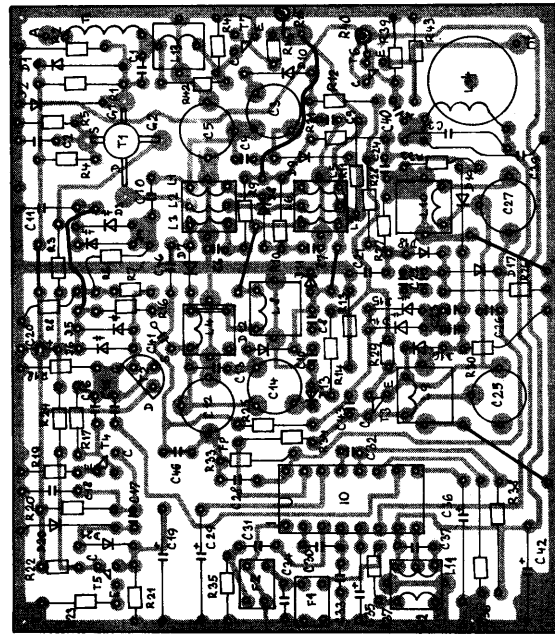
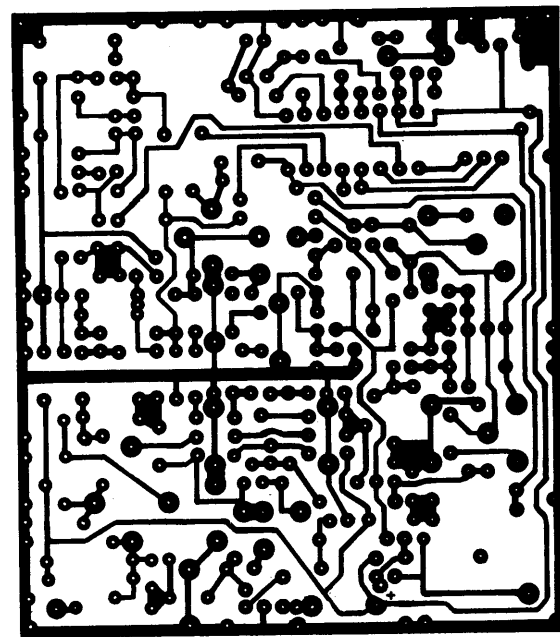
F ₁	SPF455A6
F ₂	SPF455-9
FP feritová perla, Ø 2,5 × 2 mm	

Cívky přijímače z obr. 63

Tl – 34 závitů drátu o Ø 0,3 mm CuU na jádře M4 × 0,5 × 12,5 mm, L = 10 µH,
L₁₄ – 1190 z, Ø 0,1 mm CuU, v hrničku o Ø 14 mm z hmoty H12, A_L = 160, L = 230 mH
L₁ – začátek na 3, konec na 4, 100 z, Ø 0,056 mm CuU, L = 208 µH (všechny cívky uspořádány podle obr. 62)
L₂ – z na 2, k na 5, 4 z, 0,1 CuU, Q₀ = 88/1 MHz
L₃ – z na 1, k na 6, 4 z, 0,1 CuU



Obr. 63. Zapojení dvourozsahového přijímače
číslo s TDA1046



Obr. 64. Deska s plošnými spoji a rozmístění
součástek přijímače z obr. 63 (deska X212)

Tab. 12. Napětí na elektrodách tranzistorů
($U_B = 8.5 \text{ V}$; $I_B = 43 \text{ mA}$)

Pozice	$G_1(B)$	G_2	$D(C)$	$S(E)$
$T_1 \text{ V}$	2,9	8,4	8,5	3,5
$T_2 \text{ V}$	0	8,5	8,5	1,96
$T_3 \text{ V}$	0 (SW) 4 (DV)		3,3	3,3
$T_4 \text{ V}$	0,74		5,24	0,12
$T_5 \text{ V}$	0		8,4	0

L_4 – z na 4, k na 6, 100 z, 0,056 CuU, $L = 208 \mu\text{H}$, $Q_0 = 88/1 \text{ MHz}$

L_5 – z na 5, k na 1, 300 z, 0,056 CuU, $L = 1,68 \text{ mH}$

L_6 – z na 6, k na 2, 6 z, 0,1 CuU, $Q_0 = 90/300 \text{ kHz}$

L_7 – z na 4, k na 3, 6 z, 0,1 CuU

L_8 – z na 4, k na 6, 300 z, 0,056 CuU, $L = 1,68 \text{ mH}$

L_9 – z na 4, k na 6, 73 z, 0,056 CuU, $L = 104 \mu\text{H}$, $Q_0 = 85/1 \text{ MHz}$

L_{10} – z na 3, k na 1, 118 z, 0,056 CuU, $L = 270 \mu\text{H}$, $Q_0 = 88/1 \text{ MHz}$

Nf charakteristika

Kmitočet Hz	30	100	300	1000	1500	2500	3000	4000	5000	10 000	20 000
Výst. napětí mV	285	300	300	288	282	285	135	15,2	12,4	1,4	1,2

L_{11} – z na 6, o na 5, k na 4, 17 + 43 z, 0,056 CuU,

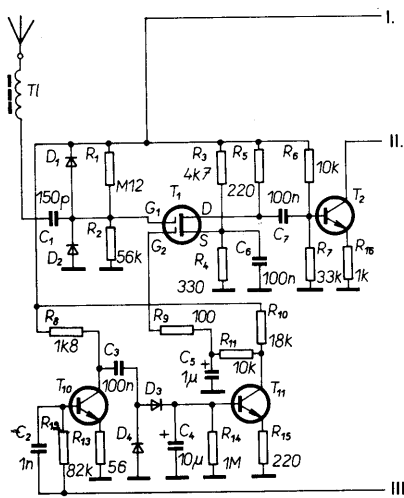
$L = 81 \mu\text{H}$

L_{12} – z na 1, k na 3, 20 z, 0,1 CuU, $Q_0 = 85/1 \text{ MHz}$

L_{13} – z na 2, k na 5, 367 z, 0,056 CuU, $L = 2,2 \text{ mH}$, $Q_0 = 86/1 \text{ MHz}$

Tab. 11. Parametry dvourozsažového přijímače

Kmitočet [kHz]	150	200	300	520	1000	1620
Ladicí napětí [V]	1,7	7,15	24	1,69	11,21	27,24
Vstupní napětí při $m = 0,3$ a $s + š = 20 \text{ dB } \mu\text{V}$	115	100	80	65	44	40
Potlačení zrcadel [dB]	68	90	90	67	90	90
Výst. napětí při $m = 0,3$ $a U_{\text{vst}} = 1 \text{ mV } \text{mV}$	270	185	282	290	300	315
při $m = 0,3$ a $U_{\text{vst}} = 1 \text{ V}$	340	215	214	435	380	315
Zkreslení při $m = 0,3$ $U_{\text{vst}} = 1 \text{ mV } \text{mV}$ [%]	3	3	2,6	3	3,5	4
$S + š$ při $U_{\text{vst}} = 1 \text{ mV } \text{mV}$ [%]	48	48	48	48	48	48
Max. vstupní signál [V]	1	1	1	1	1	1



T₁ - KF910
 T₂, T₃, T₇ - KF525
 T₄ - BF245
 T₅ - KC308 (TR15)
 T₆, T₁₀, T₁₁ - KC508
 T₈ - KC238B
 T₉ - KC238B (KC239, KC509)
 D₁, D₂, D₈ až D₂₇ - KA136
 D₃, D₄ - GA201
 D₂₈ až D₃₀ - KB113
 IO - A244D

Obr. 65. Zapojení třirozsažového přijímače AM

Jakostní přijímač pro KV, DV a DV

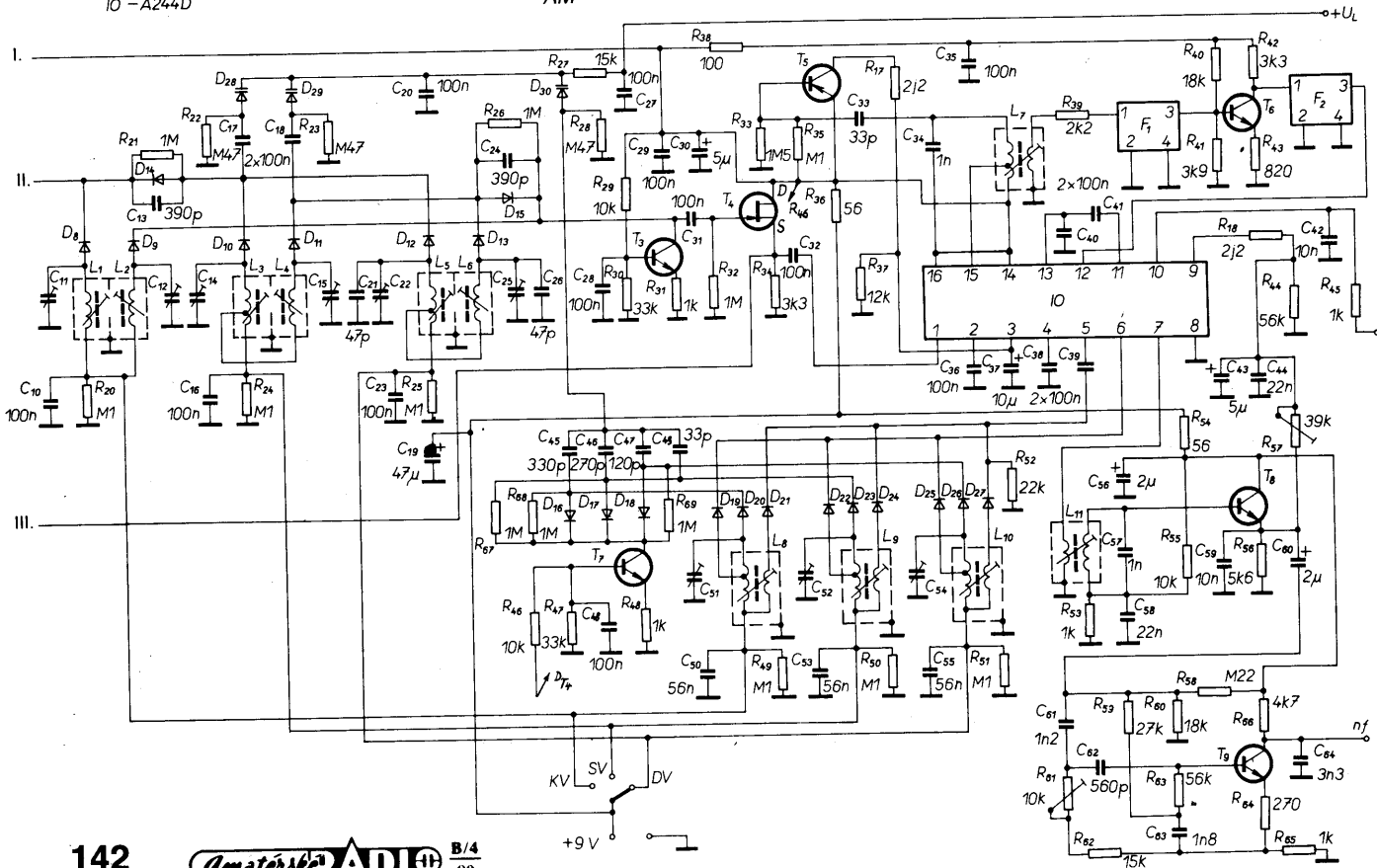
Na obr. 65 je zapojení kvalitního přijímače pro KV, SV a DV s paralelně řazenými propustmi vstupních obvodů a paralelně řazenými obvody oscilátoru s pomocnými tranzistory T₃, T₇, které umožňují přepínat laděné obvody spínacími diodami v živých koncích. Uvedené zapojení, které je předmětem PV, je výhodné v tom, že při přepínání rozsahů jsou všechny laděné obvody vysokofrekvenčně uzemňovány. Rozsahy se přepínají přivedením napájecího napětí do bodů KV, SV, DV, a to jakýmkoli způsobem (např. ze senzorového ovládání nebo přes mechanický přepínač – otočný přepínač, tlačítka Isostat apod.). Zapojení bylo navrženo s ohledem na minimální vzájemně ovlivňování rozsahů, minimální rozptylové kapacity a počet cívek. Vzájemná vazba vstupních obvodů je pro KV napěťová indukční – byla získána odstraněním přepážky v krytu. Pro SV a DV je indukční vazba přes odstraněnou přepážku ještě kombinovaná s indukční proudovou vazbou, tvořenou několika závity ve studených koncích primárních obvodů.

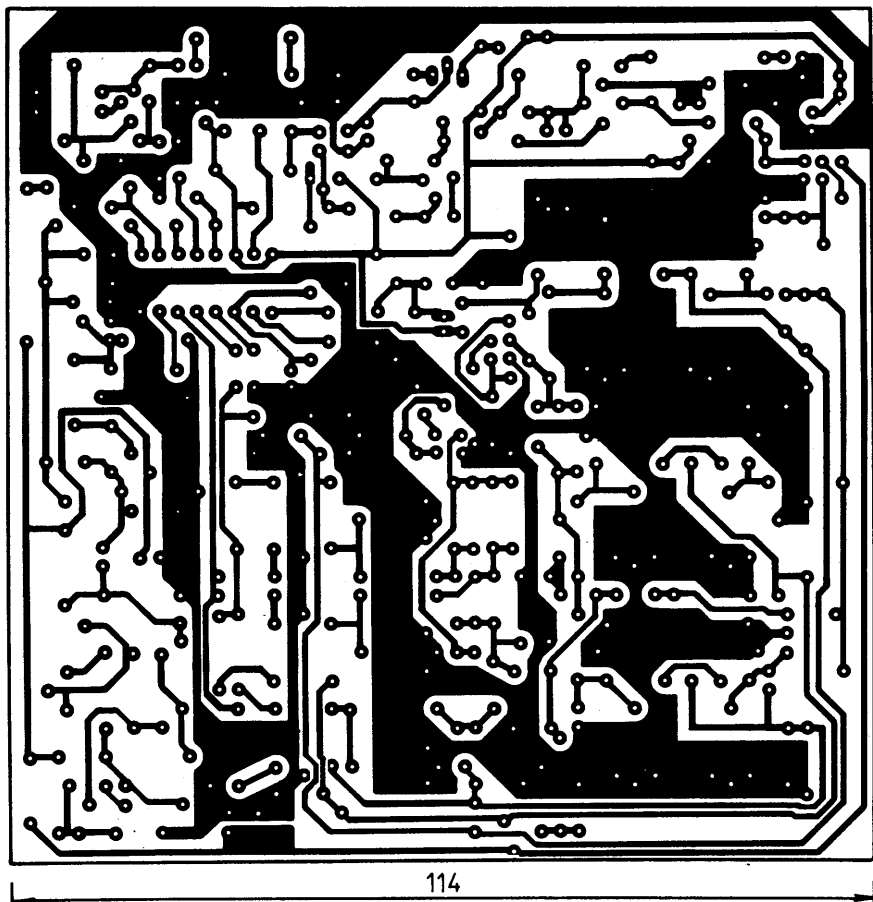
Signál z antény je přiveden přes vf tlumivku T₁ a kondenzátor C₁ na vstup řízeného

tranzistoru T₁ s rozsahem regulace zisku 35 až 40 dB. Tím je dosaženo dostatečně malého signálu na laděných obvodech i při velkých vstupních signálech (na varikapech by meziúhradové vysokofrekvenční napětí nemělo být větší než 0,5 V). Při velkých rozsazích na varikapech se totiž nežádáně posouvá rezonanční kmitočet a tím i zkresluje signál (na bocích rezonanční křivky). Regulační napětí pro T₁ je odvozeno z detekovaného vstupního signálu při vyladění, které se odebírá přes R₁₂, C₂ z emitoru T₄, řízeným tranzistorem T₁₀. Signál se detekuje diodami D₃, D₄ a stejnosměrné napětí je zesíleno T₁₁ a přes filtr R₁₁, C₅, R₉ je přivedeno na G₂ tranzistoru T₁. Primární obvody vstupních pásmových propustí jsou spínány v živých koncích spinacími diodami, jimiž teče minimální proud 5 mA. Obvody musí být napájeny ze zdroje o velké impedanci. Protože T₁ má malou výstupní impedanci, je nutno za T₁ zapojit převodník impedance T₂ se zpětnou vazbou v emitoru (neblokovaný R₁₆).

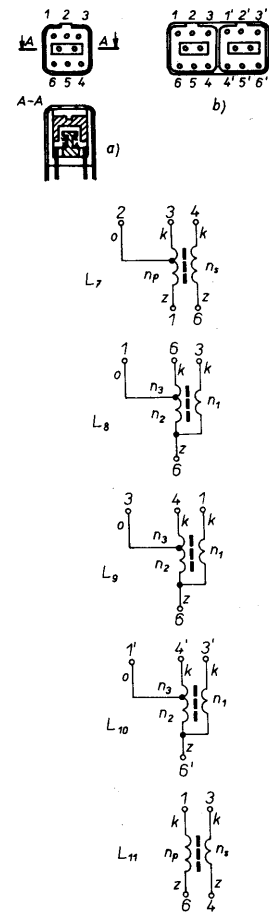
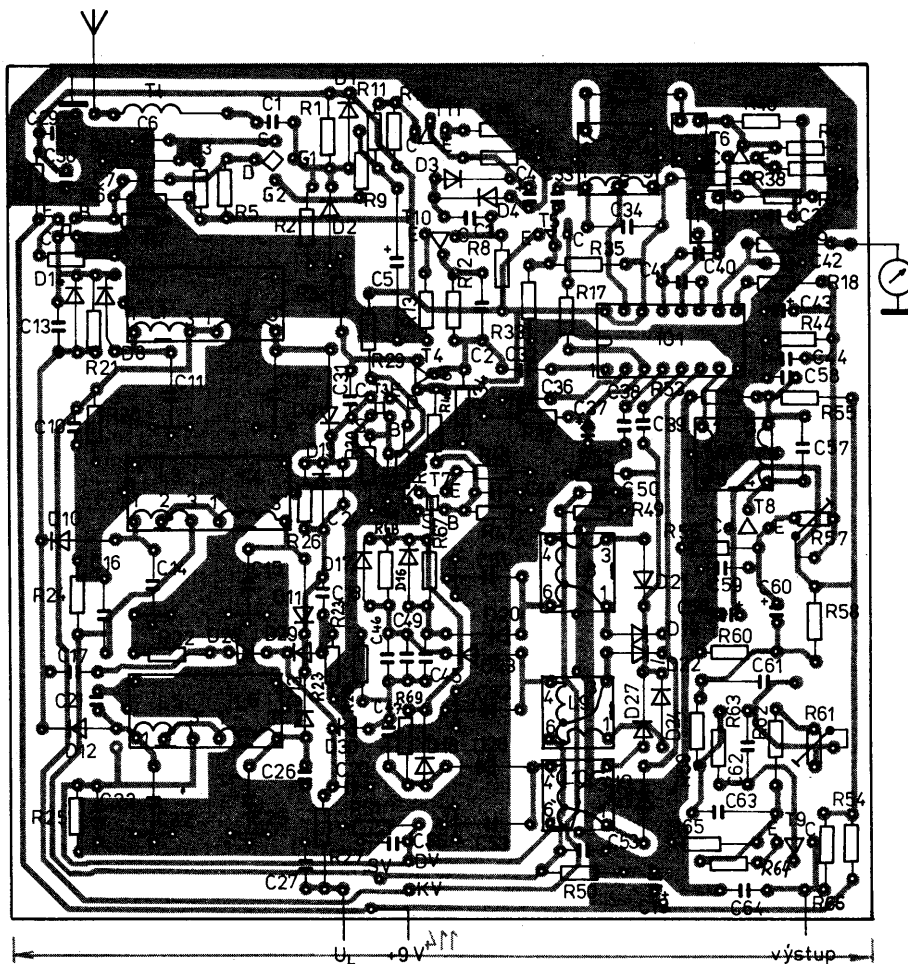
Při sepnutí KV stejnosměrný proud protékající cívkou L₁ a diodou D₈ vytvoří na kolektoru T₂ napětí, kterým se uzavře D₁₄ (přes diody v primárních vinutích SV a DV – D₁₀, D₁₂, cívky L₃, L₅ a rezistory R₂₄, R₂₅ na zem). Po sepnutí se do primárního laděného obvodu zapojí C₁₃, který spolu s D₂₈ a dolaďovacím kondenzátorem C₁₁ vytvoří rezonanční obvod krátkých vln. Sekundární cívka L₂ protéká proudem přes diodu D₉ a tranzistor T₃, který je zapojen jako zdroj konstantního proudu se zpětnou vazbou. Napětím na jeho kolektoru se uzavře dioda D₁₅ a to přes diody sekundárních cívek pásmových propustí středních a dlouhých vln (D₁₁, D₁₃ přes cívky L₄, L₆, rezistory R₂₄, R₂₅ na zem). Tím se do laděného obvodu zapojí sériový kondenzátor C₂₄, který spolu s varikapem D₂₉ a dolaďovacím kondenzátorem C₁₂ tvoří rezonanční obvod krátkých vln. Obvody středních a dlouhých vln jsou uzavřeny diodami D₁₀, D₁₁, D₁₂ a D₁₃ odpojeny, takže se jejich kapacity neuplatní.

Po přivedení napětí 9 V na vstup SV protéká proud přes L₃, diody D₁₀, D₁₄ do kolektoru





Obr. 66. Deska s plošnými spoji přijímače z obr. 65 a deska, osazená součástkami (deska X213)



Obr. 67. Zapojení cívek přijímače z obr. 65

T₂. Sekundární obvod středních vln se připojí přes cívku L₄, diody D₁₁, D₁₅ a tranzistor T₃. Sekundární obvod středních vln je tvořen cívkou L₄, diodou D₁₁, kondenzátorem C₁₈ a varikapem D₂₉. Obvody dlouhých vln jsou zapojeny stejně jako obvody středních vln. Vyladěný obvod má velkou impedanci, proto k jeho přizpůsobení k vstupní impedance IO je použit FET T₄, který má velkou vstupní a malou výstupní impedanci.

V oscilátoru přijímače je použito přepínání rozsahů diodami v živých koncích oscilačních obvodů. To umožňuje použít tranzistor T₇ v zapojení proudového zdroje se společnou bází a zpětnou vazbou v emitoru. Komplikovanost zapojení je vyvážena dokonalejším vzájemným oddělením rezonančního obvodu oscilátoru a zmenšením parazitních kapacit, které nepříznivě ovlivňují horní kmitočet oscilátoru přijímaného pásma. Například při sepnutí krátkých vln prochází proud cívkou L₈, diodami D₂₀, D₁₆, tranzistorem T₇, rezistorem R₄₈. Na kolektoru T₇ vznikne napětí, které uzavře diody D₁₇, D₁₈, které odpojí paddingové kondenzátory středních a dlouhých vln C₄₆, C₄₇ a připojí se krátké vlny. Současně protéká proud jak diodou D₁₉, tak i vnitřním oscilátoru v IO. Stejnosměrným napětím na oscilátoru jsou uzavřeny diody D₂₂, D₂₅ oscilačních obvodů středních a dlouhých vln. Proud protéká i diodou D₂₁ a rezistorem R₅₂, na kterém se vytvoří napětí uzavírající diody D₂₄, D₂₇ vazebních vinutí středních a dlouhých vln. Diody D₁₆, D₁₇, D₁₈ protékají pouze spinací stejnosměrný proud a tranzistor T₇ netlumí svou velkou vnitřní impedancí oscilační obvody.

Tab. 13. Parametry třírozsahového přijímače (měřeno generátorem s $Z_i = 50 \Omega$)

Kmitočet [MHz]	0,15	0,2	0,3	0,52	1,0	1,62	6	10	12
Ladicí napětí [V]	0,75	7,2	30	0,94	13,5	30	0,97	14	30
Vstupní napětí pro $m = 0,3$; $s + \dot{s} = 20 \text{ dB}$ [μV]	20	20	20	28	30	20	25	20	15
Potlačení zrcadel [dB]	100	100	100	100	69	58	33	31	37
Výstupní napětí při $U_{\text{vst}} = 1 \text{ V}$; $m = 0,3 \text{ mV}$	258	218	215	270	270	235	210	215	250
Zkreslení při $U_{\text{vst}} = 1 \text{ mV}$ [dB]	2,3	2,2	2,0	1,3	1,8	1,4	1,4	1,3	1,2
$S + \dot{S}$ při $U_{\text{vst}} = 1 \text{ mV}$ [dB]	42	42	45	36	38,5	43,5	31,6	37	37,6
$U_{\text{vst max}}$ [V]	2	2	2	2	2	2	2	2	2

Nf charakteristika

Kmitočet [Hz]	100	300	1000	1500	2500	3000	4000	5000	10 000
U_{vyst} [mV]	185	232	230	212	160	130	54	31,5	31,5

Přijímač odebírá při napájecím napětí 9 V ze zdroje proud 58 mA.

Mezifrekvenční signál je laděným obvodem L_1, C_{34} a rezistorem R_{39} přiveden na mezifrekvenční keramický filtr F_1 o kmitočtu 455 kHz. Útlum filtrů F_1 a F_2 je kompenzován zesilovačem s tranzistorem T_6 . Mf signál je detekován tranzistorovým detektorem v zapojení se společným kolektorem, přizpůsobeným k výstupu IO laděným obvodem L_{11}, C_{57} . Stejnosemná složka výstupu detektoru je vedena přes filtrační obvod C_{43}, C_{44} (po úpravě v délci R_{57}, R_{44}) na vstup zesilovače AVC (vývod 9 IO). Nf výstup detektoru je přiveden přes C_{60} na nf zesilovač s tranzistorem T_9 (s úpravou kmitočtové charakteristiky, omezující příjem hvizdů nad 5 kHz). Dobrou činnost AVC zajišťuje tranzistor T_5 , zapojený jako detektor, který je na primární část mf filtru navázán přes C_{33} .

Deska s plošnými spoji přijímače z obr. 65 je na obr. 66. Parametry přijímače jsou v tab. 13. Na obr. 67 je zapojení cívek tohoto přijímače.

Seznam součástek k obr. 65

Rezistory (TR 191 nebo TR 212)

R_1	120 k Ω
R_2, R_{44}, R_{63}	56 k Ω
R_3, R_{66}	4,7 k Ω
R_4	330 Ω
R_5, R_{15}	220 Ω
$R_6, R_{11}, R_{29}, R_{46}, R_{55}$	10 k Ω
R_7, R_{30}, R_{47}	33 k Ω
R_8	1,8 k Ω
R_9, R_{38}	100 Ω
R_{10}, R_{40}, R_{60}	18 k Ω
R_{12}	82 k Ω
R_{13}, R_{36}, R_{54}	56 Ω
$R_{14}, R_{21}, R_{26}, R_{32}$	
R_{67}, R_{68}, R_{69}	1 M Ω
$R_{16}, R_{31}, R_{45}, R_{48}, R_{53}, R_{65}$	1 k Ω
R_{17}, R_{18}	2,2 Ω
$R_{20}, R_{24}, R_{25}, R_{49}$	
R_{50}, R_{51}, R_{35}	100 k Ω
R_{22}, R_{23}, R_{28}	470 k Ω
R_{27}, R_{62}	15 k Ω
R_{33}	1,5 M Ω
R_{34}, R_{42}	3,3 k Ω
R_{37}	12 k Ω
R_{39}	2,2 k Ω
R_{41}	3,9 k Ω
R_{43}	820 Ω
R_{52}	22 k Ω
R_{56}	5,6 k Ω
R_{57}	TP 011, 39 k Ω
R_{58}	220 k Ω
R_{59}	27 k Ω
R_{61}	TP 011, 10 k Ω
R_{64}	270 Ω

Kondenzátory	
C_1	TK 754, 150 pF
C_2, C_{34}, C_{57}	TGL 5155, 1 nF
$C_3, C_6, C_7, C_{10}, C_{16}, C_{17}, C_{18}, C_{20}, C_{23}, C_{27}, C_{28}$	
C_{29}, C_{31}, C_{32}	
C_{35}, C_{36}, C_{38}	
$C_{39}, C_{40}, C_{41}, C_{48}$	TK 783, 100 nF
C_4, C_{37}	TE 003, 10 μF
C_5	TE 988, 1 μF
C_{42}, C_{59}	TK 744, 10 nF
$C_{11}, C_{12}, C_{22}, C_{25}, C_{54}$	keramický trimr, Ø 10 mm, 5 až 20 pF (nebo WN 704 24)
C_{13}, C_{24}	TK 794, 390 pF
C_{14}, C_{15}, C_{52}	keramický trimr o Ø 10 mm, 3 až 9 pF (nebo WN 704 24)
C_{19}	TGL 38926, 47 $\mu\text{F}/25 \text{ V}$
C_{21}, C_{26}	TK 754, 47 pF
C_{30}, C_{43}	TE 004, 5 μF
C_{33}, C_{49}	TK 754, 33 pF
C_{44}, C_{58}	TK 783, 22 nF
C_{45}	TK 794, 330 pF
C_{47}	TK 794, 180 pF
C_{46}	TK 794, 270 pF
C_{50}, C_{53}, C_{55}	TK 783, 56 nF
C_{51}	keramický trimr o Ø 10 mm, až 40 pF (nebo WN 704 25)
C_{56}, C_{60}	TE 005, 2 μF
C_{61}	TGL 5155, 1,2 nF
C_{62}	TGL 5155, 560 pF
C_{63}	TGL 5155, 1,8 nF
C_{64}	TK 744, 3,3 nF
Tranzistory a integrovaný obvod	
T_1	KF910
T_2, T_3, T_7	KF125 (525, 524, 124)
T_4	BF245
T_5	KC308 (TR15)
$T_6, T_8, T_9, T_{10}, T_{11}$	KC508 (KC238B)
IO	A244D
Diody	
D_1, D_2, D_8 až D_{27}	KA136
D_3, D_4	GA201 (KAS21)
D_{28}, D_{29}, D_{30}	KB113
Filtrové cívky	
F_1	SPF455A6
F_2	SPF455A9

Cívky
Všechny cívky jsou ve „velkých“ „japonských“ krytech (12 x 12 mm), na kuželkách pro VKV (10,7 MHz), uspořádání viz obr. 67. Tl. jako na obr. 63
 L_1 – začátek na 3, konec na 1, 12 závitů, drát Ø 0,125 mm CuU, $L = 4,5 \mu\text{H}$, $Q_0 = 110/10 \text{ MHz}$
 L_2 – z na 1', k na 3', 12 z, 0,125 CuU, $L = 4,5 \mu\text{H}$
 L_3 – z na 3, o na 2, k na 1, 3 + 127 z, 0,056 CuU, $L = 350 \mu\text{H}$, $Q_0 = 120/1 \text{ MHz}$
 L_4 – stejná, z na 1', k na 3' (bez obočky, tj. 130 z)
 L_5 – z na 3, o na 2, k na 1, 6 + 374 z, 0,056 CuU, $L = 4 \text{ mH}$, $Q_0 = 115/300 \text{ kHz}$
 L_6 – stejná, z na 1', k na 3' (bez obočky, tj. 380 z)

- $L_7 - n_p = 77$ z, 0,056 CuC, $n_s = 27$ z, 0,1 CuU, obočka od začátku vinutí 52 z, vinut společně, $L = 122 \mu\text{H}$, $Q_0 = 120/500 \text{ kHz}$
 $L_8 - n_1 = 4$ z, 0,1 CuU, $n_2 = 5$ z, 0,125 CuU, vinut společně, $n_3 = 10$ z, 0,125 CuU, $L = 4,5 \mu\text{H}$, $Q_0 = 110/10 \text{ MHz}$
 $L_9 - n_1 = 12$ z, $n_2 = 29$ z, obě 0,056 CuU, vinut společně, $n_3 = 66$ z, 0,056 CuU, $L = 209 \mu\text{H}$, $Q_0 = 140/1 \text{ MHz}$
 $L_{10} - n_1 = 25$ z, $n_2 = 50$ z, obě společně drátem o Ø 0,056 mm CuU, $n_3 = 110$ z, 0,056 CuU, $L = 503 \mu\text{H}$, $Q_0 = 115/300 \text{ kHz}$
 $L_{11} - n_p = 30$ z, 0,1 CuU, $n_s = 77$ z, 0,056 CuU, vinut společně, $L = 122 \mu\text{H}$, $Q_0 = 120/500 \text{ kHz}$

Ladění a nastavování

Nastavení laděných obvodů v přijímači bývá zpravidla problematickou etapou stavby amatérských zařízení a to zejména při nedostatečném vybavení pracoviště přístroji. Nezbytným předpokladem úspěšnosti při nastavování a ladění je alespoň možnost změřit základní údaje navinutých cívek, především jejich indukčnost, kapacitu a jakost (co možno nejbliže pracovního kmitočtu). S odhadem parazitních kapacit a tlumicích odporů je pak práce s nastavováním laděných obvodů mnohem snazší. U obvodů laděných varikapy v přijímačích je nutné počítat s tlumením sériovými odpory varikapů a to v pásmu středních vln od 5 do 20 %, v pásmu krátkých vln pak s tlumením až 70 %. Další tlumení obvodů způsobuje nezanedbatelný sériový odpor spínacích diod, který především na krátkých vlnách bývá shodný se sériovým odporem cívky, takže tlumení rezonančního obvodu dosahuje 80 %. Z tohoto pohledu je zřejmé, že přístup k elektronicky laděným obvodům musí být poněkud odlišný od přístupu k původním klasickým laděným obvodům.

S novými elektronicky laděnými přijímači byl vyvinut celý sortiment miniaturních a subminiaturních obvodů, k jejichž aplikaci je třeba znát jejich elektrické vlastnosti – ty však obvykle bývají neznámé. Pro použití ve vstupních elektronických laděných obvozech je třeba použít takové cívky, které mají větší jakost Q na začátku pásmá, tzn. jejichž Q se s kmitočtem zmenšuje. Je-li na vstupu použita laděná pásmová propust, zlepšuje se potlačení příjmu zrcadlových signálů a zároveň se kompenzuje nerovnoměrný přenos signálů v přešládaném pásmu. V opačném případě může být nerovnoměrnost přenosu větší než 15 dB. Proto nejsou pro vstupní obvody vhodné cívky s křížovým vinutím, jejichž jakost je největší ve středu pásmá. Jako výhodné se jeví miniaturní cívky „japonského typu“, které se občas objevují ve výprodeji a cívky s komůrkami a válcovým vinutím z k. p. TESLA Bratislava, které jsou dodávány feritovým jádrem a mají na sobě vnější feritové kroužky. U subminiaturních cívek „japonského typu“ se vlivem větší jakosti cívek na horním konci pásmá zlepšuje přenos oproti přenosu na dolním konci až o 20 dB a to jak na dlouhých, tak i středních vlnách. Tyto cívky je výhodné použít pro zhotovení obvodů krátkých vln (jsou-li dodávány klobouček i činka z vf materiálu), neboť na KV mají větší jakost než běžné cívky s válcovým vinutím. Tyto cívky jsou vhodné i na nepřešládané obvody, jako jsou např. obvody pro mezifrekvenční.

Pro vf obvody v pásmu VKV jsou vesměs používány miniaturní cívky s válcovým vinutím, dodávané feritovými jádry. Vzhledem k teplotní stabilitě obvodů by byly výhodnější cívky s vf ferokartovými jádry, avšak výroba těchto jader byla v ČSSR zastavena a specializována do NDR.

Miniaturní a subminiaturní cívky mají proti cívкам s křížovým vinutím podstatně menší

vlastní kapacitu. To je výhodné právě na horních koncích přeladovaných pásem, kde malá změna kapacity varikapu představuje velkou změnu ladícího napětí.

Jak vyplývá z konstrukce uvedených vzorků rozhlasových přijímačů s přeladovanými pásmovými propustmi a s laděným oscilátorem, lze obvody ladit buď dvěma nebo i jednou trojicí varikapů, případně jejich kombinací. Vzhledem k tomu, že jakost cívek je převážně závislá na feritových materiálech použitých pro dolaďování, je výhodnější použít cívky s větší indukčností (pokud ji lze realizovat), především pro menší vliv odporu spináčů diod na tlumení a dále pro zmenšení počtu potřebných varikapů na polovinu. Použití takových cívek je výhodné především tehdy, je-li místo mechanického spináče použita jen jedna spinaci dioda.

Při nastavování přeladovaných vstupních obvodů je třeba postupovat takto: Pro zvolené pásmo (dlouhé nebo střední vlny) známé nebo vypočteme (podle některé z metod výpočtu souběhu superheterodyn) sladovací body s nulovou odchylkou kmitočtu. Je třeba připomenout, že jsou to údaje vypočtené s menší nebo větší nepřesností na základě odhadů různých rozptylových kapacit. Zde je na místě rčení, že jde o přesný výpočet z nepřesných čísel. Z uvedených vypočtených souběhových bodů lze vypočítat ladící kapacity varikapů, když odeberte kapacity rozptylové a dolaďovací. Z grafu závislosti kapacity varikapů na ladícím napětí vyplynou potřebná napěti pro zvolené sladovací body. Jsou to opět jen směrné údaje, které během nastavování souběhu vstupních obvodů musí být korigovány. Ze zvolené metody výpočtu souběhu platí pro zvolené pásmo dlouhých a středních vln společné geometrické rozdělení souběhových bodů. Použijeme-li pro obě pásmá shodný rozsah ladícího napětí, budou s ohledem na dolaďovací a rozptylové kapacity shodné i souběhové body. Pro dlouhé vlny se volí souběhové body na kmitočtech 160, 225 a 290 kHz a pro střední vlny 0,59, 1,07 a 1,54 MHz. Pro použité varikapy KB113 jsou odpovídající přibližná ladící napětí 2-11-25 V.

U krátkých vln je souběh spočítán ve dvou bodech. Zde je nutno připomenout, že i vstupní obvody krátkých vln musí být vypočteny se sériovým kondenzátorem a to pro dosažení dobrého potlačení zrcadlových signálů. Nejsou-li obvody konstruovány s tímto sériovým zkracovacím kondenzátorem, potlačení zrcadlových signálů se v pásmu KV plynule mění; přibližně ve středu pásmá je potlačení nulové a na konci pásmá je potlačen užitečný signál. K tomuto jevu bylo přihlédnuto při konstrukci vzorku přijímače s paralelně řazenými vstupními a oscilátorovými obvody pro SV, DV, KV. Sladovací body krátkých vln jsou 6 a 12,5 MHz, kterým odpovídá ladící napětí asi 1 a 30 V.

Oživování přijímače, jak bylo uvedeno, je záležitostí zkušeností a přístrojového vybavení. Nejprve zkontrolujeme zapojení „stejnospěrné“. U IO by na jejich vývodech měla být zhruba tato napětí:

Vývod	A244D	UL1204N (TDA1046)	A4100D		
			AM	FM	
1	2,1	0	0	0	V
2	2,1	3,0	2,8	0	V
3	-	3,0	1,3	0	V
4	2,0	2,0	U_B	0	V
5	2,0	0,65	0 až 1,2	0	V
6	U_B	0,45	1,25	0	V
7	0,1	U_B	1,25	0	V
8	0	U_B	0	1,58	V
9	1,9	0	1,58	V	
10	-	1,9	0	1,58	V

11	1,7	-	0	U_{ref}	V
12	1,7	7,7	0	2,73	V
13	1,7	4,0	0	2,73	V
14	U_B	1,6	0	1,9	V
15	U_B	3,4	0 až 3	0 až 3	V
16	U_B	3,4	0	U_B	V
17	-	-	U_B	0	V
18	-	-	0,7 až 1,6	0	V
19	-	-	1,3	0	V
20	-	-	0,65	0	V
21	-	-	3,6	0	V
22	-	-	2,8	0	V

Je možné postupovat různými metodami. Osvědčenou metodou je začít u nf koncových stupňů. Zkontrolujeme zesílení a kmitočtovou charakteristiku nízkofrekvenčního zesilovače s upravenou kmitočtovou charakteristikou. K tomu budeme potřebovat nf generátor s rozsahem alespoň 200 Hz až 10 kHz a s výstupním napětím kolem 200 mV, pro kontrolu přebuzení zesilovače potřebujeme n osciloskop. Signál z nf generátoru připojíme přes kondenzátor asi 10 μ F na vstup nf zesilovače, který je odpojen od detektoru.

Mf a detekční obvod ladíme na maximum na výstupu detektoru, kam můžeme připojit buď mf milivoltmetr nebo osciloskop. Na vf generátoru nastavíme kmitočet shodný s kmitočtem použitého keramického filtru (455 nebo 468 kHz). Vf generátor přepneme na modulaci AM s hloubkou modulace 30 % a připojíme ho přes kondenzátor 100 nF na vstup IO (vývod 1 u A244D). Obvod oscilátoru zablokujeme připojením paralelního kondenzátoru 100 nF k obvodu (nebo u A244D mezi vývod 6 a zem). Výstupní úroveň generátoru nastavíme zpočátku na 100 mV. Pokud je mf zesilovač a detektor v pořadku, objeví se na výstupu nf signál. Snižováním úrovění signálu z vf generátoru a postupným dolaďováním mf a detekčního obvodu nastavujeme maximální výstupní signál. Nastavení lze kontrolovat i na výstupu pro S-metr (u A244D vývod 10) např. Avometrem, měřené napětí by mělo být 0,2 až 1,4 V.

Je-li mf a nf zesilovač nastaven, přeladíme signální generátor, připojený na vstup IO (u A244D vývod 1), na kmitočet 520 kHz, nastavíme modulaci AM na 30 % a výstupní napětí na 50 mV. Přijímač přepneme na střední vlny a nastavíme ladící napětí 1 V. Výstupní napětí měříme na výstupu nf nebo na výstupu pro S-metr. Odblokujeme oscilátor a jádrem oscilátoru SV nastavíme na výstupu maximum, při postupném zmenšování napětí výstupního signálu ze signálního generátoru. Napětí generátoru zmenšujeme až na úroveň, kdy přestává fungovat AVC. Potom generátor přeladíme na 1620 kHz a jeho výstupní napětí zvětšíme na 50 mV. Ladící napětí nastavíme na 30 V. Dolaďovacím kondenzátorem nastavíme oscilátor SV tak, abychom na výstupu dostali maximum. Stejně jako v předchozím případě zmenšujeme výstupní napětí generátoru až do okamžiku, kdy přestane pracovat AVC. Tento postup opakujeme alespoň čtyřikrát, cílem je dosáhnout přijatelné shody výstupních nf napětí na obou koncích pásmá. Ladící napětí je třeba vždy nastavovat na stejnou velikost, třeba pomocí přepínáren pevných délčíků napětí ze stabilizovaného zdroje, nebo kontrolovat napětí číslicovým voltmetrem na dvě desetinná místa. Tím je zhruba nastaven rozsah oscilátoru středních vln.

Oscilátor dlouhých vln nastavujeme při kmitočtu generátoru 150 a 300 kHz, oscilátor krátkých vln při kmitočtech generátoru 6,00 a 12,45 MHz. Nejmíňa-li některý z oscilátorů, zkontrolujeme a případně opravíme zapojení obvodů (prohodíme např. konce vazebního vinutí).

Nastavení vstupních obvodů. Jelikož jsou vstupní obvodech použity pásmové propusti, u nichž se může s laděním měnit vazba z podkritické na nadkritickou, je nutné postupovat jinak, než když ladíme jednoduché obvody. Signální generátor připojíme na vstup přijímače a nastavíme jej na kmitočet dolního sladovacího bodu laděného rozsahu. Přijímač nastavíme ladícím napětím na stejný kmitočet. Paralelně k jednomu z obvodů pásmové propusti připojíme tlumici rezistor asi 5,6 k Ω a druhý dolaďujeme ladícím jádrem na maximum na výstupu. Při ladění zmenšujeme postupně vstupní signál až od 50 mV až do úrovně, kdy přestává pracovat AVC. Potom připojíme paralelně k nadládenému obvodu rezistor 5,6 k Ω , zvětšíme vstupní úroveň signálu a dolaďme stejným způsobem nadládený obvod (druhou část propusti). Generátor a přijímač přeladíme na horní sladovací bod, nadládime nezatlumený obvod příslušným dolaďovacím kondenzátorem na maximum na výstupu. Tlumící rezistor přepojíme na nadládený obvod a nadládený nadládime na maximum. Postup sladování v obou sladovacích bodech několikrát opakujeme.

Nastavení lze kontrolovat podle stavu vybavení pracoviště. Je-li k dispozici vf milivoltmetr, lze jej připojit na vstup IO (u A244D vývod 1) a při nadládení přijímače na libovolný kmitočet zjistit rozladováním generátoru změnu vf napětí od napětí při nadládeném přijímači. Vysokofrekvenční signál na vstupu IO (u A244D vývod 1) musí být vlivem vf automatiky na nízké úrovni. Aby bylo možno tento signál měřit na úrovni alespoň 100 mV, je třeba vyřadit vf automatiku z funkce a to např. kondenzátorem asi 100 nF, zapojeným z kolektoru vf zesilovače v zesilovači vysokofrekvenční automatiky proti zemi.

Možné přebuzení vstupním signálem kontrolujeme na výstupu přijímače osciloskopem.

Souběh lze kontrolovat tak, že například při nastavení přijímače na body souběhu rozladíme signální generátor kolem těchto bodů (kmitočtů) na obě strany a za současného dolaďování zjišťujeme maxima změn vf signálu vf milivoltmetrem. Změnu vf napětí nemají být větší než ± 3 dB oproti napětí při vyláděním signálu. Protože šířky propustnosti pásmových propustí jsou v každém rozsahu přijímače jiné a ještě se mění v rozsahu tak, že na začátku rozsahu je propustnost až čtyřikrát menší než na konci rozsahu, bude jim úměrné i rozladování; u popisovaných přijímačů je rozladování pro dlouhé vlny 5 až 20 kHz, pro střední vlny 15 až 60 kHz a pro krátké vlny 150 až 600 kHz. Souběh můžeme kontrolovat i tak, že přeladíme každý rozsah při malém vstupním signálu (10 až 20 μ V) a měříme na výstupu poměr signál + šum ku šumu. Odchylky by neměly přesahnout 6 dB. Je-li vyláděny signály na strmé boku vstupní pásmové propusti, je zkreslena modulace vlivem příliš potlačeného postranního pásmá amplitudové modulace. Nedosáhne-li se podle uvedených pokynů optimálních výsledků, znamená to, že souběhové body jsou ladícím napětím kmitočtově posunuty – pak je třeba je „vrátit zpátky“ a znova přeladit uvedeným způsobem vstupní obvody.

Je-li v přijímači použit mezifrekvenční odlaďovač, nastavíme ho tak, že přivedeme na vstup přijímače ze signálního generátoru nadládeného na mf kmitočet a amplitudově modulovaného signál o takové úrovni, aby prošel přijímačem na výstup a jádrem odlaďovače nastavujeme minimum výstupního

napětí při současném zmenšování úrovně vstupního signálu.

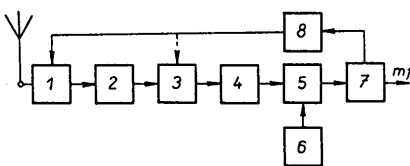
Máme-li k dispozici vf milivoltmetr, měříme i úroveň oscilačního napětí, které by u A244D mělo být na vývodu 5 asi 150 mV, u UL1204N (TDA1046) na vývodu 15 asi 300 mV a u A4100D na vývodu 3 asi 10 mV. Vývod 3 A4100D nesmíme zatížit kapacitou. Hrubě lze oscilátor naladit i pomocí záznežů na druhém přijimači.

Ladění několikaobvodové soustředěné selektivity. Pokud je jako náhrada za keramický filtr AM zapojen obvod soustředěné selektivity, pak signál z generátora přiváděme na vstup IO, stejně jako při sládování mf zesilovače. Na první obvod soustředěné selektivity připojíme přes kondenzátor 1,5 až 3 pF v milivoltmetru. Generátor naladíme na mf kmitočet (455 kHz) a jeho výstupní úroveň nastavíme tak, aby na milivoltmetru bylo asi 100 mV. Potom druhý obvod zkratujeme a první obvod naladíme na maximální výchylku milivoltmetru. Po naladění prvního obvodu zkratujeme třetí obvod a ladíme druhý obvod na minimální výchylku milivoltmetru. Pak zkratujeme čtvrtý obvod a třetí obvod naladíme na maximální výchylku milivoltmetru atd. S přibývajícím počtem obvodů se výchylky maxim a minim zmenšují. Poslední obvod naladíme tak, že vf milivoltmetr odpojíme a první a poslední obvod naladíme na maximální výstupní nf napětí. Bude-li použit filtr soustředěné selektivity, musí mít poslední obvod odbočku asi na 1/10 závitů, aby vstupní odpor mf zesilovače nezatlumoval příliš tento obvod a nezhoršoval jeho jakost.

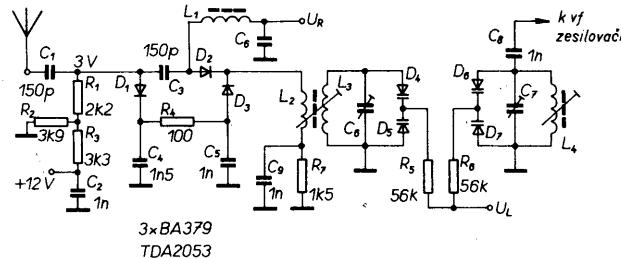
Přijímače signálů FM

Další části autopřijímače bývá přijímač VKV. Přijímač VKV je sestaven z jednotky VKV (obr. 68), mezfrekvenčního zesilovače, obvodu pro potlačení poruch, dekodéru dopravního rozhlasu ARI a stereofonního dekodéru. U starších typů obvod pro potlačení rušení, dekódér dopravního rozhlasu ARI a u monofonních i stereofonních dekodérů bývají vypuštěny.

Na řešení jednotky VKV (i samozřejmě na řešení mf zesilovače) závisí parametry přijímače VKV. Nejprve venujeme pozornost možným variantám zapojení jednotky VKV, vhodné pro použití v dobrých autopřijímačích. Na obr. 68 je blokové zapojení vstupní jednotky VKV. Signál z antény je přiveden na útlumový článek s diodami PIN (1), z něj na jednoduchý nebo dvojitý vstupní obvod (2), z kterého je veden na vf předzesilovač (3) s tranzistorem MOSFE. Do jeho kolektoru (D) bývá zapojen jednoduchý nebo pásmový laděný obvod (4), z něhož je signál veden do směšovače (5). Do směšovače je přiveden i signál z místního oscilátoru (6), který po smíšení se vstupním signálem vytvoří mezfrekvenční signál, který odebíráme k dalšímu zpracování v mf zesilovači (7). Z výstupu



Obr. 68. Blokové zapojení jednotky VKV:
1 – regulátor zisku s diodami PIN, 2 – první pásmová propust, 3 – vf předzesilovač, 4 – druhá pásmová propust, 5 – směšovač, 6 – oscilátor, 7 – výstupní mf propust, 8 – zesilovač AVC



Obr. 69. Zapojení regulátoru zisku s PIN a první pásmové propusti

filtru zapojeného na výstup směšovače je odebíráno někdy mf signál, který se po usměrnění používá k řízení zesilovače AVC (8). Z výstupu zesilovače AVC bývá řízen bud' útlumový článek PIN nebo v předzesilovači.

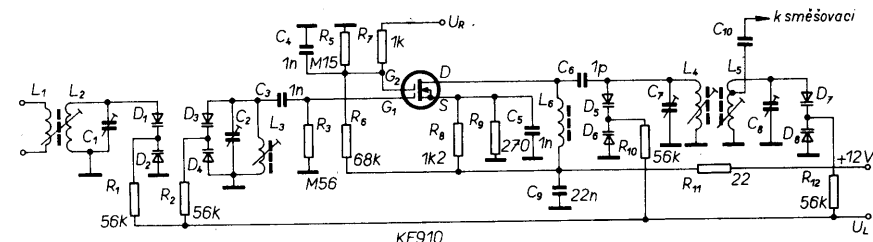
Na obr. 69 je příklad zapojení vstupního obvodu jednotky VKV s regulací zisku diodami PIN a se dvěma laděnými obvody. Signál z antény je přes C_1 veden na regulátor s diodami PIN, $D_1D_2D_3$. Průběh regulace zisku je určen rezistory $R_1R_2R_3R_7$ a to tak, že regulace začíná při 7 V a maximální bude při 1,5 V. Regulační napětí se přivádí přes tlumivku L_1 (6,8 μ H, navinutou na jádru hmoty N1). Z kolektoru D_1 je signál přes C_6 veden na primární část pásmové propusti $L_4C_7D_5D_6$ a indukční vazbu, určenou vzdáleností cívek L_4 a L_5 , je přenesen do sekundární části pásmové propusti $L_5C_8D_7D_8$. Z této propusti je signál veden z odbočky (nebo z celého vinutí, nebo přes vazební vinutí) do směšovače. Při odběru vf signálu z odbočky může mít C_{10} větší kapacitu než při odběru vf signálu z celého obvodu, přitom následující prvek neovlivňuje jakost pásmové propusti, zapojené mezi vf předzesilovačem a směšovačem. Je-li jako směšovač zapojen IO, používá se obvykle vazebním vinutím.

Ladicí napětí je na jednotlivé varikapky přivedeno přes $R_1R_2R_{10}R_{11}$.

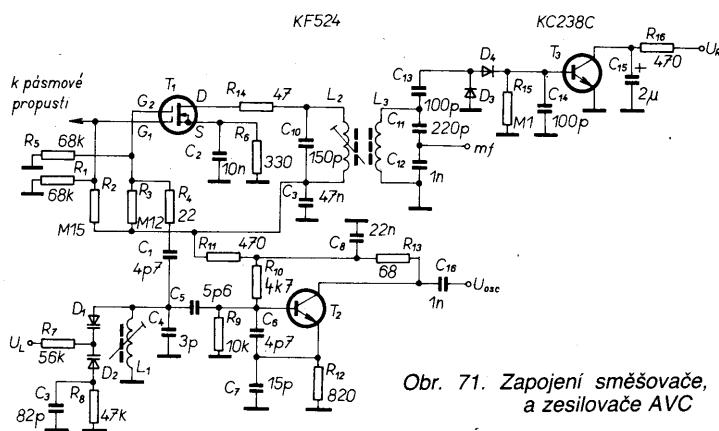
Na obr. 71 je zapojení směšovače a oscilátoru s tranzistory. Výstupní signál je ze sekundární strany propusti veden na G_1 , tranzistoru T_1 , a signál z místního oscilátoru je přiveden na vstupní tranzistor. Kondenzátorem C_9 je vf uzemněno vazební vinutí L_2 . Ladici napětí se na varikapky přivádí přes R_5R_6 . Toto zapojení se používalo zejména v jednotkách VKV s bipolárními tranzistory, které nejsou vhodné pro zpracování velkých vstupních signálů. Při zapojení s tranzistory MOSFE se dvěma řídícimi elektrodami se regulátor s diodami PIN vypouští. U většiny současných autopřijímačů bývá vypuštěna i vstupní pásmová propust, která se nahrazuje jednoduchým laděným obvodem s vazebním vinutím na anténu. Problematikou výběru vhodných součástek se budeme zabývat na konci statě o jednotkách VKV. Použití pásmové propusti na vstupu zlepšuje ovšem selektivitu (možnost potlačení vlivu silných signálů) a tím zlepšuje odolnost proti křízové modulaci, což je výhodné zejména u autopřijímačů, neboť ty pracují rychle se měnících příjemových podmínkách.

Na obr. 70 je zapojení vstupního vf předzesilovače vhodného pro připojení k různým typům směšovačů. Vstupní signál je přiveden na vazební vinutí L_1 s impedancí 150 Ω . Indukční vazbou je signál přenesen na primární část pásmové propusti $L_2C_1D_1D_2$ a indukční vazbou, nastavenou vzdáleností cívek L_2 a L_3 , na sekundární část pásmové propusti $L_3C_2D_3D_4$. Z ní je vstupní signál přes

Na obr. 71 je zapojení směšovače a oscilátoru s tranzistory. Výstupní signál je ze sekundární strany propusti veden na G_1 , tranzistoru T_1 , a signál z místního oscilátoru je přiveden na vstupní tranzistor. Pracovní bod T_1 je nastaven $R_1R_2R_3R_5R_6$. Oscilátor pracuje s tranzistorem T_2 a obvodem $L_1D_1D_2C_2C_4C_5C_6C_7$. Pracovní bod T_2 je nastaven $R_9R_{10}R_{11}R_{12}R_{13}$. Kondenzátor C_3 je souběžný a C_6C_7 určují zpětnou vazbu. Z kolektoru je možné odebírat přes C_{16} signál oscilátoru pro digitální stupnice. Rezistorem R_{11} je oscilátor oddělen od ostatních obvodů napájení. Přes R_7 je přiváděno ladící napětí a R_8 uzavírá obvod závěrného proudu D_1D_2 . Smíšený oscilační a vstupní signál vytvoří mezfrekvenční signál, který je z kolektoru T_1 veden přes R_{14} na primární stranu mf pásmové propusti $C_{10}L_2$ a indukční vazbou na sekundární část mf pásmové propusti, $L_3C_{11}C_{12}$. Ze spoje $C_{11}C_{12}$ je mf signál veden do mf zesilovače. Ze sekundární části mf pásmové propusti je rovněž mf signál přes C_{13} veden na zdvojovávač napětí $D_3D_4R_{15}C_{14}$. Stejnosměrným napětím z výstupu zdvojovávače je řízen zesilovač AVC T_3 , z jehož kolektoru je veden regulační napětí buď do vstupního vf předzesilovače nebo do regulátoru PIN. Kondenzátorem C_{14} je vyfiltrován zbytek mf napětí a C_{15} určuje časovou konstantu obvodu AVC.



Obr. 70. Zapojení první a druhé pásmové propusti a vf předzesilovače (mezi G_1 a spojem R_6, R_8 chybí $R_4, 150 \text{ k}\Omega$)



Obr. 71. Zapojení směšovače, oscilátoru a zesilovače AVC

Na obr. 72 je zapojení směšovače a oscilátoru s tranzistorem p-n-p a IO SO42P nebo UL1042N. Signál je ze sekundární části pásmové propusti L₄D₃D₄C₃ indukčně přes vazební vinutí L₃ přiveden na vstup dvojitého balančního směšovače v IO. Do IO je přes vazební vinutí L₅ přiveden i signál z místního oscilátoru. Oscilátor je vnější a pracuje s tranzistorem T₁ a laděným obvodem L₆C₄L₁D₂C₅C₇C₈. Zpětná vazba zemitoru do kolektoru T₁ je zavedena přes R₄C₈. Rezistor R₄ zabraňuje parazitnímu nežádoucímu kmitání. Kondenzátor C₅ je souběžový a přes R₂ je uzavíráno obvod závěrného proudu varikapů D₁D₂. Pracovní bod T₁ je nastaven rezistory R₆R₇R₈, napájecí napětí oscilátoru je od ostatních napájecích napětí odděleno R₁₁. Ze spoje R₄C₇C₈ je signál oscilátoru přes C₁₃ veden na oddělovací stupeň T₂, z jehož kolektoru je dále veden přes C₁₅ do obvodu digitální stupnice. Pracovní bod T₂ je nastaven R₉. Rezistor R₁₀ je pracovním rezistorem pro T₂. Pro pozici T₁,T₂ je nutné použít v tranzistory, např. BF506 a KF125. Smísený signál vstupní a oscilační vytváří mezfrekvenční signál, který je přiveden na primární část pásmové mf propusti L₁C₁. Cívka L₁ má středový vývod, přes který jsou napájeny kolektory směšovače v IO. Přes vazební vinutí L₂ a kondenzátor C₁₀ je mf signál přiveden na sekundární část pásmové mf propusti L₇C₁₁C₁₂. Ze spoje C₁₁C₁₂ je mf signál veden do mf zesilovače. Rezistorem R₅ je odděleno ladící napětí oscilátoru.

Na obr. 73 je zapojení směšovače a oscilátoru s TDA1062 nebo K174ChA15 (ze SSSR). IO TDA1062 je IO pro celou jednotku VKV, ale praxe ukázala, že je vhodné předřadit před něj vf předzesilovač s tranzistorem

MOSFET. Vstupní signál na směšovač je přiveden ze sekundární části vf pásmové propusti L₄D₃D₄ přes vazební vinutí L₃. Vf předzesilovač v IO není zapojen. Pro místní oscilátor je využit vnitřní oscilátor v IO, který je přes vazební vinutí L₂ navázán indukčně na laděný oscilační obvod L₁D₁D₂. Snaha zmenšit počet operací při ladění jednotky VKV vedla výrobce IO k nekonvenčnímu způsobu ladění, tj. ve sladovacím bodu měnit kapacitu varikapů odporovými trimery R₂R₉. Stejný způsob dodládání používá ve své jednotce VKV i TESLA Bratislava. Smísený vstupní a oscilační signál je jako mf signál veden do mf obvodu L₆C₈ (také se středním vývodom cívky L₆) a přes vazební vinutí L₅ do mf zesilovače. Z jednoho kolektoru tranzistorů balančního směšovače v IO je mf signál přes C₉ přiveden na zdvojovač napětí D₅D₆D₁₂, zbytek mf signálu je odfiltrován C₁₀. Stejnospěrným napětím ze zdvojovače je řízen zesilovač AVC T₁ a z jeho kolektoru přes R₁₃ je vyvedeno regulační napětí do vf předzesilovače (např. z obr. 70).

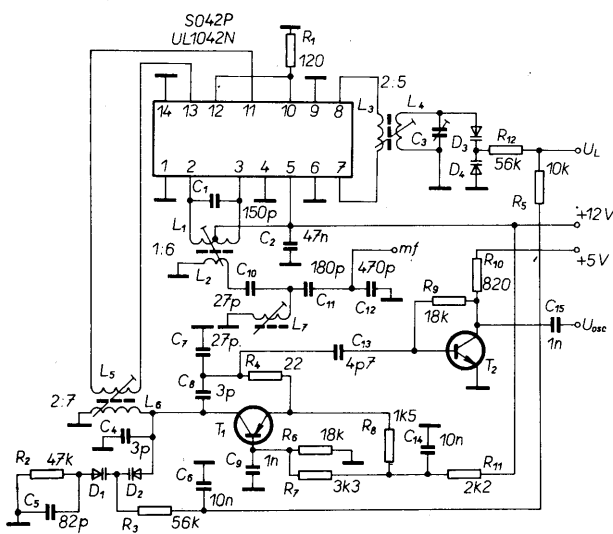
Součástky pro přijímače VKV

Dále si uvedeme zásady výběru vhodných součástek pro vstupní jednotky VKV. Pro vf předzesilovače je nevhodnější použít tranzistory MOSFE se dvěma řidicími elektrodam typu KF910, KF907, SM200 (NDR), KP350 (SSSR). TESLA Piešťany připravuje nový typ těchto tranzistorů, KF981. Na pozici směšovače je nevhodnější použít dvojitý integrovaný balanční směšovač, který potlačuje velmi účinně pronikání mf signálu na vf vstup směšovače, např. SO42P, UL1042N.

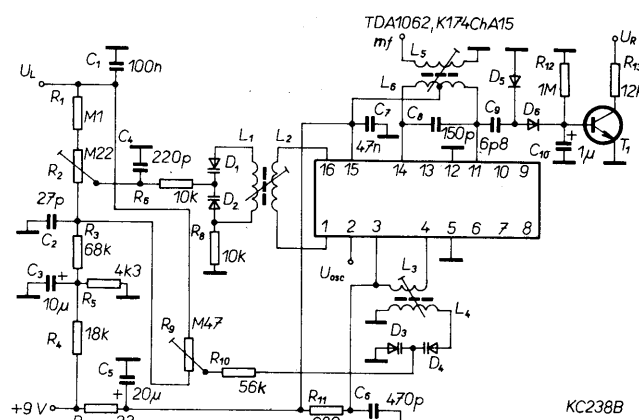
(PLR), TCA240, TDA1574, TDA1062 a jeho sovětský ekvivalent K174ChA15. Posledně jmenované obvody jsou vlastně celým přijímačem VKV. I když se s těmito obvodami dosahuje relativně dobrých výsledků, je vzhledem k možnosti vzniku křízové modulace lépe nezapojovat vf zesilovač v IO a před IO zapojit tranzistor MOSFE.

V současné době se v jednotkách VKV pro ladění používají většinou varikapy. Aby bylo možné bez zkreslení zpracovávat velké signály, je nejlépe použít do jednoho laděného obvodu vždy dva varikapy zapojené v „protitaktu“. Z varikapů vyráběných v k. p. TESLA jsou nevhodnější typy KB109G a KB205B, KB304. Varikapy KB304, které budou od letošního roku vyráběny, jsou dvojice varikapů v protitaktovém zapojení. Pro jednotky VKV jsou z uvedených typů varikapů nevhodnější KB109G, které mají velkou počáteční kapacitu a není proto třeba tak pečlivě „hlídat“ parazitní kapacity (jako např. u KB205B). Pro oscilátor jsou nevhodnější tranzistory KF124, KF125, SF235; SF245 nebo BF506 (MLR, který je použit v kanálových voličích TVP).

Pro zesilovač AVC je vhodné použít KC238C a pro usměrnění mf signálu pro zesilovač AVC je vhodné použít bud germaniové diody nebo Schottkyho diodu KAS22. Do obvodu vf zesilovače jsou vzhledem k malému šumu výhodnější rezistory TR 191 než TR 212, neboť by se v některých případech mohlo s TR 212 zhoršit šumové číslo jednotky VKV. Pro těleska cívek je vhodné použít kostičky o průměru 4,5 mm a „vystárnutá“ feritová jádra z hmoty NO1 P pro vf obvody a pro mf obvody použít cívky v krytu o straně asi 7×7 mm. U oscilátoru bývá výhodnější použít pro dodládování mosazná nebo hliníková jádra, která stárnutím nemění vlastnosti obvodu. Velkou pozornost je třeba věnovat zejména výběru vhodných typů kondenzátorů, protože autopřijímač pracuje v širokém rozsahu teplot a při použití předvolby by předvolený vysílač, vlivem změny kmitočtu zejména oscilátoru, mohl časem „zmizet“. V zapojení na obr. 67 by dodládovací proměnné kondenzátory C₁,C₂,C₇,C₈ měly být keramické s co nejmenším teplotním koeficientem (popř. záporným). Blokovací a vazební kondenzátory 1 nF doporučujeme TK 744 a rovněž tak blokovací kondenzátory 22 nF, 10 nF, C₃ v obr. 68 je typu TK 783, C₆ v obr. 70 by měl mít teplotní součinitel +100.10⁻⁶/K, z čs. výrobků bude nevhodnější TK 656, C₁ na obr. 71 má mít nulový teplotní součinitel, nevhodnější z našich bude TK 754, C₂ na stejném obrázku je TK



Obr. 72. Zapojení oscilátoru a směšovače s SO42P nebo UL1042N



Obr. 73. Zapojení oscilátoru a směšovače s TDA1062 (K174ChA15)

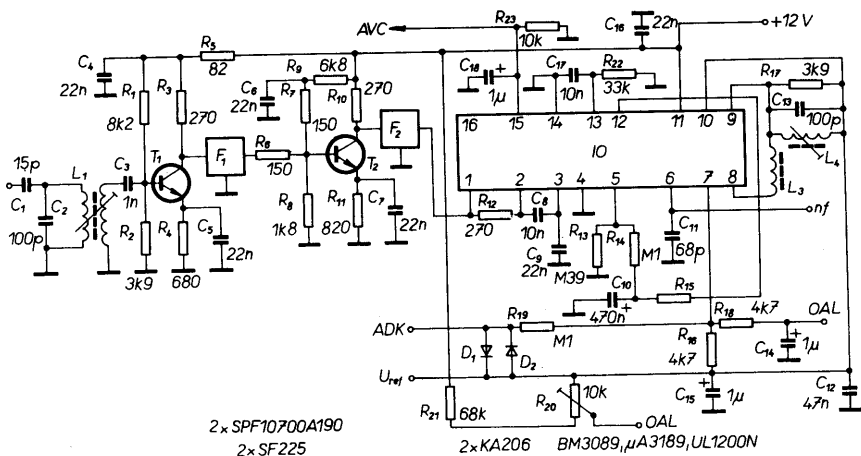
744, C₃ TK 774, C₄ z materiálu negatit N470, z našich TK 676, C₅ by měl mít nulový teplotní součinitel, z našich je vhodný TK 754, C₆ stejně jako C₅, C₇ TK 785, C₈ TK 744, C₉ TK 783, C₁₀ styroflex TGL5155, C₁₁ TK 754, C₁₂ TK 744, C₁₃ a C₁₄ TK 754, C₁₆ TK 744. Dále by jednotka VKV měla mít kryt s přepážkou mezi výstupem předzesilovačem, směsovačem a oscilosátorem.

Mf zesilovače pro FM

V následujícím pojednání věnujeme pozornost mezifrekvenčním zesilovačům pro FM. Na obr. 57 bylo uvedeno zapojení kombinovaného IO A4100D. Vstupní mf signál je přes C₂ veden na laděný obvod C₃L₁ a přes vazební vinutí L₂ a C₈ do báze T₁ a z jeho kolektoru přes keramický filtr F₁ na vstup symetrického zesilovače (vývod 9 IO), jehož druhý vstup je vf přes C₁₄ uzemněn. Za mf zesilovačem je zapojen omezovač a koincidenční detektor. Fázovací obvod detektora se skládá z R₁₅C₂₂L₈C₂₃C₂₅L₉C₂₄R₁₆. Fázovací obvod je zapojen jako pásmová propust, čímž se změňuje zkreslení. Je zřejmé, že detektor bude detektovat signál FM, i když vypustíme C₂₃C₂₅C₂₄L₉R₁₆. Potřebné fázovací kondenzátory jsou součástí IO. Není signál je k dispozici na vývodu 14 IO. Při provozu mono platí pro R₁₇ a C₂₇ uvedené hodnoty, při provozu stereo platí hodnoty uvedené v závorce. Z výstupu nf je ss složka po detekci vedená do zesilovače ADK a z jeho výstupu (vývod 11 IO) do jednotky VKV nebo zdroje ladicího napětí. Část mf signálu je uvnitř IO usměrněna a přivedena do součtového obvodu indikátoru síly pole (vývod 15IO). Tranzistor T₂ odpojuje ADK při provozu AM.

Na obr. 59 bylo zapojení jiného typu kombinovaného IO přijímače AM-FM, IO UL1220N. Vstupní mf signál je veden přes F₂ (keramický filtr) na vstup symetrického zesilovače (vývod 16 IO), jehož druhý vstup (vývod 14 IO) je přes C₁₀ vf uzemněn. Protože vstupní odpór mf zesilovače je asi 6,5 kΩ a výstupní odpór filtru F₂ je 330 Ω, je třeba mezi vývody 16 a 15 IO zapojit R₇. Vývod 15 je vf uzemněn přes C₁₁C₁₀. Za mf zesilovačem je zapojen omezovač a detektor FM s detekčním obvodem L₂R₄R₅C₆C₉L₆. Cívka L₂ zajišťuje fázový posuv. Nf signál je vyveden na vývod 9 IO na R₂C₂ a přes R₁C₁ je odebírána ss složka pro ADK.

Pro mezifrekvenční zesilovače FM byly využity dva typy IO, které kromě zesilovače, omezovače a detektoru mají řadu doplňkových funkcí, jako např. tiché ladění, výstup pro indikátor síly pole a obvod ADK. Na obr. 74 je zapojení mf zesilovače FM s IO BM3089 (RSR), μA3189 (MLR) a UL1200 (PLR). Jedná se o ekvivalentní IO, ale μA3189 se od BM3089 liší tím, že mezi



Obr. 74. Zapojení mf zesilovače s BM3089, UL1200N nebo μA3189

vývody 15 a 16 je zapojen oddělovací stupeň, takže napětí AFC je odebíráno u μA3189 z vývodu 16. Mf zesilovač s BM3089 má kromě zesilovače, omezovače a symetrického koincidenčního demodulátoru ještě dodatečné stupně pro napětí ADK (vývod 7), pro regulaci zisku jednotky VKV a výstup pro indikátor síly pole (vývod 13). Dále je v IO spínač tichého ladění, který sepne při zmenšení signálu pod danou úroveň a odpojí výstup nf signálu. Prahová úroveň je nastavena déličem R₁₃R₁₄. Tranzistory T₁ a T₂ dodatečně zesilují mf signál, čímž kompenzují útlum keramických filtrů a umožňují nastavit takovou mez omezení (limitaci), která je pod úrovni šumem omezené citlivosti, čímž se zejména u autopřijímače dosáhlo dobrého potlačení AM a malého činitele zkreslení. Cívka L₃ zabezpečuje potřebný fázový posuv v koincidenčním demodulátoru. Detekční obvod L₄C₁₃R₁₇ je nalaďen na střední kmitočet keramických filtrů F₁F₂. Přes R₁₉ je napětí ADK přivedeno do jednotky VKV. Referenční napětí pro přesné naladění je odebíráno z vývodu 10 IO. Diodami D₁D₂ je omezen rozsah doladění napětí ADK. R₁₈C₁₄ tvoří dolní propust pro potlačení střídavého napětí v závislosti na obsahu modulace. Tato napětí spolu s napětím z R₂₀ je vedené na vstup diferenciálního zesilovače v obvodu automatického ladění (OAL), o němž se zmíníme později.

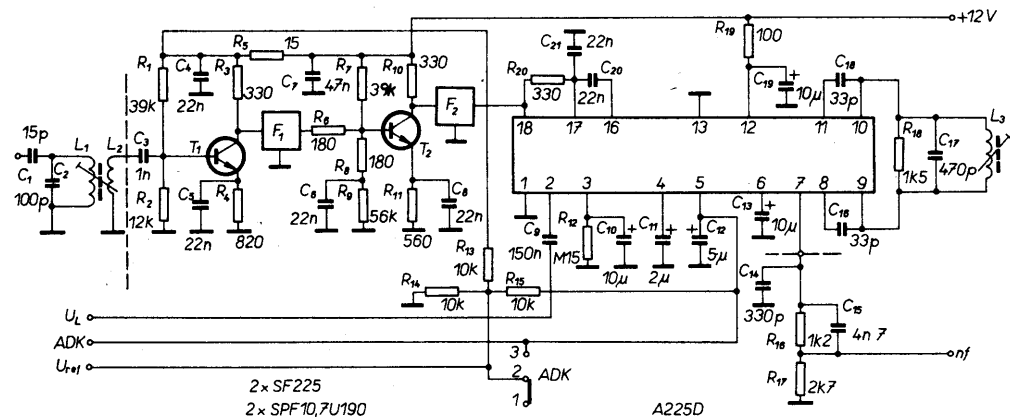
Na obr. 75 je zapojení mf zesilovače FM s IO A225D (NDR). Z výstupu vstupní jednotky VKV je veden mf signál přes C₁ na L₁C₂ a přes vazební vinutí L₂ na zesilovač T₁ a T₂. Keramické filtry F₁F₂ zajišťují potřebnou selektivitu a jejich útlum je vyrovnan zesilovači s T₁ a T₂. Celkový zisk mf zesilovače je nastaven tak, aby bylo dosaženo co nejmenší omezení. Hlavní zesílení je soustředěno

do IO A225D, v němž je signál zesilován, omezován a detektován. Demodulační obvod L₃C₁₇R₁₈ je nalaďen na střední kmitočet keramických filtrů. Kondenzátory C₁₆ a C₁₈ napojují detekční obvod L₃C₁₇R₁₈ na výstup omezovače v IO a zabezpečují potřebný fázový posuv pro koincidenční demodulátor. Demodulační obvod je zatlumen rezistorem R₁₈, čímž je dosaženo malého činitele nelinielného zkreslení. Na vývodu 7IO je demodulovaný nf signál, C₁₄ potlačuje zbytky mf signálu.

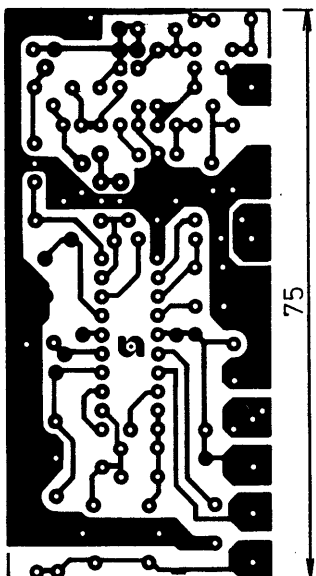
Použitý typ keramických filtrů je vhodný pouze pro monofonní přijímače.

Aby se u stereofonních přijímačů dosáhlo požadovaného oddělení kanálů, jsou součástkami R₁₆C₁₅R₁₇ zdůrazněny vyšší kmitočty multiplexního signálu. V IO A225D je obvod pro získání dodávovacího napětí. Na rozdíl od obvodů jako je poměrový detektor, IO A220D nebo BM3089 a UL1200N je u A225D regulační veličinou pro dodávování kmitočtu proud, který je závislý na vzniklému rozladování, proud podle směru rozladení teče do nebo z vývodu 5. Proud prochází přes R₁₅ a příslušný úbytek napětí se používá jako dodávovací napětí pro jednotku VKV. Kondenzátor C₁₂ odfiltruje zbytky nf signálu.

Běžec ladicího potenciometru je přes C₉ spojen s vývodem 2 IO. Ladicí napětí přiváděné přes C₉ vyvolá na vývodu 2 změnu napětí, která zvláštním vnitřním obvodem v IO odpojí ADK a proud z vývodu 5 IO bude roven nule. Po skončeném ladění, tzn. když se na vývodu 2IO nemění napětí, se po době určené časovou konstantou R₁₂C₁₀, tj. asi po 1 s, připojí obvod ADK a je v činnosti dodávací obvod. V mezních situacích je možné ADK odpojit spínačem ADK.



Obr. 75. Zapojení mf zesilovače s A225D



C ₃	TK 724, 1 nF
C ₄ , C ₅ , C ₆ , C ₈ , C ₂₀ , C ₂₁	TK 744, 22 nF
C ₇	TK 783, 47 nF
C ₉	TK 782, 150 nF
C ₁₀ , C ₁₃ , C ₁₉	TE 003, 10 μ F
C ₁₂	TE 004, 5 μ F
C ₁₁	TE 005, 2 μ F
C ₁₆ , C ₁₈	TK 754, 33 pF
C ₁₇	TC 281, 470 pF
Filtr	
F ₁ , F ₂	SPF10, 7U190
Tranzistory a IO	
T ₁ , T ₂	SF225 (KF173)
IO	A225D

L ₁ , L ₂	mf transformátor na vstupní jednotce VKV
L ₃	0,47 μ H, 8 závitů, drát o Ø 0,25 mm CuU, jádro M4×0,5×8 mm, N01, kostra 1PA 26051, kryt 1PF 69815

U nových IO pro jednotky VKV, jako je např. TDA1574 (Valvo), jsou první dva stupně mf zesilovače součástí tohoto IO.

Dalším obvodem zapojeným v části VKV autopřijímače bývá obvod pro

automatické vyklíčování poruch

Při jízdě autem se mění nejen intenzita žádaného signálu v závislosti na krajině, vzdálenosti od vysílače nebo zastavěných plochách, ale i intenzita rušivých polí produkovaných zdroji rušení, při čemž rušení zkresluje nebo i znemožňuje příjem. Toto rušení je výsledkem zakmitávání elektrických obvodů, u nichž se rychle mění napětí nebo proud. Zdroji takového rušení mohou být různé vypínače, přerušovače, svárcení agregáty, jískřičky apod. V některých případech můžeme taková rušení potlačit na přijatelnou míru vhodnými odrušovacími prostředky. Některé zdroje rušení jako je např. trolejové vedení hromadné dopravy, vedení vysokého napětí bývají zdroji rušení, které se odstraňuje velmi nesnadno a působí na velké vzdálenosti. Rušivé impulsy jsou obvykle velmi úzké (jehlovité) a proto jejich spektrum zasahuje i do pásmo VKV. Zatímco potlačení rušivých signálů při příjmu AM není dosud zcela vyřešeno, při odrušování signálů FM bylo dosaženo uspokojivých výsledků. I při dokonalém odrušení automobilu mohou vznikat rušení, která se přenáší vzhledem k velké šířce pásmo části FM na její výstup a zhoršují podmínky příjmu. Proto je zapojení obvodu pro automatické vyklíčování poruch (OAVP) do přijímače VKV značným přínosem. Princip OAVP je v podstatě velmi jednoduchý. V okamžiku, kdy vznikne rušivý impuls, se přenosová cesta po žádaný signál přeruší a obnoví se po skončení rušivého impulsu. Reálné rušivé impulsy mají většinou velkou amplitudu a jsou velmi úzké – řádu jednotek μ s. Přerušení signálové cesty po takovou dobu nepůsobí rušivě.

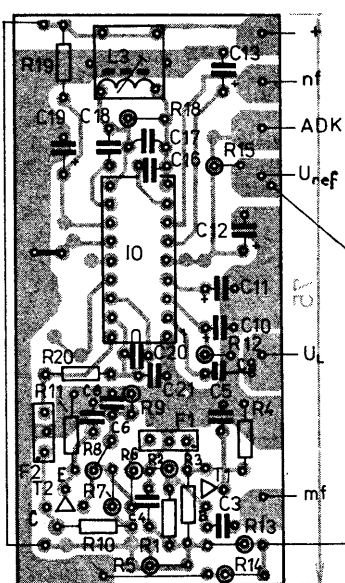
Rušivý impuls na výstupu detektoru má strmu náběžnou hranu a sestupnou hranu je relativně povolná. Při poloviční šířce pásmo mf zesilovače 100 kHz je doba „dozívání“ impulsu asi 3 μ s, takže minimální šířka impulsu po průchodu mf zesilovačem bude 3 μ s. Šířka impulsu je závislá nejen na šířce pásmo, ale i na selektivitě mf zesilovače. Pro přerušení cesty žádaného signálu lze jako spínače využít tranzistoru. Pro řízení tohoto spínače lze při FM využít rozdělení užitečného a rušivého signálu a rušivé signály použít jako řídící napětí pro spínač. Vzhledem k vlastnostem kmitočtové modulace je nutné volit šířku pásmo mf zesilovače podstatně větší, než je přenášené akustické pásmo,

takže zesilovač může přenést i nejvyšší kmitočet při stereofonním signálu, tj. 53 kHz. Když přivedeme signál z detektoru FM, který nemá zapojen obvod deemfáze, na rezonanční obvod, nalaďený např. na 100 kHz, tak sice potlačíme užitečný signál, ale strmá náběžná hranu rušivého impulsu vybudí kmity v rezonančním obvodu, kterými lze ovládat spínač v cestě užitečného signálu. Spínač lze např. ovládat monostabilním klopným obvodem, který je spouštěn kladnou vzestupnou hranou rušivého impulsu. Napětí vybuzené rušivým impulsem na rezonančním obvodu má charakter tlumených oscilací s exponentiálním poklesem amplitudy (je dán tlumením rezonančního obvodu). Napětí na obvodu se velmi rychle zvětší (v kladném „směru“) a začíná tlumené oscilovat s periodou danou konstantou obvodu LC. Při kladné náběžné hraně rušivého impulsu tedy monostabilní klopný obvod okamžitě sepne a vyklíčovací tranzistor téměř dokonale vyklíčuje rušivé impulsy. Avšak při záporné náběžné hraně rušivého impulsu se napětí na rezonančním obvodu opět rychle zvětší (v záporném „směru“), takže monostabilní klopný obvod, spouštěný kladnou náběžnou hranou, se uvede do činnosti teprve po čtvrtperiodě nebo i půlperiodě, tj. v první kladné maximu vybuzených kmítů. Pokud rezonanční obvod je nalaďen na 100 kHz, bude monostabilní klopný obvod uveden do funkce až po 2,5 až 5 μ s. To znamená, že vyklíčovací tranzistor může být uveden do funkce až po skončení rušivého impulsu, jehož délka je shodná s uvedeným zpožděním. Tento jev lze odstranit nalaďením rezonančního obvodu na 180 kHz, to však vyžaduje, aby mf zesilovač měl dostatečnou selektivitu, jinak se vlivem záznějů mezi sousedními vysílači může zhoršit příjem.

Při vyšším kmitočtu rezonančního obvodu musí mít rušivý signál velmi strmé čelo, aby kmity na obvodu měly dostatečnou amplitudu. Takové impulsy vznikají např. v zapalovacím systému automobilu. Zvýšením kmitočtu rezonančního obvodu se sice zpoždění změní, ale neodstraní. Proto se do obvodu užitečného signálu zapojuje zpoždovací vedení, které má stejně zpoždění, jako řídící impuls, tj. 2,5 až 5 μ s.

Pokud budeme respektovat předchozí požadavky, můžeme snadno sestavit obvod automatického vyklíčování poruch. Signál z detektoru FM je rozvětven do dvou signálových cest. V první cestě se selektivním obvodem 100 až 180 kHz se potlačuje užitečný signál a zdůrazňuje se signál s rušicími impulsy, který v selektivním obvodu vybudi tlumené kmity. Za selektivním obvodem je zapojen zesilovač a tvarovač rušicích impulsů a z něho je řízen monostabilní klopný obvod, na jehož výstupu je impuls se šířkou 30 až 50 μ s, kterým je ovládán elektronický spínač. Šířku řídícího impulsu 30 až 50 μ s volíme s ohledem na dozívání oscilací v laďeném obvodu, proto je nutné, aby laděný obvod byl dostatečně tlumen, neboť při velkém činiteli jakosti laděného obvodu by oscilace dozívaly mnohem déle a byly by v činnosti monostabilní klopný obvod.

V druhé cestě pro užitečný a rušivý signál je zapojeno zpoždovací vedení, v kterém je signál zpožděn o 5 μ s. Za zpoždovacím vedením je zapojen elektronický spínač, který je stále otevřen a po příchodu rušivého signálu se na dobu 30 až 50 μ s uzavírá. Za elektronickým spínačem je zapojena analogová paměť RC. Bez této paměti by byl signál „vyseknut“. Paměť uchovává po uzavření klíče poslední úroveň žádaného signálu, který byl na jejím vstupu před uzavřením



Obr. 76. Deska s plošnými spoji zesilovače mf z obr. 75 (deska X214). Na desce se spoji nejsou L₁, L₂, C₁, C₂, C₁₄, C₁₅ a R₁₆, R₁₇

I když má A225D obvod tichého ladění, je odpojen uzemněním vývodu 13 IO (v přijímačích se nepoužívá). Rovněž tak z bezpečnostního hlediska se u autopřijímačů nepoužívá indikátor síly pole, avšak jeho výstup – vývod 14 a invertovaný výstup na vývodu 15 IO – je možné použít pro AVC ve vstupní jednotce VKV. Deska s plošnými spoji uvedeného mf zesilovače je na obr. 76.

Seznam součástek k obr. 75

Rezistory (TR 212 nebo TR 191)

R ₁ , R ₇	39 k Ω
R ₂	12 k Ω
R ₃ , R ₁₀ , R ₂₀	330 Ω
R ₄	820 Ω
R ₅	15 Ω
R ₆ , R ₈	180 Ω
R ₉	56 k Ω
R ₁₁	560 Ω
R ₁₂	150 k Ω
R ₁₃ , R ₁₄ , R ₁₅	10 k Ω
R ₁₆	1,2 k Ω
R ₁₇	2,7 k Ω
R ₁₈	1,5 k Ω
R ₁₉	100 Ω

Kondenzátory

C ₁	TK 754, 15 pF
C ₂	TK 7, 100 pF

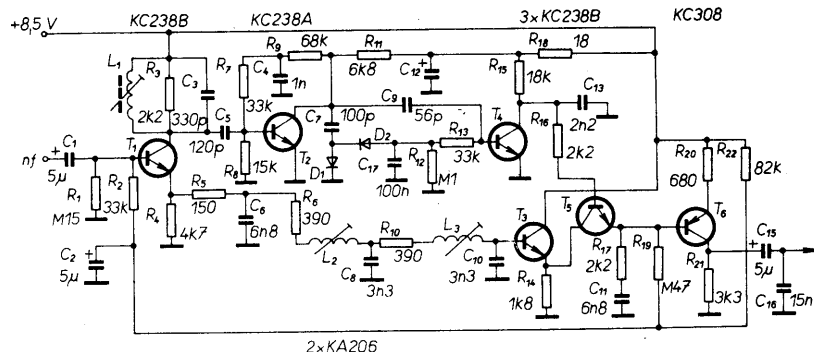
elektronického spínače, takže na signálu vznikne jen malý „schůdek“. Z paměti je signál veden do oddělovacího zesilovače, na jehož výstupu může být zapojen obvod deemfáze (v případě monoformního příjmu).

Má-li obvod automatického potlačení poruch nezkresleně přenést i stereofonní signál, musí zpožďovací vedení přenést multiplexní signál s minimálním amplitudovým zkreslením, tzn. že minimální mezní kmitočet zpožďovacího vedení musí být 70 kHz a musí mít konstantní skupinové zpoždění uvnitř přenášeného pásma. Vzhledem k tomu, že během vyklíčování je přerušen i přívod pilotního signálu (což může vést k narušení funkce stereofonního dekódéru), je nutné do série s paměťovým kondenzátorem zapojit rezonanční obvod naladěný na 19 kHz, který je při otevřeném elektronickém spínači buzen pilotním signálem obsaženém v multiplexním signálu. Při vyklíčování obvod naladěný na 19 kHz bude dokládat na kmitočtu pilotního signálu a tak není ohrožena funkce stereofonního dekódéru. Uvedený obvod můžeme považovat za paměť pilotního signálu a při sepnutém elektronickém klíci působí jako širokový filtr pilotního signálu, čímž se zlepšuje kvalita stereofonního příjmu, pokud je přijímaný signál mírně zašuměn nebo je-li rušen záznějem ze sousedního kanálu.

Na obr. 77 je skutečné zapojení obvodu automatického vyklíčování poruch, vhodného pro monoformní přijímače. Z demodulátoru FM je přiveden nf signál přes C_1 na vstupní tranzistor T_1 . V jeho kolektoru je zapojen relativně širokopásmový rezonanční obvod $L_1C_3R_3$, naladěný na 180 kHz, který odfiltrává z rušícího signálu vysoké kmitočty. Tyto odfiltrované signály jsou zesíleny v T_2 a usměrněny ve zdvojovávající napětí D_1D_2 . Tranzistor T_4 nemá žádné napětí na bázi a je tedy při běžném provozu uzavřen. Přes kolektorový rezistor R_{15} teče malý kolektorový proud, kterým je inverzně zapojený spínač tranzistor T_5 otevřen. Na kolektoru T_4 je napětí asi 4 V, na které se nabije C_{13} . Bude-li na vstupu obvodu automatického vyklíčování poruch rušící impuls se spektrem vyšších kmitočtů, pak je bázě T_4 napojena proudem přes C_9 a T_4 se otevře, C_{13} se vybije přes R_{16} a uzavře tranzistor T_5 asi na 40 μ s. Během této doby je cesta pro užitečný signál přerušena a napětí C_{11} je přivedeno do nf zesilovače. Toto napětí obsahuje složky, které na C_{11} byly před zavřením T_5 . Doba potřebná pro sepnutí T_5 je asi 2 až 3 μ s.

Abychom spolehlivě odlišili rušící impuls, musí být užitečný signál časově zpožděn oproti rušícímu signálu obvodem $R_6L_2C_8R_{10}L_3C_{10}$ a obvodem R_5C_6 (asi 5 μ s). T_6 zesiluje užitečný signál a celkové zesílení obvodu automatického vyklíčování poruch je asi 12 dB. Vedeme-li přes DAVP signál z části AM, zůstává cesta užitečného signálu trvale průchozí, neboť v signálu AM chybí všechny složky, které by sepnuly T_5 . Výstupní odporník OAVP spolu s C_{16} tvorí potřebnou deemfázi pro FM. Při stereofonním signálu je nutné vynechat C_{16} a do série s C_{11} zapojit rezonanční obvod naladěný na 19 kHz.

Zapojení OAVP s IO TDA1001 (Philips) je na obr. 78. Rušící impuls, které se objeví v nf signálu, jsou přes C_1 přivedeny na vstup emitorového sledovače ($vývod 1\text{IO}$). Z jeho výstupu ($vývod 2\text{IO}$) se signál rozdělí na větev užitečného nf signálu a na větev rušícího signálu. Z vývodu 2 IO je užitečný signál veden přes R_9 na dolní propust 4. řádu, $R_4C_3R_5C_4R_6C_5R_7C_6$, jejíž mezní kmitočet je 65 kHz (-3 dB) a je zesílen asi o 1 dB. Odlaďovač L_1C_2 , naladěný na 19 kHz, potlačuje pilotní signál o 20 dB a tak zmenšíuje



Obr. 77. Zapojení obvodu vyklíčování poruch s tranzistory

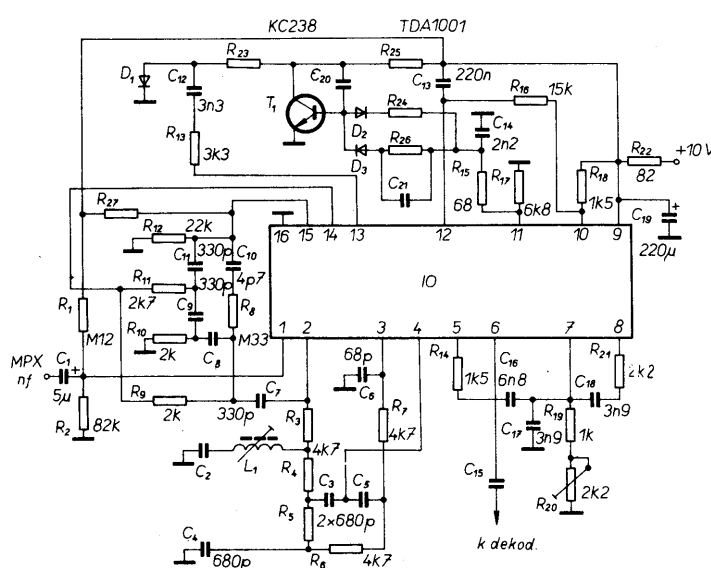
vlastní rušení obvodu. Doba zpoždění dolní propusti je stejná jako ve věti rušivého signálu. Dolní propust je zapojena mezi vývody 3 a 4 IO.

Mezi vývody 4 a 5 IO je zapojen elektronický spínač, který odpojuje nf signál během rušení od výstupu. Rezistor R_{14} a $C_{16}C_{17}$ (mezi vývody 5 a 7 IO) pracují jako paměťový obvod, na němž se udržuje taková úroveň nf signálu, která byla před rozpojením elektronického spínače. $R_{19}R_{20}C_{18}R_{21}$ tvoří filtr 19 kHz, který udržuje správný kmitočet a fazu pilotního kmitočtu během vyklíčování rušícího impulsu. Od rušícího impulsu očištěný nf signál je přes emitorový sledovač přiveden na výstup (vývod 6 IO).

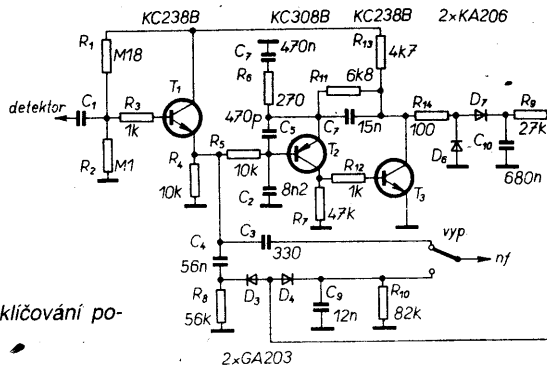
Rušivé signály vznikající v automobilu mají většinou charakter jehlovitých impulsů s kmitočtem asi 100 kHz. Jehlovité impulsy jsou z výstupu (vývod 2 IO) vedeny přes C_7 a aktivní horní propust s dolním mezním kmitočtem asi 90 kHz – $R_9C_8R_{10}C_9R_{11}C_{11}R_8C_{10}R_{12}$ na vstup (vývod 15 IO) zesilovače, kde jsou zesíleny asi o 3 dB. Z výstupu zesilovače je signál veden do usměrňovače, kde jsou usměrovány jen kladné rušivé impulsy. Schmittův klopný obvod řídí kladnými výstupními impulsy elektronický spínač. Obvodem na vývodu 11 IO ($R_{15}R_{17}C_{14}$) se určuje šířka vyklíčovacího impulsu – zde je asi 50 μ s. V IO je regulační zesilovač, jehož vlastnosti jsou dány součástkami na vývodu 12 IO. Základní citlivost zesilovače impulsů je nastavena $R_{13}C_{12}$. Regulační obvod zajistuje, že amplituda řidicích impulsů pro klopný obvod bude malá – tak je možné vyklíčovat i poruchy s velkou amplitudou.

Pro zlepšení vlastností byl na obr. 78 zapojen i druhý regulační obvod. Impuls z klopného obvodu (vývod 11 IO) jsou usměrněny diodou D_3 a přivedeny na bázi T_1 , který pracuje jako Millerův integrátor. C_{20} se nabije podle četnosti rušivých impulsů a mění kolektorové napětí T_1 , kterým se řídí činnost diody D_1 , jejíž odpór je v sérii s $R_{13}C_{12}$ a tak se řídí zesílení zesilovače impulsů. Dioda D_2 v sérii s R_{24} vybije C_{21} v době mezi dvěma poruchami. Vybijecí obvod má menší časovou konstantu než obvod D_3R_{26} , takže C_{20} je zcela vybitý až do doby, než přijde další rušivý impuls. Při zvýšeném opakovacím kmitočtu impulsů přejde D_1 z vodivého stavu do nevodivého, zintenzivní se činnost OAVP, což se projeví větším zkreslením nf signálu. V IO je vnitřní stabilizátor napětí. Obvod může pracovat i bez $R_{23}, R_{24}, R_{25}, R_{26}, C_{20}, C_{21}, D_2, D_3, T_1$ a C_{12} je uzemněn. Aby náhodné zbytky neměly vliv na vstupní filtr, je vhodné použít pro napájení na výstupu filtr.

Princip potlačovače poruch při příjmu AM vychází z některých vlastností lidského ucha (např. při impulsním rušení příjmu slabých signálů pracuje, při silném signálu jsou poruchy maskovány). Zapojení obvodu je na obr. 79. Nf signál z detektoru je přes C_1 přiveden na emitorový sledovač T_1 a z jeho výstupu na dynamický omezovač $D_3D_4R_8R_{10}$ a na řídící obvod přes R_5 . Řídící obvod je aktivní pásmový propust s tranzistory T_2, T_3 a zdvojovávající napětí s diodami D_6D_7 . Mezní kmitočty 200 a 1500 Hz nejsou voleny náhodně, neboť v tomto pásmu je soustředěna základní energie užitečného signálu. Usměrněním



Obr. 78. Zapojení obvodu vyklíčování poruch s TDA1001



Obr. 79. Zapojení obvodu vykličování poruch pro AM

napětím z D_6D_7 jsou řízeny diody omezovače D_3D_4 . Při silném signálu jsou dobře maskovány poruchy, diody omezovače budou otevřeny a signál nebude omezován. Při slabém signálu se D_3D_4 přivřou a výstupní signál bude omezen. V případě potřeby lze omezovač vypnout.

Dekodér dopravního rozhlasu

Moderní autopřijímače mají osazen dekodér dopravního rozhlasu v systému ARI. Autopřijímač vybavený tímto dekodérem umožnuje po naladění vysílače vybaveného dekodérem ARI (indikováno obvykle žlutou signálkou) přijímat informaci o situaci v dopravě daného kraje, ztlumit hlasitost nežádoucího nf signálu nebo odpojit kazetový magnetofon. Ročně má být kodérem ARI osazeno 4 až 5 vysílačů VKV. Nový autopřijímač s dekodérem ARI typu 2116B je vyráběn v TESLA Bratislava od roku 1988. Pro ty, kteří si chtějí takový dekodér postavit sami, byl podrobný návod uveden v AR A4a 5/86.

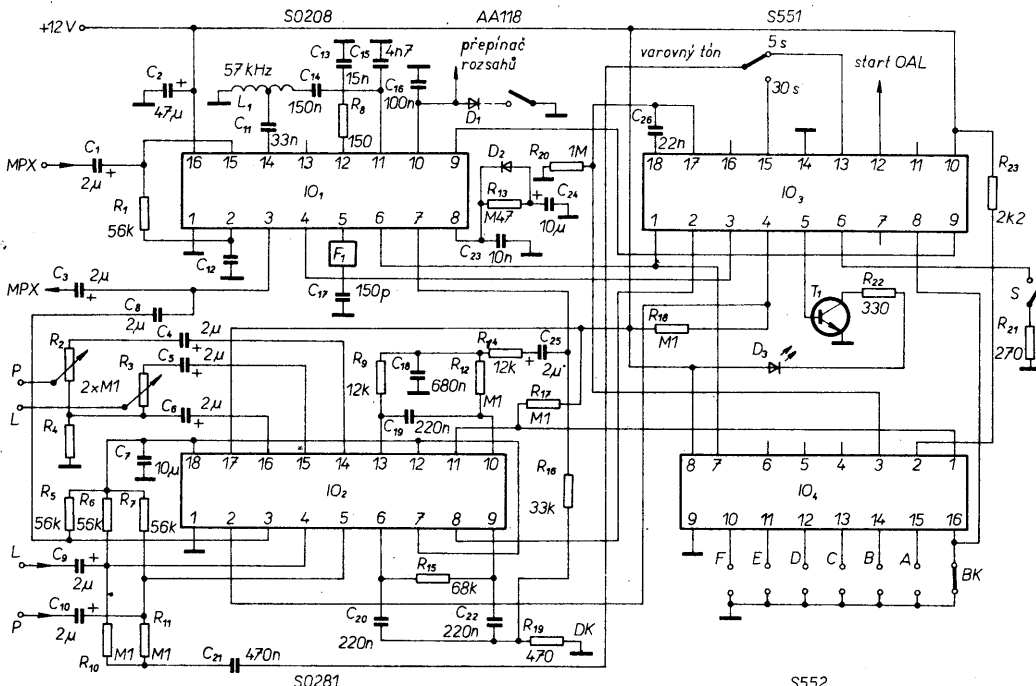
Pro dopravní rozhlas budou na komunikační značky s udáním kmitočtu vysílače dopravního rozhlasu. Je nutné upozornit, že před dekodérem ARI nesmí být zapojen obvod deemfáze. Při vysílání dopravního rozhlasu jsou kromě stereofonní modulace vysílány i přidavné signály dopravního rozhlasu (viz AR A4, 5/86).

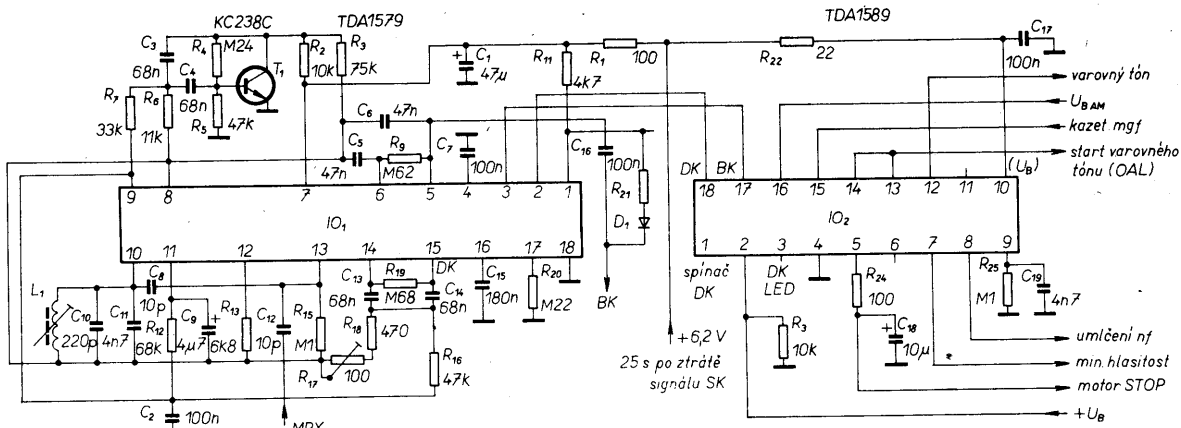
zesilovačů a tří nf spínačů. Spínače jsou ovládány signálem DK na vývod 2 IO₂. Na vývod 3 IO₂ je přiveden signál MPX, který je přes vnitřní přepínač vydelen na vývod 16 IO₂. Rezistorem R₄ můžeme nastavit základní hlasitost poslouchaných programů.

Po příjmu signálu DK se odpojí vnitřní spínač a dopravní zprávy jsou přijímány v požadované hlasitosti. Výstupní nf signál z kazetového magnetofonu je přes C₉C₁₀ přiváděn na vstup zesilovače (vývod 4 a 5 IO₂) a z něj přes elektronický spínač na další zesilovač a z jeho výstupu (vývody 13 a 14 IO₂) přes C₄C₅ na regulátor hlasitosti R₂R₃ a dále na vstup nf zesilovače.

Při příjmu signálu DK se rozpojí vnitřní spínač mezi zesilovači a signál z kazetového magnetofonu se odpojí od výstupu. Na vstupu pro magnetofon je přes C₂R₁₀R₁₁ při chybějícím signálu SK přiveden z IO₃ varovný tón. Z vnitřního stabilizátoru je na vývody 7 a 13 (jeden vstup dvojitěho operačního zesilovače) přivedeno referenční napětí. V IO₂ jsou vždy dva dvojité OZ. Mezi neinvertující vstup a výstup prvního z nich jsou zapojeny filtry signálu BK (C₁₉C₁₈R₉R₁₂) a signál DK (C₂₀C₂₂R₁₅), které jsou odebrány z výstupu detektora v IO₁ přes C₂₅R₁₄ pro filtr BK a přes R₁₆ pro filtr DK. Odfiltrovaný signál DK je z výstupu druhého OZ veden na vstup (vývod 2 IO₃) obvodu pro zpracování signálu DK (IO₃) a odfiltrovaný signál BK je z výstupu druhého dvojitého OZ (vývod 11 IO₂) veden na vstup obvodu pro zpracování signálu BK (IO₄).

IO₃ je obvod pro zpracování signálu DK, který je sestaven ze sedmi funkčních bloků: obvod PLL, integrátor, paměť, dělič kmitočtu, obvod logiky, dynamického řízení a varovného tónu a obvodu řízení vyhledávání. Na vývod 1 IO₃ je z IO₁ přiváděn hodinový impuls 57 kHz a na vývod 2 IO₃ signál DK z IO₂ (vstup obvodu PLL). Z jeho výstupu je přes obvod dynamického řízení a blok logiky řízeno spináči elektronického regulátoru hlasitosti v IO₁ přes vývod 3 IO₃. Z bloku logiky v IO₃ (vývod 4 IO₃) je řízeno i spináč tří spináčů v IO₂ a z vývod 5 IO₃ (blok logiky) je buzen T₁, který má v kolektoru LED D₃, indikující příjem dopravního rozhlasu. Při sepnutí spínače S se dekódér dopravního





Obr. 81. Zapojení dekodéru dopravního rozhlasu s TDA1579 a 1589

rozhlasu odpojí, avšak při novém zapnutí se dekodér ARI znova zapojí na příjem vysílače dopravního rozhlasu.

Do obvodu logiky je přes vývod 8 IO₃ přiveden signál BK z IO₄ a na vývod 9 signál SK z IO₁. Z vývodu 12 IO₃ je vyslán impuls pro spuštění obvodu automatického ladění. Z vývod 13 IO₃ je do IO₂ veden nezpožděný varovný tón (v 5 intervalu) a z vývodu 15 je získán varovný tón se zpožděním 30 s. IO₄ je určen pro zpracování signálu BK.

Z výstupu filtru v IO₂ je signál BK veden na vstup vnitřního bloku PLL (vývod 1 IO₄). IO₄ je sestaven z pěti funkčních bloků: obvod PLL, obvod přednastavení, děliče kmitočtu, integrátor a paměť. Na vstup děliče je přiváděn signál SK a hodinový signál 57 kHz ze spináče a tvarovače v IO₁ (přes vývod 7 IO₄). Oblast (A až F) se volí uzemňováním vstupů obvodu PLL a obvodu přednastavení. Na výstupu paměti (vývod 16 IO₄) je k dispozici signál BK pro řízení IO₃.

Z obr. 80 je zřejmé, že úplný dekodér ARI je velmi složitý obvod. Tato složitost vedla firmu Philips ke sdružení všech funkcí dekodéru ARI do dvou IO (obr. 81). Jako dekodér dopravního rozhlasu je použit IO TDA1579, který je tvořen předzesilovačem, řídicím stupněm, detektory signálů SK, BK a DK dvěma operačními zesilovači pro filtry, spináči signálu DK a BK, oddělovacími zesilovači signálu SK a DK, spináčem indikační LED a stabilizátorem napájecího napětí.

Signál MPX je přiveden z obvodu automatického vyklíčování poruch přes C₁₂ na vývod 13 IO₁. Selektivní zesilovač 57 kHz s rezonančním obvodem L₁, C₁₀, C₁₁, s provozním činitelem jakosti 70, připojený na vývod 10 IO₁, vybírá ze signálu MPX pomocnou nosnou signálu SK. Za selektivním zesilovačem je připojen aktivní demodulátor obalové křivky a na jeho výstupu na vývodu 9 IO₁ je filtrační kondenzátor C₂, takže kromě střední hodnoty signálu SK budou na tomto vývodu i modulační složky signálů BK a DK. Vyhlazená střední hodnota SK (filtrem R₁₂C₉) je jako regulační napětí přivedena z vývodu 11 IO₁ na vstupní zesilovač, takže od vstupního napětí signálu SK asi 5 mV bude napětí na vývodu 9 IO₁ asi 400 mV a bude konstantní. Protože střední hodnota signálu SK je konstantní, budou konstantní i amplitudy signálů DK a BK. Signál BK je od ostatních signálů oddělen vnější aktivní pásmovou propustí T₁, C₃, C₄, R₆, R₇ s horním mezním kmitočtem 54 Hz a další propustí s vnitřním operačním zesilovačem a C₅, C₆, R₉ s dolním mezním kmitočtem 23 Hz, která je zapojena mezi vývody 5 a 6 IO₁. Na vývodu 5 IO₁ je k dispozici střídavé napětí signálu BK, které je přes C₁₆ vedeno k dalšímu zpracování.

V IO₁ je signál BK veden na Schmittův klopný obvod, který ovládá proudový spínač, na jehož výstupu (vývod 4 IO₁) je připojen integrační kondenzátor C₇. Doba nabíjení a vybíjení C₇ je volena tak, že při přítomnosti signálu BK se nabijecí napětí schodovitě zvětšuje a překročí-li práh sepnutí druhého Schmittova klopného obvodu, ten se překlopí. Tento signál je vyveden přes stupeň s otevřeným kolektorem na vývod 3 IO₁ jako signál SK. Pokud budou přítomny současně signály BK a SK, bude na vývodu 3 IO₁ úroveň H. Na vývodu 1 IO₁ je tento signál invertovaný a je využit k rozsvícení LED SK a může být použit i pro další spínací funkce.

Dobou nabité C₇ je dano zpožděné sepnutí a je asi 150 ms a při výpadku signálu BK je jím dano zpožděné odpojení, které je asi 750 ms. Pomocí této zpoždění je vyhodnocen signál BK podstatně spolehlivější, takže jednotlivé chybné impulsy neovlivňují spínací funkce. Bohužel je i rychlosť automatického ladění poněkud menší. Zde dané doby zpoždění jsou optimálním kompromisem.

Signál DK o kmitočtu 125 Hz, který je při příjemu dopravního rozhlasu také na vývodu 9 IO₁, je přes R₁₆ veden na pásmovou propust C₁₄, C₁₃, R₁₉, R₁₈, R₁₇ (mezi vývody 14 a 15 IO₁). Odfiltrovaný signál DK je přiveden do prvního Schmittova klopného obvodu a na proudový spínač s integračním kondenzátorem C₁₅. Z výstupu spínače je signál DK veden do druhého Schmittova klopného obvodu a přes zesilovač s otevřeným kolektorem na vývod 2 IO₁, odkud je možné, přes výkonový spínač, zastavit magnetofon nebo blokovat nf signál z přijímače. Rezistorem R₂₀ se nastavují proudy spínačů signálů BK a DK; na jeho odporu je závislá doba spínání a vypínání.

Casová konstanta signálu BK je R₂₀C₇ a signálu DK R₂₀C₁₅. Napájení je přivedeno na vývod 7 IO₁ přes filtrační člen R₁, C₁. Pro pásmové propusti je tolerance kondenzátorů 5 % a rezistorů 1 %. Pak pro nastavení IO₁ je zapotřebí naladit L₁ na 57 kHz a R₁₇ nastavit signál DK na 125 Hz. Obvody se nastavují na maximální výstupní napětí na vývodu 9 (SK) a 15 (DK) IO₁ při vstupním napětí SK asi 3 mV.

Přítomnost signálů SK a DK se vyhodnocuje v IO₂, TDA1589, který přes výkonový spínač odpojuje nebo připojuje magnetofon a rozhlasový přijímač, generuje varovný tón a umíče přijímač, chceme-li sledovat jen zprávy dopravního rozhlasu. IO₂ je sestaven z těchto funkčních bloků: stabilizátor napětí, tři hradla NAND, oscilátor, časová základna, obvod řízení hlasitosti a varovného tónu, obvod řídící, uvolňovací a logiky DK a klopný obvod DK.

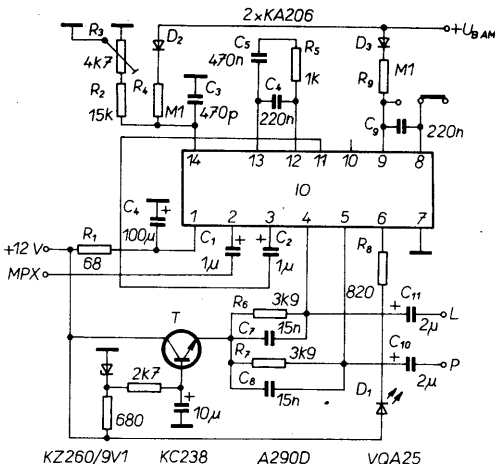
Automatické vyhodnocení signálů BK, SK a DK je možné jen při nařízení vysílače FM, vysíajícího v systému ARI. Pokud požaduje-

me dopravní informace, musí být na vývodu 16 a 2 IO₂ úroveň L. Vývod 16 je připojen na napájecí napětí dílu AM, které je při příjem FM odpojeno a vývod 2 je připojen na vstup volby rozsahu, který se při FM uzemňuje. Uzemněním vývodu 1 IO₂ se překlopí klopný obvod DK do pohotovostního stavu pro příjem signálu DK a tento stav je indikován LED připojenou na vývod 3 IO₂. Pokud bude na vývodu 2 IO₂ úroveň H, budou vysílače bez ARI umíčeny úrovni H z vývodu 7 IO₂. Napětím v tohoto vývodu ovládáme tranzistor, kterým překlenujeme rezistor v dolním konci potenciometru, nebo jeho kolektor připojíme na běžec potenciometru. Při úrovni L na vývodu 7 IO₂ se tento tranzistor uzavře a „odzemní“ nf signál, takže zprávy dopravního rozhlasu posloucháme v předešně nastavené úrovni hlasitosti.

Vývod 15 IO₂ je připojen na napájecí napětí motoru magnetofonu. Pokud motor běží, je na něm úroveň H. Přes tento vstup nejsou ovlivňovány jednotlivé funkce. Vstup na vývod 17 IO₂ kontroluje přítomnost signálu BK, který je indikován úrovni H. Pokud bude na vstupech 16 a 2 IO₂ úroveň L, zastaví přes výstup 5 IO₂ a výkonový spínač motor magnetofonu a propojí se přijímač FM na nf zesilovač. Pokud by však chyběl signál BK, po 25 s se z reproduktoru ozval varovný tón. Aby se tento tón ozval ve správný okamžik, je nutné, aby na vstupech 17 (BK) a 18 (DK) IO₂ byla úroveň H. Logika DK bude vyřazena z funkce, když na některém z vývodů 1, 2, 15 a 16 IO₂ bude úroveň H. Pokud při příjemu dopravního rozhlasu bude chybět signál BK, tj. když na vývodu 17 IO₂ bude úroveň L, pak po 25 s se na vývodu 13 a 14 objeví úroveň L, kterou se spustí obvod automatického ladění a přes vstup 14 IO₂ se otevře v pěti skočích elektronický potenciometr varovného tónu v IO₂, takže během 20 s se změní hlasitost varovného tónu z -20 dB na 0 dB. Varovný tón je k dispozici na vývodu 12 IO₂. Kmitočet varovného tónu je asi 600 Hz s délkom periody 80 ms a mezerou 560 ms. Pokud se na vstupu 17 IO₂ objeví znova úroveň H, bude varovný tón umíčen. Varovný tón můžeme umíčet i úrovni H na vývodu 2 a 16 IO₂. Vnitřní časová základna je nastartována při ztrátě signálu delší než 1 s.

Stereofonní dekodér

Posledním funkčním obvodem stereofonní části FM přijímače je stereofonní dekodér. Pro autopřijímače jsou vhodné IO A290D, A4510D a UL1621N. Na obr. 82 je stereofonní dekodér a A290D. Vnitřní, napěťově řízený oscilátor – VCO, jehož kmitočet 76 kHz je určen C₃R₂R₃, je synchronizován pilotním signálem 19 kHz, přivedeným přes C₁ na vstup IO. Dekódovaný nf signál je na vývo-



Obr. 82. Zapojení stereofonního dekodéru v přijímači A300 (NDR)

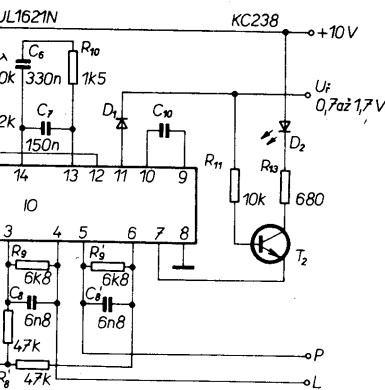
dech 4 a 5 IO. Články R₆C₇ v levém kanále a R₇C₈ v pravém kanále jsou obvody deemfáze s časovou konstantou 50 μ s. Pro indikaci „stereo“ slouží LED D₁. Při příjmu AM bude vnitřní VCO přes R₄D₂ zablokován. Stereofonní dekodér je napájen do vývodu 1 přes filtrální člen C₁R₁, přímo z autobaterie a pouze výstupní stupně pracují se stabilizovaným napětím 9,1 V, takže pro stabilizátor napětí lze použít i tranzistor s malým výkonem. Stereofonní dekodér je schopen pracovat v rozsahu napětí 10,8 až 14,4 V.

Na obr. 83 je stereofonní dekodér s IO A4510D. Signál MPX je řeš R₃C₂ přiveden na vstup IO. Kondenzátorem C₃ jsou potlačeny zbytky mf signálu. Pomocí C₁₃ a R₈ je korigována amplituda a fáze signálu MPX. Z výstupu předzesilovače (vývod 14) je signál přes vývod 12 veden do demodulátoru, přes vývod 11 do matice a přes C₉ do fázového komparátoru 1 a 2. Kondenzátor C₈ tvoří dolní propust pro fázový komparátor 2 a C₁₀ pro fázový komparátor 1, z kterého je řízen vnitřní VCO, jehož kmitočet 228 kHz je nastaven C₁₁R₅R₆. Z výstupu druhého komparátoru je buzen indikátorový zesilovač „stereo“, na jehož výstup je přes R₁ připojena LED D₁. Napájecí napětí je přes R₂ přivedeno na vývod 17 IO a filtrováno C₁. Obvod má regulaci šírky báze řízenou napětím pro indikátor síly pole v mf zesilovači, které je filtrováno C₁₂. Z vývodu 10 IO je signál pravého kanálu veden přes C₅ do nf zesilovače. Podobně z vývodu 9 IO je nf signál levého kanálu přes C₆ veden do nf zesilovače. Kondenzátory C₄ a C₇ jsou kondenzátory deemfáze, jejíž rezistory 1,5 k Ω jsou součástí IO.

Napájecí napětí musí být blokováno co nejbližše IO. Součástky VCO na vývodu

2 musí mít co nejmenší teplotní koeficient. Kondenzátor C₉ má mít co nejmenší toleranci. Kapacitu kondenzátoru C₁₀ bychom měli dodržet. C₈ nemá podstatný vliv na vlastnosti stereofonního dekodéru.

Podobně pracuje i obvod UL1621N, jehož zapojení je na obr. 84. Vstupní signál MPX je přes C₂ přiveden na vstup předzesilovače v IO. Z jeho výstupu (vývod 2) je signál přes C₃ veden na vstup detektoru fáze, detektoru pilotního signálu a dekodéru signálu MPX. Na výstup předzesilovače je přes R₈R₉ a R₇ zavedena část výstupních napětí, kterou jsou dodatečně kompenzovány přeslechy. Kondenzátorem C₄ jsou odfiltrovány připadné zbytky mf signálu a tak zlepšena stabilita zapojení. Mezi výstupy zesilovače za dekodérem MPX (vývod 4, 5, 6, 3) jsou zapojeny pracovní rezistory R₉R₉', které spolu s C₈C₈' tvoří obvod deemfáze. Na detektor pilotního signálu je připojena dolní propust s C₁₀ a Schmittův klopný obvod se stereofonním spínačem, na jehož výstup je připojen T₂, kterým je spinána LED D₂ pro indikaci „stereo“. Napětím přivedeným na vývod 11 IO je možné v závislosti na síle pole signálu řídit přeslechy mezi kanály. Na výstup detektoru fáze je připojena dolní propust C₆C₇R₁₀ a za ní stejnosměrný zesilovač, který řídí VCO v IO, jehož kmitočet 228 kHz je nastaven obvodem R₅R₆R₄C₁. Trimrem R₄ se nastavují základní přeslechy mezi kanály. Zisk dekodéru může měnit v rozsahu 0 až 6 dB změnou R₉R₉' při současném změně C₈C₈', tak aby zůstala zachována časová konstanta deemfáze. R₈R₈' jsou použity ke korekci klidového výstupního napětí. Uzemněním vývodu 9 se výrádi z činnosti VCO. Činnost a kmitočet signálu 19 kHz lze kontrolovat na vývodu 11 IO.



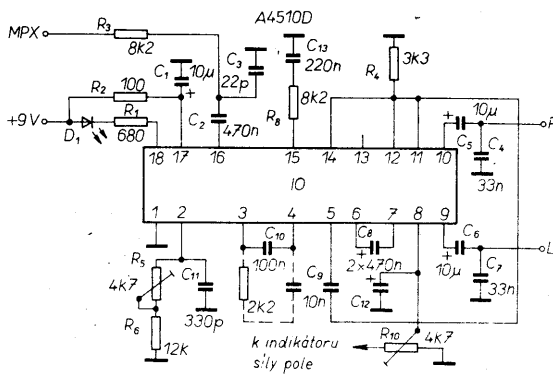
Obr. 84. Zapojení stereofonního dekodéru s UL1621N

Přepínače

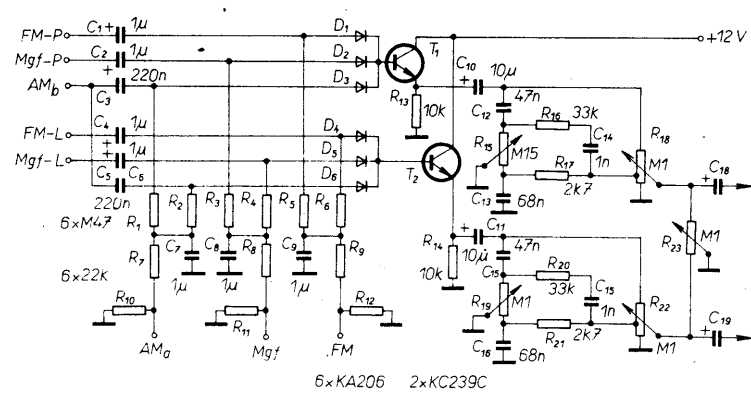
Signály z části AM a dílu FM, případně z jiných zdrojů nf signálu, je nutné nějakým způsobem navázat na nf zesilovač. K tomu účelu lze použít buď mechanický nebo elektronický přepínač vstupních signálů. Zapojení jednoho typu elektronického přepínače s diodami je na obr. 85. Tak např. při příjmu vysílače VKV se nf signál ze stereofonního dekodéru přivede na vstup FM-P a FM-L a přes C₁ a C₄ na D₁ a D₄, které se sepnou napětím přivedeným na vývod FM přes R₅R₆R₉. Rezistory R₁₀R₁₁R₁₂ ošetřují jednotlivé vstupy a zabraňují „lupání“ při přepínání. Proudem tekoucím přes D₁ se otevře T₁ a proudem přes D₄ se otevře T₂. Napětím na bázích obou tranzistorů se uzavřou zbyvající diody. Podobně po připojení napětí na vývod Mgf se otevřou D₂D₅ a nf signál z kazetového magnetofonu je přes Mgf-P a Mgf-L přiveden na emitovány sledovač T₁ a T₂. Napětím na jejich bázi se uzavírají zbyvající diody. Při příjmu AM se napětím na vývod AM_a sepnou D₃D₆ a nf signál z vstupu AM_b je propuštěn na výstup diodového spínače. Ostatní diody jsou v nevodivém stavu.

Z výstupu T₁ je signál veden přes C₁₀ na tónovou clonu C₁₁R₁₆R₁₇C₁₂C₁₃C₁₄ a současně na regulátor hlasitosti R₁₈. Na výstupu regulátoru hlasitosti je mezi oba výstupy zapojen regulátor využívající. Přes C₁₈C₁₉ je signál veden do nf výkonového zesilovače.

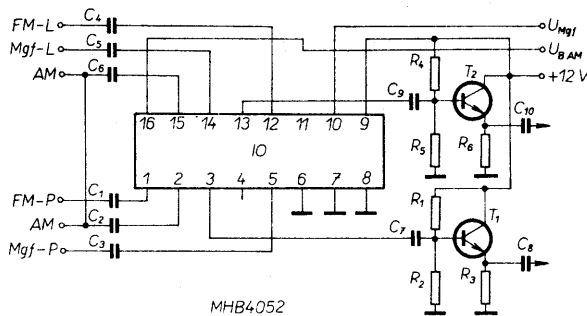
IO CMOS vzhledem ke svým vlastnostem umožňují elektronický přepínač zjednodušit. Zapojení elektronického přepínače s MHB4052 je na obr. 86. V IO MHB4052 jsou dva čtyřvstupové analogové multiplexery, které jsou spinány napětím U_{Mgf} nebo U_{BAM} přivedeným z kazetového magnetofonu nebo části AM. Je-li na obou těchto přívodech úroveň L, je trvale připojen signál



Obr. 83. Zapojení stereofonního dekodéru s A4510D



Obr. 85. Zapojení elektronického přepínače s regulací



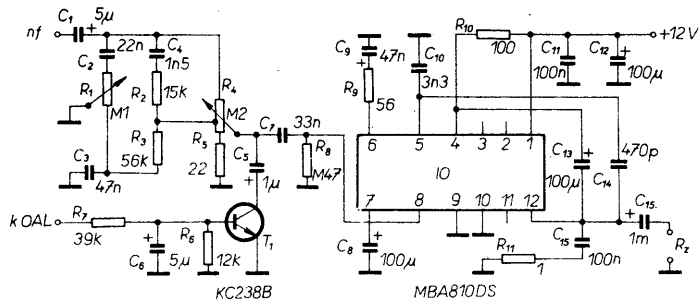
Obr. 86. Zapojení elektronického přepínače s MHB4052

ze stereofonního dekódéru. Z výstupu IO (vývody 3 a 13) je signál přes emitorové sledovače T_1, T_2 veden do nf výkonového zesilovače přes regulátor hlasitosti.

Nf zesilovače

Zapojení nf zesilovače, vhodného pro autopřijímač, je na obr. 87. Vstupní nf signál je přes C_1 přiveden na tónovou clonu C_2, C_3, R_1 , a současně na fyziologický regulátor hlasitosti $C_3, C_4, R_2, R_3, R_4, R_5$ a z jeho výstupu přes C_7 na vstup nf zesilovače s MBA810DS, jehož zapojení je obvyklé. Tranzistor T_1 pracuje jako umílovač nf signálu. Přivedeme-li na R_7 ss napětí asi 8 V, T_1 se pene a přes C_5 je signál sveden k zemi. Aby náběh hlasitosti byl plynulý, je do báze T_1 zapojen R_6, C_6 , který určuje dobu zavírání T_1 po odpojení ss napětí z R_7 .

Na obr. 88 je stereofonní nf výkonový zesilovač s připravovaným IO MDA2005, který lze nahradit IO A2005V (A2000V) z NDR. Vstupní nf signál levého kanálu je přes C_1 přiveden na vstup jednoho zesilovače a pravého kanálu přes C_5 na vstup druhého nf zesilovače. Výstupní signál levého kanálu je z vývodu 10 veden přes C_{13} na výstup L a z vývodu 8 přes C_9 na výstup pravého kanálu. Doporučená nejmenší zatěžovací impedance R_2 je 2Ω , C_{10}, R_3 a C_{11}, R_6 zabraňují rozkmitání zesilovače na vf. Konzervativně je vytvářejí vazbu bootstrap pro nízké kmitočty. Přes C_2 a C_4 je část výstupního napětí přivedena na druhé vstupy vstupních diferenčních zesilovačů. Zisk zesilovače je dán poměrem R_7, R_2 ($R_4:R_1$). Napájecí napětí je přivedeno na vývod 9 přes R_5 na vývod 3, kde je blokováno C_3 . Uzemněním vývodu 3 se zesilovač převede do provozu „stand-by“. Napájecí napětí je nutné co nejbliže IO blokovat C_7, C_8 . Výstupní výkon při zkreslení 1 % a napájecím napětí



Obr. 87. Zapojení nf zesilovače s MBA810DS

14 V je 2×8 W. Rezistorem R_8 lze regulovat šířku stereofonní báze – regulátor nemusí být vyveden na přední panel, neboť ho lze pro daný prostor nastavit jednou provždy. Sepnutím S lze tento obvod zapojit.

Na obr. 89 je deska s plošnými spoji a rozmištění součástek z obr. 88.

Seznam součástek pro nf zesilovač z obr. 88

Rezistory (TR 212)

10Ω

$2 \times 2,2\Omega$

$1,2\text{ k}\Omega$

$120\text{ k}\Omega$

TP 009, 220Ω

Kondenzátory

TE 986, $2\text{ }\mu\text{F}$

TF 009, $100\text{ }\mu\text{F}$

TE 003, $10\text{ }\mu\text{F}$

TF 008, 1 mF

TK 783, 100 nF

Integrovaný obvod

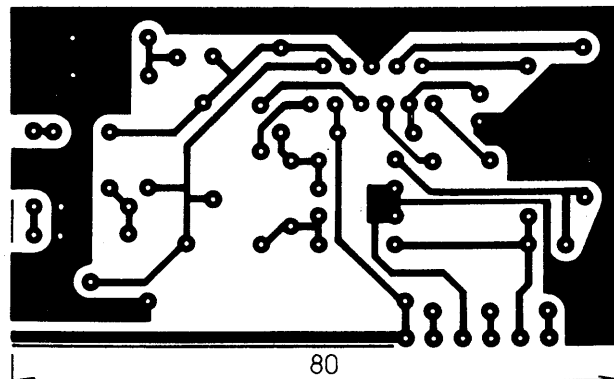
MDA2005, A2005V, A2000V

IO

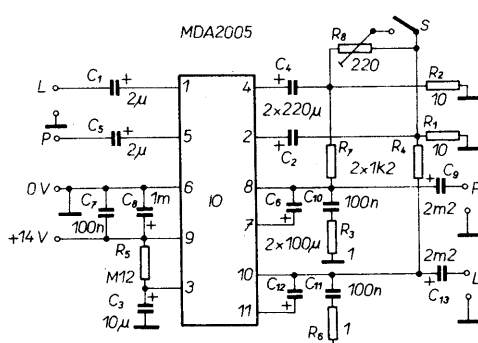
py druhých nf zesilovačů v IO jsou uzemněny střídavě přes C_2 a C_{22} a výstupní signál z jednoho zesilovače je do druhého zesilovače v IO přiveden přes R_5 a R_{13} . Funkce ostatních součástek zůstávají shodné s předchozím zapojením. Šířku stereofonní báze lze regulovat trimrem R_8 při sepnutém S₁.

Ovládání přijímače

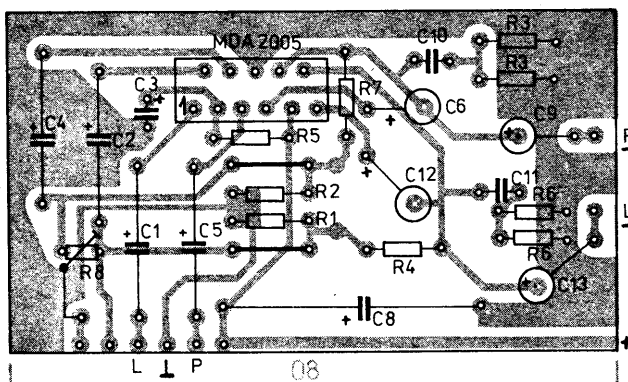
Celý přijímač je nutné nějakým způsobem ovládat, buď mechanicky nebo elektricky. Při mechanickém ovládání ovládací prvky zaberou spoustu místa jak na předním panelu, tak i uvnitř přijímače. Proto je výhodné použít ovládání elektrické. Příklad zapojení jednoho takového ovládače s IO SAS560 a SAS570 je na obr. 91. IO₁ jsou spinány AM, FM a magnetofon. Při stisknutí tlačítka AM se diodou D₈ indikuje sepnutí, přes D₅ je přivedeno napájecí napětí do dílu AM (na vývod U_{BAM}), sepnou se diody v diodovém nf přepínači přes vývod AM a přes D₂₅ se sepnou tranzistor u obvodu stupnice na obr. 93. Přes R₁₀, D₁₃ se připojí ladící potenciometr R₁₂. Z jeho běžeče je přes D₁₉ vedeno ladící napětí na varikapy v dílu AM. Podobně při

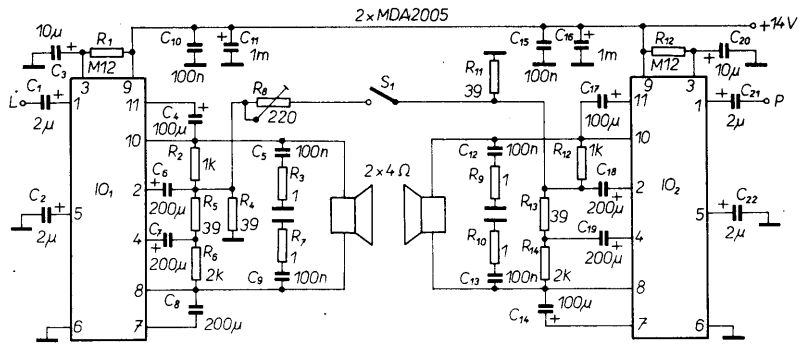


Obr. 89. Deska s plošnými spoji zesilovače z obr. 88 (deska X215). C₇ zapojen ze strany spoju na vývody IO



Obr. 88. Zapojení nf stereofonního zesilovače s MDA2005 (A2005)





Obr. 90. Zapojení stereofonního zesilovače s MDA2005 (A2005V) v můstkovém provedení s regulací šířky báze

stisknutí tlačítka FM se sepnutý rozsah indikuje diodou D_7 a přes $D_1D_2D_4$ je přivedeno napájecí napětí z bodu U_{BFM} do dílu FM, přes vývod FM se sepnou diody v nf elektrickém přepínači a přes R_{26} se sepné T_2 na obr. 93. Přes R_{22} se připojí 30 V na ladící potenciometr R_{12} . Diody $D_{16}D_{17}D_{30}D_{31}aR_9R_{11}R_{27}R_{28}$ jsou součástí obvodu ADK. Rízení je zabezpečeno z vývodu 5 IO A225D přes tranzistor T_1 a D_{32} . Velikost a polaria řídího proudu jsou závislé na odchylce kmitočtu oscilátoru od kmitočtu jmenovitého. Podle velikosti a směru odchylky je tento proud menší nebo větší a úbytkem proudu na jednom z $R_9R_{11}R_{27}R_{28}$ je méněno ladící napětí pro

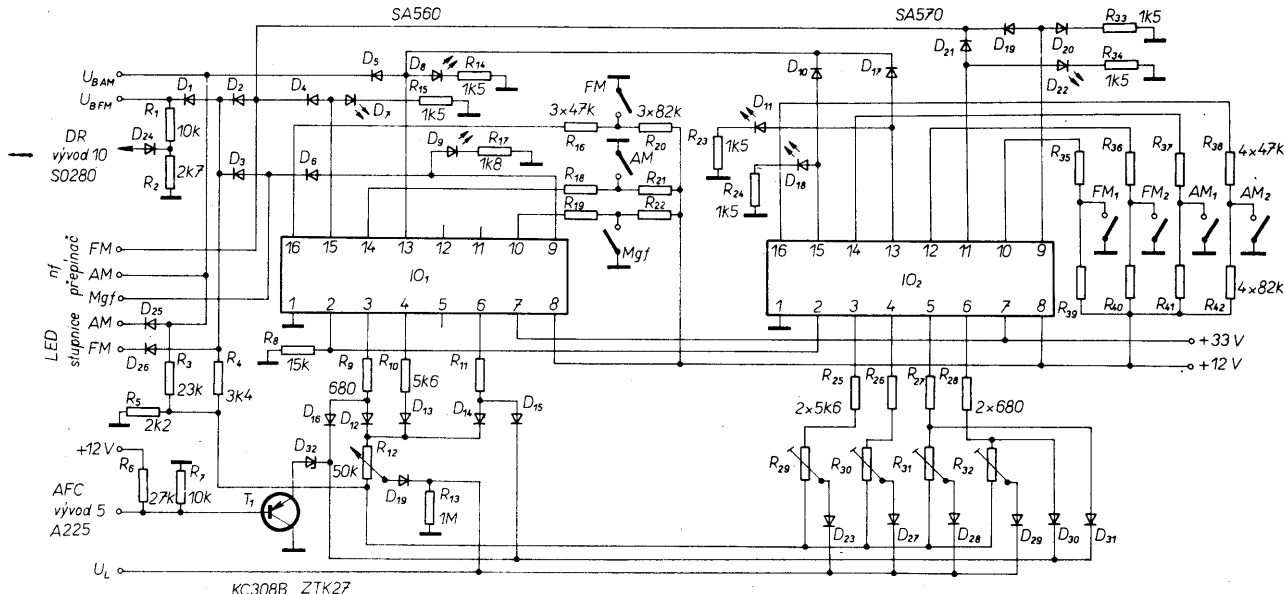
vstupní jednotku VKV. Přes vývod DR je řízen oscilátor 57 kHz v SO280.

IO_2 na obr. 91 je určen pro ovládání dvou předvolb na AM a dvou na rozsahu FM. Předvolené vysílače se nastavují potenciometry $R_{29}R_{30}R_{31}R_{32}$. Současně přes $D_{10}D_{17}$ je přiváděno napájecí napětí do části AM a přes $D_{19}D_{21}$ do dílu FM.

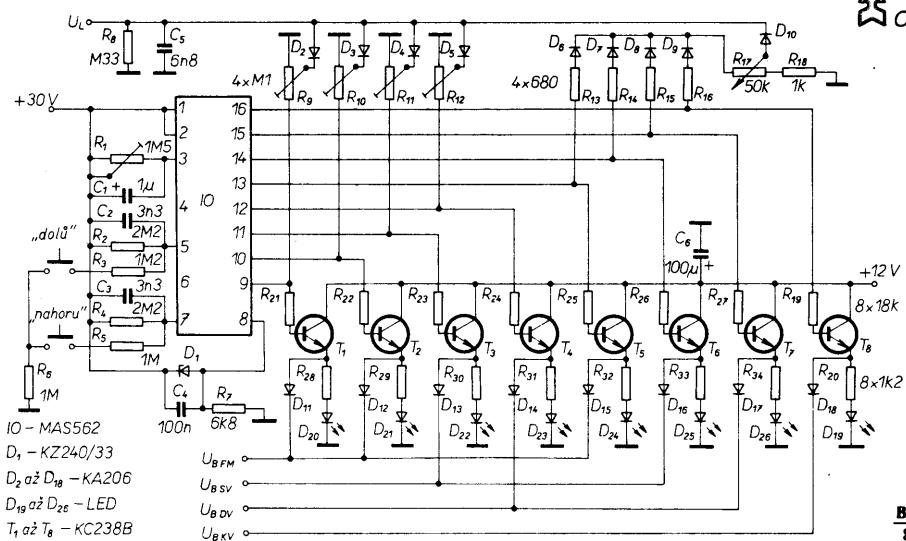
Jiný typ elektronického ovládání je na obr. 92. Po spinání rozsahů DV, SV, KV a VKV a čtyř předvolb je použit MAS562. Výhodou tohoto obvodu je, že pro přepínání jsou zapotřebí jen dve tlačítka – „nahoru“ a „dolů“. Doba přepnutí z jednoho rozsahu na druhý je dána časovou konstantou R_1C_1 .

Výhodou tohoto přepínače je, že ovládací prvky nezabírají užitečný prostor na předním panelu. Napájecí napětí pro díl FM je odebráno z emitorů $T_1T_2T_5$. V daném zapojení jsou první dvě polohy přepínače využity pro předvolbu vysílačů VKV, třetí poloha pro předvolbu vysílače SV, čtvrtá poloha pro předvolbu vysílače DV, pátá poloha pro rozsah VKV, šestá poloha pro rozsah SV, sedmá pro rozsah DV a osmá pro rozsah KV. Spinaci napětí pro spinaci diody v části AM je při SV odebíráno z emitoru T_6 , při DV z emitoru T_7 a při KV z emitoru T_8 . Ladící napětí při předvolbách je snímáno z běžců potenciometrů přes $D_2D_3D_4D_5$. Při přepnutí do zbyvajících poloh se napětí 30 V z výstupu IO přivádí přes $R_{13}D_6,R_{14}D_7R_{15}D_8aR_{16}D_9$ na ladící potenciometr R_{17} a z jeho běžce přes D_{10} na varikapy v dílu AM a FM. Jednotlivé polohy jsou indikovány LED. Diody D_{11} až D_{18} slouží ke srovnání. Stejný účel mají diody D_2 až D_{10} na straně ladícího napětí.

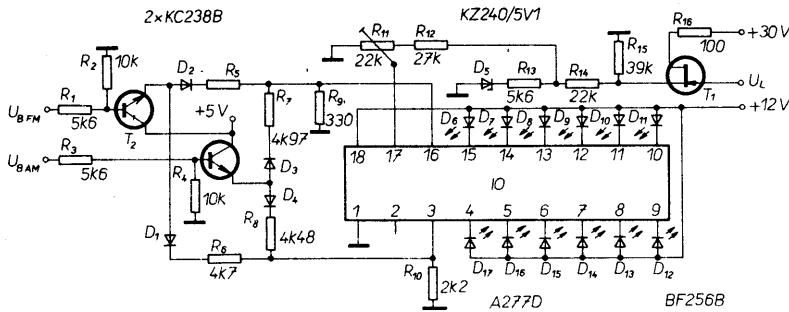
Pro indikaci nadlehčeného vysílače slouží stupnice, mechanická nebo LED nebo u moderních přijímačů digitální s displejem LCD. Na obr. 93 je zapojení stupnice s LED. Ladící napětí je přes T_1 přivedeno na vstup A277D. Tranzistorem FET je zajistěno, že nebude zatěžován obvod ladícího napětí. Vzhledem k tomu, že rozsah ladícího napětí je při AM a FM různý, je nutné přepínat referenční napětí tranzistory T_2T_3 . Diody D_1 až D_4 jsou univerzální křemíkové diody. Spinaci napětí U_{BFM} a U_{BAM} jsou odebírána z příslušných vývodů v obr. 91 nebo jsou shodná s napájecími napěťmi dílu AF a FM.



Obr. 91. Zapojení elektronického ovládání s SAS560 a SAS570



Obr. 92. Zapojení elektronického ovládání s MAS562



Obr. 93. Zapojení stupnice LED

Automatické ladění

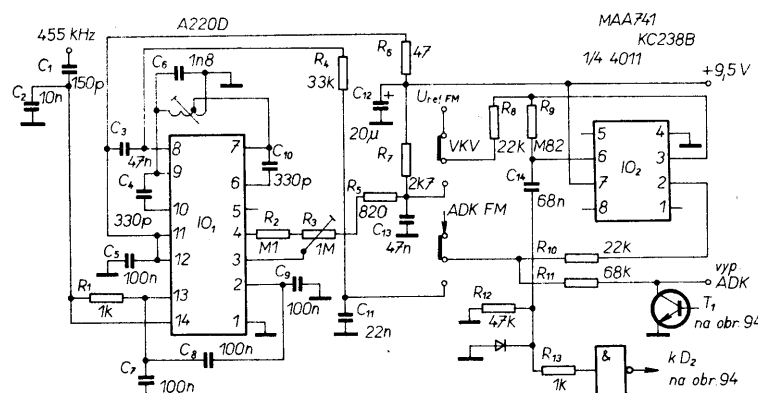
Velmi výhodným obvodem u autopřijímače je obvod automatického ladění (OAL). Zapojení jednoho obvodu OAL je na obr. 94. Obvod ladi jen směrem od nejnižších k nejvyšším kmitočtům a umožňuje zapamatování posledně naladěné stanice. Základem obvodu je 10bitový čítač, který má na výstupu odporovou matici R_2R , představující číslicově analogový převodník. Čítač převodníku je sestaven z klopových obvodů J-K CMOS, takže celý OAL má velmi malou spotřebu. Čítač je řízen generátorem pravoúhlých impulsů (ze dvou hradel IO₆). Generátor je spouštěn a blokován monostabilním klopovým obvodem ze dvou hradel IO₆. Kmitočet generátoru je asi 25 kHz. Monostabilní klopový obvod je nastaven pro spuštění tlačítka START a zpět překlopen signálem STOP, přivedeným přes D₂. K překlopení do stavu STOP lze při použití IO A225D využít vývodu 14. Základní citlivost je nastavena R₂₇.

Při použití jiných IO se na D₂ přiveďte signál z obvodu na obr. 95. IO₁ je zapojen jako detektor FM pro získání S-křivky na rozsazích AM. MF signál 455 kHz je odebrán ze vstupu AM mf zesilovače a po omezení a detekci je signál přiveden na komparátor

IO₂, z jehož výstupu je řízen invertor. Při příjmu FM je tento obvod odpojen a na vstup komparátoru je přiveden signál z mf zesilovače FM. Protože IO₂ má nesymetrické napájení, je nutné na jeho druhý výstup přivést referenční napětí, které je stejné jako středové napětí S-křivky. Funkce OAL je indikována D₁, spínávanou T₂ z výstupu čtvrtého bitu čítače (IO₁ až IO₅, obr. 94).

Při ladění je nutné odpojit obvod ADK v mf zesilovači. K tomu účelu je na výstup klopného obvodu v IO₆ připojen T₁, kterým se spíná např. vývod 2 u A225D. Na výstupy posledních čtyř bitů je přes T₄ až T₇ připojen demultiplexer IO₈, zapojený jako stupnice LED. Z výstupu desátého bitu je schodovité napětí vedeno do zesilovače ladicího napětí IO₇ a z jeho výstupu přes R₃₈ na varikapu v dílu AM a FM. Protože průběh kapacity v závislosti na ladicím napětí u varikapů je nelineární, je při větších napěťích ladění „přírychleno“ článkem D₃R₃₀. Je nutno poznamenat, že u R₁ až R₂₀ nezávisí toliko na odporu, ale velkou roli hraje přesnost použitých rezistorů, která by měla být lepší než 0,5 %. Liší-li se tyto odpory od sebe podstatně, může dojít k tomu, že „schody na výstupu“ nebudu pravidelně stoupat, ale v některých případech mohou začít klesat a stoupat nepravidelně, což bude mít za následek, že se ladicí napětí bude chvíli zvětšovat a chvíli změnovat. Spínačem S₂ „nula“ lze OAL nastavit do výchozí polohy.

Druhý typ OAL, který ladi oběma směry, je na obr. 96. OAL generuje ladicí napětí ve



1024 stupních od 2 V do 27 V. Ke vzniku tohoto napětí je použit číslicově analogový převodník, sestavený z 10bitového čítače a odporové matice R_2R_3 . Dvě hradla v IO₅ tvoří generátor taktu (hodin) pro čítače IO₆, IO₇, IO₈ (MHB4029). V IO₈ jsou využity jen první dva stupně čítače MHB4029. Pokud bychom chtěli rozšířit čítač na 12 bitů, bylo by nutné přidat do odporové matice další rezistory a všechny rezistory v matici by musely mít toleranci 0,1 %. Na výstupu čítače je zapojena odporová matici, takže na vstupu IO₉ bude schodovité napětí, které je převedeno na ss ladící napětí IO₉. Diódou D₂ a rezistorem R₆₉ je „urychlěno“ schodovité napětí, takže je linearizován průběh stupnice u vyšších kmitočt. Pro řízení OAL je použit klopny obvod START-STOP, který pracuje při dvou stavech. Při „hledání“ se připojí generátor taktu v IO₃ a IO₄ a na výstupu IO₉ se začne napětí zvětšovat (nebo zmenšovat podle zvoleného směru). Na emitoru T₁ se objeví napětí asi 8 V, kterým je ovládán obvod ADK v mf zesilovači a umlčovač v nf zesilovači (na obrázku nejsou tyto obvody zakresleny). Při „příjmu“ je generátor taktu uzavřen úrovní L na jednom vstupu v IO₃ a ladící napětí bude rovně posledně dosaženému. Napětí na emitoru T₁ se zmenší na nulu, zapne se obvod ADK a odpojí se umlčovač.

Klopny obvod START-STOP je přepínán úrovněmi nebo hrannami impulsů na jeho vstupech. Po sepnutí S₁ nebo S₂ se na výstupu klopny obvodu v IO₄ změní jeho stav a spustí generátor taktu v IO₃, IO₄. Po sepnutí S₁ bude na výstupu klopny obvodu úrovně L a na jeho výstupu úrovně H, kterou je určen směr čítání čítače IO₆, IO₇, IO₈.

(„vpřed“). Současně je tato úrovně přenesena na generátor taktu přes hradla v IO₃ a generátor začne kmitat, jeho impulsy počítá čítač a na výstupu IO₉ se začne ladící napětí zvětšovat. Sepne-li se S₂, na výstupu klopny obvodu v IO₄ bude úrovně L, čítač počítá vzad a napětí na výstupu IO₉ se začne zmenšovat. Pokud na výstupu hradla v IO₅ bude úrovně L, generátor taktu otevře T₁, kterým je ovládán umlčovač a obvod ADK.

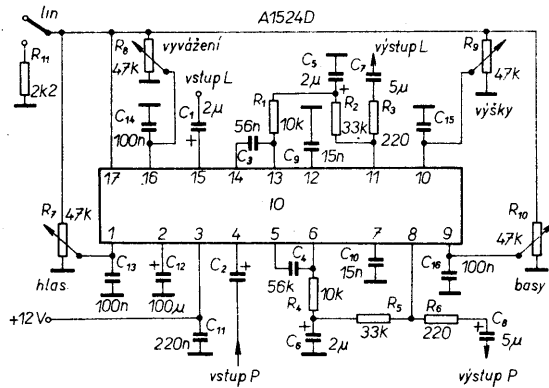
Obvodem C₄R₁₉R₂₀ je zpožděno nulování klopny obvodu v IO₅. Během hledání je výstup IO₁ na úrovni H, pokud detektor FM dodává šum. Při přítomnosti signálu z S-křivky se na výstupu IO₁ změní úrovně na L a při průchodu S-křivky nulou na H. Při ladění směrem vpřed je jako komparátor, vysílající povel STOP, použit jeden OZ v IO₂ a při ladění vzad jeden OZ z IO₁, a jeden z IO₂. Jako zdroj referenčního napětí je

použit druhý OZ v IO₂. Pokud na vývodech 1 a 2 IO₅ bude úrovně L, bude klopny obvod v IO₅ po dobu 6 s překlopen a generátor taktu bude kmitat. Na vývod 1 a 2 IO₅ lze připojit výstup S-metru. Na výstup IO₉ je připojen obvod pro vyklíčování pásmu VKV. Ladící napětí je přes D₅ vedeno do části AM (U_{LAM}).

Při AM se napájecím napětím U_{BAM} z AM dílu přes D₄T₂ obvod vyklíčování vyrázuje z činnosti. Při příjmu FM je ladící napětí vedeno přes R₅₉R₅₈ na klopny obvod IO₁₀ (MH1ST1), kterým je řízen T₃. Po jeho sepnutí se uzemní R₆₄ a „posune se“ ladící napětí U_{LFM} pro jednotku VKV.

Předzesilovač

Na obr. 97 je zapojení stereofonního předzesilovače s A1524D. Vstupní signál je přes



C_1 přiveden do zesilovače pro řízení hlasitosti a dále do korektoru hloubek a výšek. Průběh hloubek lze měnit změnou C_3 a průběh výšek změnou C_9 . Pro zlepšení stability obvodu je z vývodu 11 na vývod 13 IO zavedena stejnosměrná vazba $R_1R_2C_5$. Fyziologický průběh regulátoru hlasitosti lze vypnout spínačem (lin.) na vývodu 17 IO, kam je vyveden i vnitřní stabilizátor napětí, z něhož jsou napájeny potenciometry pro regulaci hlasitosti, výšek, hloubek a vývážení. Proud do vývodů 1, 9, 10 a 16 IO je maximálně 5 μ A a maximální napětí na těchto vývodech je $U_B/2$. Vstupní minimální odpor následujícího zesilovače je 4,7 k Ω . Při plné hlasitosti je zisk IO 20 dB a rozsah regulace hlasitosti je 100 dB. Rozsah regulace výšek a hloubek je ± 15 dB a regulace vývážení -40 dB. Oddělení kanálů je 60 dB a potlačení brumu 50 dB. Rušivé napětí na výstupu je 100 μ V při zisku 0 dB. Tímto IO můžeme nahradit velmi výhodně ovládací prvky na obr. 85.

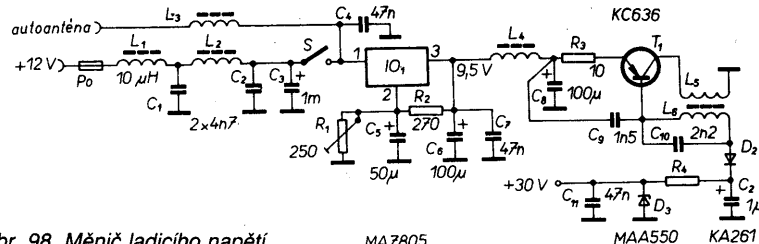
Napájení

Důležitým funkčním blokem je i obvod napájení. Zapojení napájecího obvodu je na obr. 98. Z autobaterie je napájecí napětí vedeno přes pojistku na vf filtrovací tlumivku L_1 , kterou se odfiltrovávají vf složky rušení. Z ní je napětí vedeno na filtrovací článek $C_1C_2L_2$ a vyhlažovací kondenzátor C_3 . Tento člen dále zamezuje pronikání rušení po přívodu napájecího napětí. Za C_3 je zapojen spínač a stabilizátor napětí IO₁. Vzhledem k tomu, že není k dispozici stabilizátor na dané výstupní napětí, bylo použito zapojení IO, u něhož není vývod 2 uzemněn a výstupní napětí se nastavuje R_1 . V zapojení je nutné při upevnění na chladič (šasi) použít izolační podložku. Z výstupu stabilizátora jsou napájeny všechny obvody a měnič napětí pro ladění varikapů. Tlumivka L_4 spolu s C_8 zabraňuje zpětnému pronikání rušení z měniče do napájecích vodičů přijímače. Měnič je zapojen jako blokovací oscilátor, jehož kmitočet je asi 30 kHz (je určen L_6C_{10}). Po usměrnění napětí oscilátoru diodou D_2 je stejnosměrné napětí vedeno přes R_4 na stabilizátor D_3 a dodatečně filtrováno C_{11} . Je-li potřebné napájet i motor pro vysouvání autoantény po zapnutí přijímače, je třeba rušení z motoru potlačit tlumivkou L_3 a filtrovat C_4 .

Na obr. 99 je zapojení měniče s tranzistorem n-p-n; pracujícím jako blokovací oscilátor. Transformátor je navinut na miniaturním jádru 7 × 7 mm. Z kolektoru je střídavé napětí vedeno na D_1 , je usměrňeno, vyfiltrováno $C_4C_5R_6$ a stabilizováno IO MAA550, který současně chrání T_1 před nežádoucimi špičkami napětí. Kondenzátorem C_7 se prodlužuje náběžná hrana generovaného střídavého napětí, aby se zmenšíl vliv vf rušení. Cely měnič je třeba vestavět do krytu, neboť vf rušení z něj se přenáší zejména do rozsahu AM.

Odrušení automobilu

Rušení se do autopřijímače může dostávat jednak z rozvodu napětí v autě, jednak z vf signálů vně auta. Mezi hlavní zdroje rušení v automobilu patří jiskření na elektrodách zapalovacích svíček a cívek, na přerušovači, rozdělovači, kartáčích dynamu, stěračů a motorků používaných pro ostříkovače, ventilátory apod. Dalším zdrojem rušení mohou být kontakty regulátoru, diody alternátora, spínače a vypínače, špatná elektrická

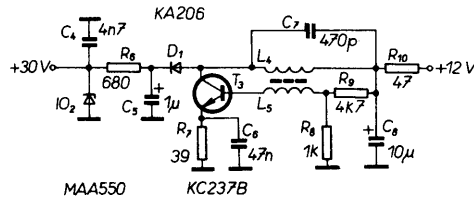


Obr. 98. Měnič ladicího napětí

MA7805

MAA550

KA261



Obr. 99. Měnič ladicího napětí

MAA550

KC237B

ká spojení, nedokonalá spojení jednotlivých dílů karoserie a vývoje elektrostatické elektřiny. Vf rušení se šíří po karoserii, která pak působí jako vysílací anténa. Každý automobil má již z výroby základní odrušení I. stupně. Při vestavění autopřijímače je obvykle nutné základní odrušení doplnit na odrušení II. stupně.

Při základním odrušení I. stupně u automobilů s kovovou karoserií se do každého přívodu co nejbliže svíčce zařadí rezistor 1 až 5 k Ω , který bývá součástí kabelové odrušovací koncovky. U několikaválcových motorů s rozdělovačem a zapalovací cívou se zářadí do přívodu vn. napětí od cívky k rozdělovači rezistor 5 k Ω co nejbliže k rozdělovači. Stejně rezistory se mají zapojit do všech přívodů k rozdělovači a bývají obvykle součástí odrušovacích vložek a spojek. V kmitočtovém pásmu do 1 GHz se na rušení nejvíce podílí neodrušený rozvod ss napětí a proto se v současnosti měděný vodič nahrazuje „uhlíkovým“, který účinně potlačuje vf rušení, takže v některých případech je možné odrušovací rezistory vypustit.

Protože zvláštní odrušení (tj. např. II. stupně) není povinné pro výrobce automobilu, je nutné po vestavění autopřijímače použít vhodné odrušovací prostředky. Abychom objektivně vyhodnotili rušení způsobené vlastním automobilem, vyjedeme na volnou silnici, kde je jistota, že v blízkosti není zdroj vnějšího rušení, např. vedení vysokého napětí, trolej železnice apod. Pak sledujeme v rozsahu DV, SV, KV rušení při nalaďení přijímače mezi dvě stanice a v pásmu VKV při nalaďení na bok S-křívky. Pokud bude slyšet z reproduktoru rušení, snažíme se lokalizovat jeho zdroj podle této příznaků: vypneme-li při velké rychlosti otáčení motoru klíčkem zapalování, rušení jím způsobené okamžitě zmizí. Rušení způsobené zapalováním se v reproduktoru projevuje jako krátké impulsy, jejichž kmitočet je závislý na rychlosti otáčení motoru. Rušení vyvolané dynamem, alternátorem a regulátorem nezmizí okamžitě po vypnutí klíčku, nýbrž trvá až do „doběhnutí“ (setravnosti) otáčejících se rotorů (dynamy, motorků). Rušení způsobené alternátorem se projevuje v rozsahu DV a SV jako vysoký hvízdavý tón. Rušení vznikající činností regulátoru se projevuje jako silný nepravidelný praskot (v rytmu rozpojujícího se kontaktu). Postupným zapínáním motorků stěračů větráku, topení, ostříkovačů a přerušovače směrovék zjistíme další zdroje rušení. Rušení elektrostatickým výbojem zkoušíme za suchého počasí při rychlosti minimálně 70 km/h na asfaltové nebo betonové silnici. Všechny spotřebiče včetně alternátoru při tom odpojíme a při rozjetém vozidle vypneme několikrát zapalování.

Při odrušování postupujeme od zdroje největšího rušení (obvykle zapalování) ke zdroji nejmenšího rušení.

Základními prvky zapalování jsou: zapalovací cívka, přerušovač, rozdělovač a zapalovací svíčky. Tranzistorová a tyristorová zapalování se odrušují stejně jako klasická zapalování. Zdrojem nejsilnějšího rušení jsou zapalovací svíčky, které však musí být odrušeny již od výrobce. Nejdříve proměříme celistvost a odpor kabelů ke svíčkám a jejich koncovkám a u stíněných kabelů prověříme spolehlivosť kontaktu mezi stíněním a šestihranem. Větší rušení můžeme očekávat při opotřebených a špatně nastavených elektrodách svíček. U rozdělovače zkontrolujeme odrušovací vložky ve všech vývodech, vadné vyměníme a chybějící doplníme. Svorku 15 na zapalovací cívce zablokujeme průchodkovým paralelním kondenzátorem 2 μ F/100 V. Dále zaměníme zapalovací kabely s kovovým vodičem za kabely s uhlíkovým vodičem. Celkový odpor mezi zapalovací svíčkou a vn. vývodem by neměl být větší než 15 k Ω , jinak se zhorší starty za studena. Na VKV zapojíme do vývodu 1 zapalovací cívky průchodkový kondenzátor s kapacitou maximálně 5 nF. Při větší kapacitě kondenzátoru se opalují kontakty přerušovače a změní se vn. napětí, takže je narušena činnost zapalovací soustavy.

Když nepomohou uvedená opatření, je nutné odstínit celou zapalovací soustavu. Častým zdrojem rušení bývají chyby v instalaci zapalovací soustavy. Velmi obtížné se zjišťují přeskoky v zapalovací cívce nebo její špatně ukostření, pokud je upevněna mimo blok motoru. U některých automobilů je vhodné propojit blok motoru s karoserií měděným pleteným páskem. Pronikání rušení ze zapalování po přívodu napájecího napětí autopřijímače lze omezit tlumivkou photovenuou z feritového hřníčku o \varnothing 30 mm, která má asi 280 z drátem o \varnothing 0,5 mm, a kondenzátor 500 nF zapojený paralelně k napájecímu konektoru přijímače.

Pro odrušení dynamu se na svorku D připojí paralelní nebo průchodkový kondenzátor 0,5 až 4 μ F. Pokud je u dynamu kapacita odrušovacího kondenzátoru uvedena, je ji nutno dodržet. K odrušení budicího vinutí připojíme na svorku M kondenzátor do 5 nF (nesmí být nikdy větší, neboť pak jsou ohroženy kontakty regulátoru). Při použití alternátoru stačí na svorku D připojit kondenzátor asi 3 μ F. Zdrojem silného rušení bývá i regulátor, proto je vhodné na všechny jeho svorky připojit kondenzátory. Na svorku D, pokud není předepsáno výrobcem, připojíme kondenzátor 0,5 až 3 μ F. Na svorku B připojíme kondenzátor do 3 μ F. Kondenzátor na svorku M má být svitkový nebo keramický o kapacitě 4,7 nF, pro VKV se doporučuje před-

KIKUSUI Oscilloscopes

Superior in Quality,
first class in Performance!

Phoenix Praha A.S., Ing. Havliček, Tel.: (2) 69 22 906

elsinco

řadit ještě tlumivku $10 \mu\text{H}$. V tomto případě lze kapacitu kondenzátoru zvětšit na 10nF . Regulátor s alternátorem bývá odrušen již od výrobce. Pokud tomu tak není, postupujeme stejně jako při regulátoru s dynamem.

Dalšími zdroji rušení bývají motorky stěrače, ventilátoru, ostříkovače a přerušovač směrových světel. Nejúčinnějším způsobem odrušení je připojení tlumivek $10 \mu\text{H}$ do série s napájením a dvou kondenzátorů $6,8 \text{nF}$ před tlumivkami mezi napájecí přívody a zem. Tento filtr má být těsně u komutátoru. Nemá-li motorek doběhový kontakt, postačí mezi přívody zapojit kondenzátor $3 \mu\text{F}$. Má-li motorek doběhový kontakt, zapojíme na všechny přívody kondenzátor $0,5$ až $2,5 \mu\text{F}$. Není-li pro odrušovací součástky dostatek místa uvnitř motoru, filtr LC umístíme mimo a napětí ke komutátoru přivedeme stíněným vodičem. Je-li součástí cyklovače bimetalový přerušovač nebo relé, pak jeho kontakty přemostíme 100nF v sérii s 50Ω . Kryt motorku musí být dokonale spojen s karosérií. U motorku ventilátoru pro pásmo SV a DV postačí blokovat všechny přívody kondenzátory 1 až $2,5 \mu\text{F}$. Pro VKV je nutné předřadit do přívodu tlumivky nebo alespoň průchodekové kondenzátory. U přerušovačů směrových světel postačí v pásmu DV připojit na vývod 49 kondenzátor $200 \mu\text{F}/50 \text{V}$, pro SV a KV $2 \mu\text{F}/150 \text{V}$ a pro VKV průchodekový kondenzátor $0,5$ až $1 \mu\text{F}$.

Ostatní zařízení jako je spouštěč, přepínač světlometů, spínač brzdrových světel a signalizace není nutné odrušovat, neboť jsou ve funkci krátkou dobu.

Elektrostatická rušení se projevují charakteristickým praskotem předcházejícím šum, jehož četnost je závislá na rychlosti jízdy. Výboje lze omezit např. natřením vnitřku pneumatiky grafitovým roztokem. Elektrostatický výboj lze omezit i spojením disku kola a hřidele kluzným kontaktem u nehnacích kol. Elektrostatický náboj může vzniknout i prudkem vzduchu o karosérii a lze ho odstranit dokonalým elektrickým spojením dílu karoserie a rámu vozu.

Dokud pro odrušení použijeme tlumivky, musí být navinut v dostatečně tlustém vodičem, aby se neměnily jejich vlastnosti vlivem přesycení jádra. Přehled továrních odrušovacích prostředků TESLA je v tabulce.

Konstrukčně bývá autopříjímač řešen na deskách s položnými spoji a to buď na jedné nebo několika, které jsou mezi sebou propojeny. Celý příjímač bývá umístěn v ocelovém plechovém rámečku s horním a dolním krytem. Aby byl omezen vliv rušení co nejvíce, musí být kontakt krytu s rámečkem dokonale.

Důležité upozornění

V AR B2/89 na straně 66 a 67 byly uveřejněny překlady dvou článků ze zahraničních časopisů, Malý zdroj signálu a Praktická pomůcka. Po projednání se zástupci FMDS sdělujeme, že v uvedených článcích chybí poučení, že bez povolení ke zřízení a provozování mohou být podle ust. § 6 odst. 4 písm. a) zákona č. 110/1964 Sb., o telekomunikacích a podle § 5 odst. 4 vyhl. č. 111/1964 Sb., kterou se provádí zákon o telekomunikacích, ve znění vyhl. č. 148/1984 Sb., amatérsky zhodoveny pouze vysílače do výkonu $0,1 \text{ W}$ na stanovených kmitočtech a jejich provozovatelé jsou povinni přihlásit je k evidenci u poboček Inspektorátu radiokomunikací v příslušných krajích, podle bydlisko provozovatele.

Povelové a telemetrické stanice lze individuálně sestrojovat v souladu s § 17 předpisu o povolení a evidování povelových a telemetrických stanic, který určuje: (1) Kmitočet povelových a telemetrických stanic musí být řízen krystalem, (2) Povelové stanice modelářské mohou pracovat na některém z těchto kmitočtů: a) $13,560 \text{ MHz}$ s podmínkou, že rádiová energie nesmí být vyzařována mimo pásmo o šířce $\pm 0,05\%$ od tohoto kmitočtu, b) $27,120 \text{ MHz}$ (totéž v mezích pásmu $\pm 0,6\%$), c) $40,680 \text{ MHz}$ (totéž v mezích pásmu $\pm 0,05\%$), (3) Ve všech případech je u modelářských stanic možno povolit modulování kmitočty do 30 kHz .

To se týká především prvního z uvedených článků – k druhému, tj. Praktická pomůcka, v němž je popisován přístroj k rušení příjmu rozhlasu, je třeba dodat, že popisovaný přístroj je naprostě nepřijatelný, neboť ruší příjem rozhlasu a televize je nepřípustné. Rádiový příjem je chráněn ust. § 9 odst. 1, 2 a 8 zákona č. 110/1964 Sb., o telekomunikacích.

Redakce v této souvislosti upozorňuje, že související problematika byla probrána v interview v AR řady A, č. 7/89 a bude ji ještě věnován článek v AR řady A v některém z posledních čísel v tomto roce.

Přehled odrušovacích prostředků TESLA

Typ	Funkce	Pro stupeň odrušení
NK 1	neodrušená koncovka s odrušenou svíčkou	
OK 01-03	odrušovací kabel, koncovka	
OK 13-5, 5GG	odrušovací kabel, koncovka	
OK 22-1	odrušovací kabel, koncovka	
OK 22-5	odrušovací kabel, koncovka	
OK 32-1	odrušovací kabel, koncovka	
OK 32-5	odrušovací kabel, koncovka	
OK 82-1; 5	odrušovací vložka	
OK 82-1/2	odrušovací vložka	
OK 92-5	odrušovací vložka	
OKS 14-3; 3G	stíněná odruš. kabel, koncovka	
OK1-1A	odrušovací souprava (ŠKODA)	
OS5-1G	odrušovací souprava (TATRA 603)	
OS5-5M	odrušovací souprava (TATRA 613)	
OS5-5J	odrušovací souprava (T14/52C)	
OS5-OC	odrušovací souprava (ŠKODA 776)	
OS5-OD	odrušovací souprava (ŠKODA 703)	
OS1-OB	odrušovací souprava (Moskvic 408)	
OS5-OK	odrušovací souprava (ZASTAVA 750)	
OS1-OL	odrušovací souprava (ZASTAVA 1000)	
WK 713 40 až 43	průchodekový odrušovací kondenzátor	
WK 852 03	odrušovací filtr	
TC 726 až 729	odrušovací kondenzátor	
TD100	odrušovací tlumivka pro proud 1 A	
TD101	2,5 A	
TD102	4 A	
TD103	6,3 A	
TD104	10 A	

Anritsu Instruments

World Leader in
Optical Fiber Measurement Technology
Phoenix Praha A.S., Ing. Havliček, Tel.: (2) 69 22 906

elsinco

Mezinárodní a meziměstská telefonní a telegrafní ústředna

v Praze 3, Olšanská 6

přijme

techniky – inženýry pro vývoj a údržbu SW telekomunikačních zařízení.

Platové zařazení: podle ZEUMS II, podle dosaženého vzdělání a praxe, tř. 10–12 + osobní ohodnocení + prémie.

Pro mimopražské pracovníky zajistíme ubytování.

Informace osobně, písemně i telefonicky na č. telefonu 714 26 75, 27 28 53.

TESKO,

státní podnik místní výroby a služeb se sídlem ve Frýdku-Místku, doplňková výroba radio televizní služby,

Tržní 22, Frýdek-Místek, tel. 315 87

nabízí občanům i organizacím tyto služby:

- renovace programátorů MERTIC do automatických praček ROMO,
- renovace zesilovačů impulsů do automatických praček ROMO,
- opravy elektrických programátorů do praček PAC 8EX,
- opravy počítačů PMD85 a jejich příslušenství.

Příjem zakázek poštou, telefonicky nebo osobně: pondělí–pátek od 7.00 hod do 15.00 hod.

Elektronika – PV JRD SELCE

ponúka socialistickým organizáciám nasledovné práce:

- osadzovanie dosiek plošných spojov pre rôzne elektronické výrobky,
- strojné letovanie horúcou vlnou,
- výrobu jednostranných i dvojstranných neprekovených plošných spojov do rozmeru 200 × 350 mm v triede presnosti 3 a 4,
- výroba Al štítkov leptaných, max. rozmer 200 × 350 mm (rôzne náписy, výrobné štítky, inventárne štítky, náписy na výťahy, bezpečnostné tabuľky a pod.).

JRD Vítazný Február

PV – Elektronika

976 11 Selce

INZERCE



SAB1795 řadič FD (550), MHB8080, 2114, 4116C, 1902, 8251 (70, 80, 85, 65), 27128, 2708, U807 (350, 100, 130) a jiné IO MH. Pl. spoje SAPI, prokov. diry – sběrnice, CPU-8080, RAM-Eprom, disp. (à 70), osaz. deska RAM-Eprom bez paměti, s objímkami (400). Koupím Dram 4 × 16K pro Sharp MZ 800 2 ks. Ing. P. Luska, Sidl. Miru 800, 395 01 Pacov.

Počítač C64 – zabudován EXOS V 3 (9500) + VC 1541 (9900), 80 disket, programy, bohatá literatura (4900). Ing. M. Sliva, Vyškovická 180, 704 00 Ostrava.

TI-58C (3000), počítač ATARI 130 XE, XC 12, další příslušenství a literatura (8500), magnetofon B 46 (350), součástky 74LS, paměti 2708 (50), konektory. A. Malaník, Zeleného 57, 616 00 Brno.

Atari 800 XL (5000), XC 12 s turbo úpravou (1500), 2 × joystick (à 300), 15 kazet s softwarom (à 100), 35 ks lit. (à 20). M. Hromádko, Severná 7, 036 01 Martin.

KOUPĚ

IO LA4440 (Simens) příp. vyměním za mf ž. č. b. 7 × 7 jap. + krystaly pro pásmo 27 MHz. O. Tlachna, Buk 17, 377 01 J. Hradec.

Konvertor pro SAT TV. M. Uhrik, Janáčkova 16, 466 06 Jablonec n. N.

2 ks Dram 4464 150 ns, fototranzistor SP201. F. Rokyta, Štěpničká 1093, 686 06 Uh. Hradiště.

Hry na počítač Sharp. Alebo vymením. L. Masář, Kukučínova 11, 018 51 Nová Dubnica.

VPS adaptér pro video JVC. Ing. I. Kallo, Vagonárska 29, 058 01 Poprad.

Mf trafo TOKO RCL (Jap.) 7 × 7 mm 455 kHz 2 × žluté, bílé, černé. L. Gregor, Průmyslová 1128/30, 500 00 Hradec Králové.

VÝMĚNA

Knihu Radioamatérské konstrukce 3, za tužé knihu číslo 2. J. Horáček ml., Miru 778, 289 03 Městec Králové.

Středisko Elektronika JZD 9. květen Hrotovice,

nositele Řádu práce, dále rozšiřuje výrobu, zavádí nové technologie a nabízí organizacím, zejména výzkumným a vývojovým pracovištěm, realizaci zakázek elektronické výroby nad 200 000 Kčs hrubého objemu pro rok 1990 s možností zahájení ještě v letošním roce.

Realizujeme zejména funkční vzorky a malosériovou výrobu i při dodání nejnuttnejší dokumentace. Funkční i strojní pájení, neagresivní tavidla, antistatická pracoviště, klimat. boxy pro zahoření, oživení a měření s moderní měřicí technikou, výroba z dodaného i vlastního materiálu, pro vlastní produkci máme kooperační možnosti výroby prokovených desek plošných spojů.

Zaručujeme výstupní kontrolu.

Informace, případně domluva osobní návštěvy na telef.

Třebíč (0618) 99 278 ing. Fiala, telex. 62 063.